

АЗӘРБАЙ҆ЧАН ССР ЕЛМЛӘР АКАДЕМИЈАСЫ  
АКАДЕМИЯ НАУК АЗЕРБАЙ҆ДЖАНСКОЙ ССР

---

# МӘРҮЗӘЛӘР ДОКЛАДЫ

ТОМ XXVII ЧИЛД

№ 11—12

---

«ЕЛМ» НӘШРИЈАТЫ  
ИЗДАТЕЛЬСТВО «ЭЛМ»  
БАКЫ—1972—БАКУ

# АЗӘРБАЙЧАН ССР ЕЛМЛӘР АКАДЕМИЯСЫ АКАДЕМИЯ НАУК АЗЕРБАЙДЖАНСКОЙ ССР

# МӨРҮЗӨЛӨР ДОКЛАДЫ

## Том XXVII Чилд

No 11-12

**ANSWER** A. 100 (approximately) because  $100 \times 10^3$  milliliters per kilogram times 1000 milligrams per milliliter equals 100,000 milligrams.

## •ЕЛМ• НЭШРИЙДА

ИЗДАТЕЛЬСТВО „ЭЛМ“  
БАКУ-1971-БАКУ

АЗЭРБАЙЧАН ССР ЕЛМЛӘР АКАДЕМИЯСЫНЫН МӘРҮЗӘЛӘРИ  
ДОҚЛАДЫ АКАДЕМИИ НАУҚ АЗЕРБАЙДЖАНСКОЙ ССР

ТОМ XXVII

№ 11—12

1971

УДК 517.946.9

МАТЕМАТИКА

Р. С. ЭФЕНДИЕВ

АСИМПТОТИКА РЕШЕНИЯ КРАЕВОЙ ЗАДАЧИ  
ДЛЯ БИГАРМОНИЧЕСКОГО УРАВНЕНИЯ,  
ВЫРОЖДАЮЩЕGO СЯ В ПАРАБОЛИЧЕСКОЕ  
УРАВНЕНИЕ ЧЕТВЕРТОГО ПОРЯДКА

(Представлено академиком АН Азербайджанской ССР З. И. Халиловым)

В работах [2, 3] М. Г. Джавадов построил асимптотику решения краевой задачи для одного уравнения четвертого порядка, вырождающегося в параболическое и гиперболическое уравнения второго порядка. В этих работах рассматривался частный вид уравнения четвертого порядка, т. е. рассматривалось такое уравнение, которое содержит производные четвертого порядка только вида  $\frac{d^4u}{dx^4}$ .

В настоящей работе строится асимптотика решения по малому параметру следующей задачи:

Пусть  $Q = \{(t, x), a \leq t < b, c < x < d\}$

В  $Q$  рассматривается следующая задача

$$\begin{aligned} Lu_\varepsilon = \varepsilon \left( \frac{\partial^4 u_\varepsilon}{\partial t^4} + 2 \frac{\partial^4 u_\varepsilon}{\partial t^2 \partial x^2} + \frac{\partial^4 u_\varepsilon}{\partial x^4} \right) + \frac{\partial u_\varepsilon}{\partial t} + \\ + \left( \frac{\partial^4 u_\varepsilon}{\partial x^4} + a_1 \frac{\partial^3 u_\varepsilon}{\partial x^3} + a_2 \frac{\partial^2 u_\varepsilon}{\partial x^2} + a_3 \frac{\partial u_\varepsilon}{\partial x} + a_4 u_\varepsilon \right) = f, \end{aligned} \quad (1)$$

$$u_\varepsilon \Big|_{x=c, x=d} = 0, \quad \frac{\partial u_\varepsilon}{\partial x} \Big|_{x=c, x=d} = 0, \quad (2)$$

$$u_\varepsilon \Big|_{t=a, t=b} = 0, \quad \frac{\partial u_\varepsilon}{\partial t} \Big|_{t=a, t=b} = 0, \quad (3)$$

где  $\varepsilon$  — малый параметр,  $A$  — постоянная и  $f(t, x)$  — заданная гладкая функция.

Не уменьшая мощности, в дальнейшем будем предполагать, что  $a = 0, b = 1$  и  $c = 0, d = 1$ .

Расщепление (1) оператора  $L$  называют первым расщеплением.

Первому расщеплению оператора соответствует итерационный процесс, если приближенное решение уравнения (1) будем искать в виде

$$W_{n,\epsilon} = W_0 + \epsilon^{\frac{1}{3}} W_1 + \dots + \epsilon^n W_n + \epsilon^{n+1} z_1. \quad (4)$$

Подставив выражение для  $W_{n,\epsilon}$  из (4) в (1) и сравнивая коэффициенты при одинаковых степенях по  $\epsilon$ , получим

$$L_2 W_0 = f(t, x), \quad (5)$$

$$L_2 W_1 = 0, \quad (6)$$

$$L_2 W_2 = 0, \quad (7)$$

$$L_2 W_k = -L_1 W_{k-1}, \quad k = 3, 4, \dots, 3n, \quad \text{где } L_1 \text{ и } L_2 \text{ определены в (5) и (6)} \quad (8)$$

где

$$L_1 = \frac{\partial^4}{\partial t^4} + 2 \frac{\partial^4}{\partial t^2 \partial x^2} + \frac{\partial^4}{\partial x^4},$$

$$L_2 = \frac{\partial}{\partial t} + \left( \frac{\partial^4}{\partial x^4} + a_1 \frac{\partial^3}{\partial x^3} + a_2 \frac{\partial^2}{\partial x^2} + a_3 \frac{\partial}{\partial x} + a_4 \right).$$

Из вида уравнений (1) и (5) ясно, что при вырождении эллиптическое уравнение превращается в параболическое. Вырожденной задачей, соответствующей задаче (1), (2) и (3) будем называть следующую:

$$\frac{\partial W_0}{\partial t} = + \frac{\partial^4 W_0}{\partial x^4} + a_1 \frac{\partial^3 W_0}{\partial x^3} + a_2 \frac{\partial^2 W_0}{\partial x^2} + a_3 \frac{\partial W_0}{\partial x} + a_4 W_0 + f(t, x), \quad (5)$$

$$W_0|_{t=0} = 0, \quad (9)$$

$$W_0|_{x=0} = 0, \quad W_0|_{x=1} = 0, \quad (10)$$

$$\frac{\partial W_0}{\partial x}|_{x=0} = 0, \quad \frac{\partial W_0}{\partial x}|_{x=1} = 0,$$

Очевидно, если  $f(t, x)$  — гладкая функция, то задачи (5), (9) и (10) имеет гладкое решение. Остальные функции  $W_k (k = 1, 2, \dots, 3n)$  будем определять из следующих задач:

$$L_2 W_k = -L_1 W_{k-1}, \quad (11)$$

$$W_k|_{t=0} = \varphi_k(x), \quad W_k|_{x=0} = 0, \quad W_k|_{x=1} = 0, \quad (12)$$

$$\frac{\partial W_k}{\partial x}|_{x=0} = 0, \quad \frac{\partial W_k}{\partial x}|_{x=1} = 0, \quad (13)$$

$$k = 1, 2, \dots, 3n \quad W_{-r}^0 \equiv 0, \quad r = 1, 2.$$

где  $\varphi_k(x)$  пока произвольные функции, условия на них будут сформулированы чуть позже.

Очевидно, найденная таким образом функция  $W_{n,\epsilon}$ , вообще говоря, не удовлетворяет всем граничным условиям при  $t=0$  и  $t=1$ . Поэтому к функции  $W_{n,\epsilon}$  добавляем функции  $v_\epsilon^0$  и  $v_\epsilon$  — типа пограничного слоя так, чтобы сумма  $W_{n,\epsilon} + v_\epsilon^0 + v_\epsilon$  удовлетворяла всем граничным условиям при  $t=0$  и при  $t=1$ .

Функция  $v_\epsilon^i (i = 0, 1)$  определяется вторым итерационным процессом, описанным вблизи соответствующих границ. Прежде чем описать второй итерационный процесс, напишем второе расщепление оператора  $L$  вблизи границы области.

Для этого вводим локальные координаты  $t = \sqrt{\epsilon} \tau$ ,  $x = x(t) = 1 - \sqrt{\epsilon} \eta$ ,  $x$  — соответственно вблизи границ  $t=0, t=1$ .

В новых координатах оператор  $L$  около соответствующих частей границы запишется в следующем виде

$$L_1 v_\epsilon^0 \equiv \epsilon^{-\frac{1}{3}} \left\{ \left( \frac{\partial^4 v_\epsilon^0}{\partial \tau^4} + \frac{\partial v_\epsilon^0}{\partial \tau} \right) - \epsilon^{\frac{1}{3}} \left( - \frac{\partial^4 v_\epsilon^0}{\partial x^4} + a_1 \frac{\partial^3 v_\epsilon^0}{\partial x^3} + a_2 \frac{\partial^2 v_\epsilon^0}{\partial x^2} + a_3 \frac{\partial v_\epsilon^0}{\partial x} + a_4 v_\epsilon^0 \right) + 2\epsilon^{\frac{2}{3}} \frac{\partial^4 v_\epsilon^0}{\partial \tau^2 \partial x^2} + \epsilon^{\frac{4}{3}} \frac{\partial^4 v_\epsilon^0}{\partial x^4} \right\},$$

$$L_2 v_\epsilon^0 \equiv \epsilon^{-\frac{1}{3}} \left\{ \left( \frac{\partial^4 v_\epsilon^0}{\partial \eta^4} + \frac{\partial v_\epsilon^0}{\partial \eta} \right) - \epsilon^{\frac{1}{3}} \left( \frac{\partial^4 v_\epsilon^0}{\partial x^4} + a_1 \frac{\partial^3 v_\epsilon^0}{\partial x^3} + a_2 \frac{\partial^2 v_\epsilon^0}{\partial x^2} + a_3 \frac{\partial v_\epsilon^0}{\partial x} + a_4 v_\epsilon^0 \right) + 2\epsilon^{\frac{2}{3}} \frac{\partial^4 v_\epsilon^0}{\partial \eta^2 \partial x^2} + \epsilon^{\frac{4}{3}} \frac{\partial^4 v_\epsilon^0}{\partial x^4} \right\}.$$

$$- \epsilon^{\frac{1}{3}} \left( \frac{\partial^4 v_\epsilon^0}{\partial x^4} + a_1 \frac{\partial^3 v_\epsilon^0}{\partial x^3} + a_2 \frac{\partial^2 v_\epsilon^0}{\partial x^2} + a_3 \frac{\partial v_\epsilon^0}{\partial x} + a_4 v_\epsilon^0 \right) +$$

$$+ 2\epsilon^{\frac{2}{3}} \frac{\partial^4 v_\epsilon^0}{\partial \eta^2 \partial x^2} + \epsilon^{\frac{4}{3}} \frac{\partial^4 v_\epsilon^0}{\partial x^4} \right\}.$$

Сначала опишем второй итерационный процесс вблизи границы  $t=0$ . Приближенное решение уравнения  $L_1 v_\epsilon^0 = 0$  ищем в виде

$$v_\epsilon^0 = \epsilon^{\frac{1}{3}} (v_0^0 + \epsilon^{\frac{1}{3}} v_1^0 + \dots + \epsilon^n v_{3n}^0) + \epsilon^{\frac{n+1}{3}} z_1. \quad (14)$$

Подставив это выражение в уравнение  $L_1 v_\epsilon^0 = 0$  и сравнивая коэффициенты при одинаковых степенях по  $\epsilon$ , получим

$$\frac{\partial^4 v_0^0}{\partial \tau^4} + \frac{\partial v_0^0}{\partial \tau} = 0, \quad (15)$$

$$\frac{\partial^4 v_1^0}{\partial \tau^4} + \frac{\partial v_1^0}{\partial \tau} =$$

$$= \frac{\partial^4 v_0^0}{\partial x^4} + a_1 \frac{\partial^3 v_0^0}{\partial x^3} + a_2 \frac{\partial^2 v_0^0}{\partial x^2} + a_3 \frac{\partial v_0^0}{\partial x} + a_4 v_0^0,$$

$$\frac{\partial^4 v_2^0}{\partial \tau^4} + \frac{\partial v_2^0}{\partial \tau} =$$

$$= - \frac{\partial^4 v_1^0}{\partial x_4} + a_1 \frac{\partial^3 v_1^0}{\partial x^3} + a_2 \frac{\partial^2 v_1^0}{\partial x^2} + a_3 \frac{\partial v_1^0}{\partial x} + a_4 v_1^0 - 2 \frac{\partial^4 v_0^0}{\partial \tau^2 \partial x^2}. \quad (17)$$

$$\begin{aligned}
& \frac{\partial^4 v_k^0}{\partial \tau^4} + \frac{\partial v_k^0}{\partial \tau} = \\
& = \frac{\partial^4 v_{k-1}^0}{\partial x^4} + a_1 \frac{\partial^3 v_{k-1}^0}{\partial x^3} + a_2 \frac{\partial^2 v_{k-1}^0}{\partial x^2} + a_3 \frac{\partial v_{k-1}^0}{\partial x} + a_4 v_{k-1}^0 - \\
& - 2 \frac{\partial^4 v_{k-2}^0}{\partial \tau^2 \partial x^2} - \frac{\partial^4 v_{k-4}^0}{\partial x^4}, \\
& k = 4, 5, \dots, 3n.
\end{aligned} \tag{18}$$

Границные условия для уравнений (16—18) определяются из следующих соображений.

Во-первых, решения этих уравнений вблизи границы  $\tau = 0$  должны быть функциями типа пограничного слоя, а во-вторых,

$$W_0|_{t=0} = 0, \tag{19}$$

$$W_k|_{t=0} = -v_{k-1}^0|_{\tau=0}, \quad k = 1, 2, \dots, 3n \tag{20}$$

$$\left. \frac{\partial v_k^0}{\partial \tau} \right|_{\tau=0} = -\left. \frac{\partial W_k}{\partial t} \right|_{t=0}, \quad k = 0, 1, \dots, 3n. \tag{21}$$

Функция  $v_n^0(\tau, x)$  — решение типа пограничного слоя уравнения (15), которое удовлетворяет граничным условиям (21) при  $k = 0$ .

Характеристическое уравнение, соответствующее уравнению (15)

имеет три корня  $r_1 = -1, r_2 = \frac{1+i\sqrt{3}}{2}, r_3 = \frac{1-i\sqrt{3}}{2}$ . Тот факт, что это уравнение имеет один отрицательный корень и два корня с положительными реальными частями, обеспечивает регулярность вырождения соответственно вблизи границы  $t = 0$  и  $t = 1$ .

Учитывая вышеприведенное, имеем

$$v_0^0(\tau, x) = \left. \frac{\partial W_0}{\partial t} \right|_{t=0} e^{-\tau} = \left. \frac{\partial W_0}{\partial t} \right|_{t=0} e^{-\frac{\tau}{\sqrt{\epsilon}}},$$

Прежде чем приступить к проведению второго итерационного процесса вблизи границы  $t = 1$ , из задачи (11), (12), (13) при  $k = 1$  определим функцию  $W_1$

$$L_2 W_1 = 0, \tag{22}$$

$$W_1|_{t=0} = \varphi_1(x) = -v_0^0|_{\tau=0}, \quad W_1|_{x=0} = 0, \quad W_1|_{x=1} = 0, \tag{23}$$

$$\left. \frac{\partial W_1}{\partial x} \right|_{x=0} = 0, \quad \left. \frac{\partial W_1}{\partial x} \right|_{x=1} = 0,$$

Очевидно, задача (22), (23), (24) имеет единственное гладкое решение.

Здесь отметим, что функция  $\varphi_k(x)$  из граничных условий (12) при  $k = 1$  определяется так, чтобы  $\varphi_1(x) = -v_0^0(\tau, x)|_{\tau=0}$ . Определив функцию  $W_1(t, x)$  из соответствующих задач, находим функцию  $v_1^0, v_2^0$  и т. д.

Теперь опишем второй итерационный процесс вблизи границы  $t = 1$ . Для этого приближенное решение уравнения  $L_2 v_i = 0$ , ищем в виде

$$v_i' = v_0' + \epsilon^{\frac{1}{3}} v_1' + \dots + \epsilon^n v_{3n}' + \epsilon^{n+1} z_2 \tag{25}$$

Подставив выражение  $v_i'$  из (45) в уравнение  $L_2 v_i = 0$  и сравнивая члены при одинаковых степенях по  $\epsilon$ , для определения функции  $v_k(\eta, x)$  получим точно такие же уравнения, как (15)—(18). Следовательно, функции  $v_k'(\eta, x)$ , ( $k = 0, 1, \dots, 3n$ ) будем определять, как решения типа пограничного слоя вблизи границы  $t = 1$  уравнений (15)—(18) при следующих граничных условиях

$$v_i'|_{\eta=0} = -W_i|_{t=1}, \quad i = 0, 1, \dots, 3n. \tag{26}$$

$$\left. \frac{\partial v_0'}{\partial \eta} \right|_{\eta=0} = 0, \quad \left. \frac{\partial v_j'}{\partial \eta} \right|_{\eta=0} = -\left. \frac{\partial W_{j-1}}{\partial t} \right|_{t=0}, \quad j = 1, 2, \dots, 3n. \tag{27}$$

Непосредственным вычислением можно убедиться, что

$$v_0'(\eta, x) = C_0'(x) e^{\frac{r_1 \frac{t-1}{\sqrt{\epsilon}}}{\sqrt{\epsilon}}} + d_0'(x) e^{\frac{r_2 \frac{t-1}{\sqrt{\epsilon}}}{\sqrt{\epsilon}}},$$

где  $C_0'(x)$  и  $d_0'(x)$  определяются из условий (26) и (27). Повторяя рассуждение, проведенное при определении функции  $v_i^0$  ( $i = 1, 2, \dots, 3n$ ), определяем остальные функции  $v_j$  ( $j = 1, 2, \dots, 3n$ ).

Таким образом, для решения задачи (1), (2) и (3) получим следующее асимптотическое представление

$$u_i = \sum_{i=0}^{3n} \epsilon^{\frac{1}{3}} W_i + \sum_{i=0}^{3n} \epsilon^{\frac{1+i}{3}} v_i^0 + \sum_{i=0}^{3n} \epsilon^{\frac{i}{3}} v_i' + \epsilon^{n+\frac{1}{3}} z, \tag{28}$$

где  $\epsilon^{n+\frac{1}{3}} z$  — остаточный член, оценим его.

Очевидно,  $z$  есть решение задачи

$$\epsilon L_1 z + L_2 z = h,$$

$$z|_{t=0, t=1} = 0, \quad \left. \frac{\partial z}{\partial t} \right|_{t=0, t=1} = 0, \quad z|_{x=0, x=1} = 0, \quad \left. \frac{\partial z}{\partial x} \right|_{x=0, x=1} = 0.$$

Имеет место следующая

**Теорема 1.** Для функции  $z$  справедлива оценка

$$\|z\|_{L_1} \leq C_2 \|h\|_{L_1},$$

где  $C_2$  — постоянное, не зависящее от  $\epsilon$ .

Подытоживая вышеприведенное, можно сформулировать следующую теорему.

**Теорема 2.** Пусть  $f(t, x)$  — достаточно гладкая функция. Тогда для решения задачи (1), (2) и (3) имеет место асимптотическое представление (28), где функции  $W_i$  определяются первым итерационным процессом,  $v_i^0$  и  $v_i'$  суть функции типа пограничного слоя

соответственно при  $t=0$  и  $t=1$  и определяются вторым итерационным процессом,  $\epsilon^{n+\frac{1}{3}}z$  — остаточный член, причем функция ограничена в метрике пространства  $L_2(Q)$ .

## ЛИТЕРАТУРА

1. Вишник М. И., Люстерник Л. А. УМН, т. XV, вып. 3, 93, 1960. 2. Джавадов М. Г. ДАН СССР, т. 144, № 2, 1962. 3. Джавадов М. Г. Изв. АН Азерб. ССР, серия физ.-матем. и технич. наук, № 3, 1962.

Институт математики и механики

Поступило 18. III 1970

Р. С. Эфендиев

Чырлашмыш тәилиji дөрд тәртибли гарabolик типли тәнлик олан биhamоник тәнлик үчүн сәрiед мәсәләсинин асимптотикасы

## ХУЛАСЭ

Фәрз едән ки,  $Q = \{(t, x), a \leq t \leq b, c \leq x \leq d\}$  дүзбұчаглысы верилмешdir.  $Q$  дүзбұчаглысында ашағыдақы мәсәләjе баҳаг:

$$Lu_t = \epsilon \left( \frac{d^4 u_t}{dt^4} + 2 \frac{\partial^4 u_t}{\partial t^2 \partial x^2} + \frac{\partial^4 u_t}{\partial x^4} \right) + \\ + \frac{\partial u_t}{\partial t} - \frac{d^2 u_t}{\partial x^2} + Au_t = f(t, x) \quad (1)$$

$$u_t|_{x=c, x=d} = 0, \quad \frac{\partial u_t}{\partial x}|_{x=c, x=d} = 0, \quad (2)$$

$$u_t|_{t=a, t=b} = 0, \quad \frac{\partial u_t}{\partial t}|_{t=a, t=b} = 0, \quad (3)$$

Бурада  $\epsilon$  — кичик параметр,  $A$  — сабит вә  $f(t, x)$  һамар функциядыр.

Тәдгигатда (1), (2), (3) мәсәләлеринин һәллинин асимптотикасынын (24) шәклиндә олдуғу исbat едилir вә көстәрилир ки, галыг һәдл  $\epsilon$  сифра жаһылашанда  $W_2^1(Q)$  фәзасы метрикасы  $\epsilon^{n+\frac{1}{3}}$  сүр'ети илә сифра жаһылашыр.

P. C. Efendiayev

The asymptotica of solution of boundary value problem for biharmonic equation degenerating into parabolic equation

## SUMMARY

There is a asymptotica of solution of the following problem on little parameter:

$$Lu_t = \epsilon \left( \frac{\partial^4 u}{\partial t^4} + 2 \frac{\partial^4 u}{\partial t^2 \partial x^2} + \frac{\partial^4 u}{\partial x^4} \right) + \frac{\partial u}{\partial t} - \\ - \left( - \frac{\partial^4 u}{\partial t^4} + a_1 \frac{\partial^3 u}{\partial x^3} + a_2 \frac{\partial^2 u}{\partial x^2} + a_3 \frac{\partial u}{\partial x} + a_4 u \right) = f(t, x), \quad (1)$$

$$u|_{t=0, t=1} = 0, \quad \frac{\partial u}{\partial t}|_{t=0, t=1} = 0, \quad (2)$$

$$u|_{x=0, x=1} = 0, \quad \frac{\partial u}{\partial x}|_{x=0, x=1} = 0, \quad (3)$$

where  $\epsilon > 0$  — little parameter.

It is proved, that the solution of the problem (1), (1), (2) has the following asymptotical presentation on  $\epsilon$ :

$$u(t, x) = \sum_{i=0}^{3n} \epsilon^{\frac{i}{3}} W_i + \epsilon^{\frac{1}{3}} \sum_{j=0}^{3n} \epsilon^{\frac{j}{3}} v_j^0 + \sum_{r=0}^{3n} \epsilon^{\frac{r}{3}} v_r' + \epsilon^{n+\frac{1}{3}} z. \quad (4)$$

$W_i$ , it is defined by the first iterative process,  $v_j^0, v_r'$  — the essence of the function of the boundary layer and is also defined by the second iterative process.  $z$  — the remainder term is limited in the metric of space  $L_2(Q)$ .

А. Ф. КОЧАРЛИ

## О КОМПАКТНОСТИ МНОЖЕСТВ ДИФФЕРЕНЦИРУЕМЫХ ФУНКЦИЙ, ЗАДАННЫХ В ОБЛАСТИ

(Представлено академиком АН Азербайджанской ССР А. И. Гусейновым)

В работе [1] П. И. Лизоркин и С. М. Никольский рассмотрели компактность множеств дифференцируемых функций из классов  $W_p^l$  [2],  $B_{p,\theta}^l$  [2],  $H_p^l$  [3], определенных на всем евклидовом пространстве  $E_n$ . Ими были даны необходимые и достаточные условия компактности множеств в этих пространствах.

В настоящей заметке получен ряд результатов о компактности множества дифференцируемых функций в области евклидова пространства, который обобщает соответствующие результаты П. И. Лизоркина и С. М. Никольского даже для случая, когда область задания  $\Omega$  функций совпадает с  $E_n$ .

### Приведем некоторые определения

Определение 1. Назовем  $N$ -функционалом неотрицательный функционал  $N[\psi] = N[\psi(h)]$ , определенный на неотрицательных измеримых функциях  $\psi(h)$ ,  $0 < h < h_0$  ( $h_0 < \infty$ ) и удовлетворяющий следующим условиям при любых  $a \geq 0$ ,  $b \geq 0$ ,  $\delta > 0$ :

- 1°.  $N[a\psi_1(h) + b\psi_2(h)] \leq C^*aN[\psi_1(h)] + C^*bN[\psi_2(h)]$
- 2°.  $N[\psi_1(h)] \leq C^*N[\psi_2(h)], 0 \leq \psi_1(h) \leq \psi_2(h);$
- 3°.  $N[h^\theta] < \infty$ .

Важнейшими примерами  $N$ -функционалов являются функционалы

$$N_\theta[\psi(h)] = \left\{ \int_0^{h_0} \psi(h)^\theta \frac{dh}{h} \right\}^{\frac{1}{\theta}}, \quad 1 < \theta < \infty \quad (1)$$

$$N_\infty[\psi(h)] = \sup_{0 < h < h_0} \psi(h) \quad (2)$$

Определение 2. Пусть заданы  $N$ -функционалы  $N_{(1)}, \dots, N_{(n)}$ . Обобщенным гельдеровым пространством  $N_{p^0, p^1, \dots, p^n}^l(\Omega)$  назовем ли-

нейное пространство функций, определенных на области  $\Omega \subset E_n$  с конечной величиной

$$\|f\|_{N_{p^0, p^1, \dots, p^n}^l(\Omega)} = \|f\|_{p^0, \Omega} + \sum_{i=1}^n N_{(i)}[h^{-l_i} \|\Delta_i^m(h; \Omega) f\|_{p^i, E_n}], \quad (3)$$

где  $m_i > l_i > 0$ ,  $i = 1, 2, \dots, n$ .

Выражение (3) будем для удобства называть квазинормой, которая не является, вообще говоря, нормой. Квазинорма будет нормой в том случае, когда для функционалов  $N_{(i)}[\psi(h)]$  выполнены свойства полунонормы.

В случаях  $p^1 = \dots = p^n = p$  и  $p^0 = p^1 = \dots = p^n = p$  вместо  $N_{p^0, p^1, \dots, p^n}^l(\Omega)$  будем писать соответственно  $N_{p^0, p}^l(\Omega)$  и  $N_p^l(\Omega)$ .

Определение 3. Будем говорить, что область  $\Omega$  локально допускает сдвиг, если существует конечное покрытие  $\{\Omega_k\}_{k=1}^K$  открытыми множествами  $\Omega_k$ , последовательность векторов  $h_{kj}$  ( $h = (h_1, \dots, h_n)$ ,  $|h_{kj}| \rightarrow 0$  при  $j \rightarrow \infty$ ) и последовательность чисел  $\varepsilon_j > 0$  ( $\varepsilon_j \rightarrow 0$  при  $j \rightarrow \infty$ ) со следующими свойствами:

- 1)  $\Omega = \bigcup_{k=1}^K \Omega_k$
- 2) для каждого  $k$  и  $j$   $\varepsilon_j$  — окрестность точки  $x + h_{kj}$   
 $O_{\varepsilon_j}(x + h_{kj}) \subset \Omega_k$
- 3) при некотором  $\varepsilon > 0$  множества  $\Omega_k^{(\varepsilon)} = \{x : x \in \Omega_k, \rho(x, \partial\Omega_k | \partial\Omega) > \varepsilon\}$  также образуют покрытие  $\Omega$ , т. е.  $\Omega = \bigcup_{k=1}^K \Omega_k^{(\varepsilon)}$ .

В дальнейшем везде, где это не оговорено, будем рассматривать области, локально допускающие сдвиг.

Функцию  $f(x) \in N_p^l(\Omega)$  будем называть непрерывной по последовательности сдвигов в  $N_p^l(\Omega)$ , если

$$\sup_{|y| < 1} \|f(\cdot) - f(\cdot + h_{kj} + \varepsilon_j y)\|_{N_p^l(\Omega_k)} \rightarrow 0 \text{ при } j \rightarrow \infty \quad (k = 1, 2, \dots, K)$$

Теорема 1. Пусть функционалы  $N_{(1)}, \dots, N_{(n)}$  удовлетворяют обобщенному неравенству Минковского

$$N \left[ \int_{E_n} \psi(y, \cdot) dy \right] \leq C^* \int_{E_n} N[\psi(y, \cdot)] dy.$$

Для того чтобы ограниченное в  $L_p(\Omega)$  множество  $M$  функций  $f(x) \in N_p^l(\Omega)$ , непрерывных по последовательности сдвигов было вполне ограниченным в  $N_p^l(\Omega)$ , необходимо и достаточно, чтобы  $M$  было равностепенно непрерывно по последовательности сдвигов:

$$\sup_{i \in M} \sup_{|y| < 1} \|f(\cdot) - f(\cdot + h_{kj} + \varepsilon_j y)\|_{N_p^l(\Omega)} \rightarrow 0 \text{ при } j \rightarrow \infty \quad (k = 1, 2, \dots, K)$$

и чтобы функции  $f \in M$  равномерно убывали по норме  $L_p(\Omega)$  на бесконечности:

$$\sup_{x \in M} \|f\|_{p_i} (|x| > M, x \in \Omega) \rightarrow 0 \quad \text{при } M \rightarrow \infty$$

Из теоремы 1 следует

**Теорема 2.** Пусть  $1 < p < \infty$ ,  $1 \leqslant \theta \leqslant \infty$ . Для того чтобы ограниченное в  $L_p(\Omega)$  множество  $M$  функций  $f \in B_{p,\theta}^l(\Omega)$  было компактным в  $B_{p,\theta}^l$ , необходимо и достаточно, чтобы  $M$  было равностепенно непрерывно по последовательности сдвигов в  $B_{p,\theta}^l(\Omega)$ :

$$\sup_{x \in M} \sup_{y \in \Omega} \|f(\cdot) - f(\cdot + h_{kj} + \varepsilon_j y)\|_{B_{p,\theta}^l(\Omega)} \rightarrow 0 \quad \text{при } j \rightarrow \infty$$

$$(k = 1, 2, \dots, K)$$

и чтобы функции  $f \in M$  равномерно убывали по норме  $L_p(\Omega)$  на бесконечности:

$$\sup_{x \in M} \|f\|_{p_i} (|x| > M, x \in \Omega) \rightarrow 0 \quad \text{при } M \rightarrow \infty$$

Отметим, что аналогичные теоремы имеют место и в пространствах  $H_p^l(\Omega)$ ,  $W_p^l(\Omega)$ .

Пусть теперь  $\Omega$  — произвольная область.

**Теорема 3.** Пусть имеется компактное в  $L_p(\Omega)$  множество  $M$  функций  $f(x) \in N_p^l(\Omega)$  таких, что:

$$N_l [\chi_{(0,\delta)}(h) h^{-l_i}] \|\Delta_i^{m_i}(h; \Omega) f\|_p \rightarrow 0 \quad \text{при } \delta \rightarrow 0 \quad (4)$$

( $\chi_{(0,\delta)}(h)$  — характеристическая функция  $(0, \delta)$ ,  $i = 1, 2, \dots, n$ ). Тогда равномерное (относительно  $M$ ) выполнение (4) является необходимым и достаточным условием полной ограниченности  $M$  в  $N_p^l(\Omega)$ .

Если в теореме 3 рассматривать функционалы (1), (2), то имеет место

**Теорема 4.** Пусть имеется компактное в  $L_p(\Omega)$  множество  $M$  функций  $f(x) \in B_{p,\theta}^l(\Omega)$ ,  $1 < \theta \leqslant \infty$ , и при  $\theta = \infty$  таких, что

$$t^{-l_i} \|\Delta_i^{m_i}(t; \Omega) f\|_p \rightarrow 0 \quad \text{при } t \rightarrow 0. \quad (5)$$

Тогда равномерное (относительно  $M$ ) выполнение условия

$$\left\{ \int_0^\delta \|\Delta_i^{m_i}(t; \Omega) f\|_p^{\theta} \frac{dt}{t^{1+l_i}} \right\}^{\frac{1}{\theta}} \rightarrow 0 \quad \text{при } \delta \rightarrow 0$$

$$(1 \leqslant \theta < \infty)$$

или условия (5) ( $\theta = \infty$ ) является необходимым и достаточным условием компактности  $M$  в  $B_{p,\theta}^l(\Omega)$ .

Заметим, что теорема 4 при  $\theta = \infty$  аналогична теореме 2 из [3].

**Замечание 1.** Результаты данной заметки переносятся без изменения формулировок и на случай смешанной нормы, т. е. на слу-

чай  $p = (p_1, \dots, p_n)$ .

$$\sup_{x \in M} \|f\|_{p_i} (|x| > M, x \in \Omega) \rightarrow 0 \quad \text{при } M \rightarrow \infty$$

для всех  $i = 1, 2, \dots, n$ .

## ЛИТЕРАТУРА

- Лизоркин П. И., Никольский С. М. О компактности множеств дифференцируемых функций. Труды МИАН СССР, 1969, т. 105.
- Бесов О. В., Ильин В. П. Естественное расширение класса областей в теоремах вложения. Мат. сборник, 1968, т. 75 (117), № 4.
- Бесов О. В. О некоторых свойствах пространств  $H_p(r_1, \dots, r_n)$ . Из. высших учебных заведений (математика), 1960, № 1 (14), стр. 16—23.
- Казарян Г. Г. О плотности гладких финитных функций в  $W_p^r(\Omega)$ . Мат. заметки, т. 2, № 1.

Институт математики  
и механики

Поступило 13. IX 1971

А. Ф. Кочарлы

Областда верилмиш дифференциалланан функциялар  
choхлуғунун компактлығы һағында

## ХУЛАСЭ

Мәгәләдә мүәжжән областда верилмиш функциялар choхлуғунун компактлығы һағында бәзі теоремләр исбат едилмишdir. Алынан нәтичәләр Л. И. Лизоркинниң және С. М. Никольскинниң уғын нәтичәләрини үмумиләшдирир.

A. F. Kochary

On compactness of sets of differentiable functions  
given in a region

## SUMMARY

In the present note we receive a number of results on set compactness of differentiable functions in the region of Euclidean space which generalizes corresponding results of P. I. Lizorkin and S. M. Nikolsky even for the case when the region of set functions coincides with  $E_n$ .

В. В. САЛАЕВ, Р. И. ЯГУБ-ЗАДЕ

КВАДРАТУРНАЯ ФОРМУЛА ДЛЯ СИНГУЛЯРНОГО  
ИНТЕГРАЛА ПО ЗАМКНУТОЙ СПРЯМЛЯЕМОЙ КРИВОЙ

(Представлено академиком АН Азербайджанской ССР А. И. Гусейновым)

Пусть  $\Gamma$  — замкнутая жорданова спрямляемая кривая  $t = t(s)$  ( $0 \leq s \leq l$ ) — уравнение кривой  $\Gamma$  в дуговых координатах.

$$\bar{f}(t) = \int_{\Gamma} \frac{f(\xi)}{\xi - t} d\xi = \lim_{\epsilon \rightarrow 0} \int_{\Gamma / \Gamma_{\epsilon}(t)} \frac{f(\xi)}{\xi - t} d\xi,$$

где  $t = t(s) \in \Gamma$ ,  $\Gamma_{\epsilon}(t)$  — дуга  $\Gamma$ , содержащая точку  $t$  и стягивающая точки  $t(s-\epsilon)$ ,  $t(s+\epsilon)$ ,  $0 < \epsilon \leq l/2$ .

$$\bar{f}(t) = \int_{\Gamma} \frac{f(\xi) - f(t)}{\xi - t} d\xi + \pi i f(t).$$

Очевидно,  $\bar{f}(t) = \bar{f}(t) \Leftrightarrow \int_{\Gamma} (\xi - t)^{-1} d\xi = \pi i$ .

Пусть  $d_1 = \sup_{t, \tau \in \Gamma} |t - \tau|$ ;  $s(t, \tau)$  — небольшая из длин дуг, стягивающих точки  $t, \tau \in \Gamma$ ;  $d_0 = \sup_{t, \tau \in \Gamma} s(t, \tau)$ ;  $\alpha(\delta) = \inf_{s(t, \tau) > \delta} |t - \tau|$ ,  $\delta \in (0, d_0]$ . Очевидно,  $d_0 \leq l/2$ .

Свойства функции  $\alpha(\delta)$  изучены в работе [1]. Доказано, что  $0 < \alpha(\delta) \leq \delta$ ,  $\alpha(\delta)$  — непрерывная неубывающая функция и для любой функции  $\varphi(\delta)$  с вышеперечисленными свойствами существует кривая  $\Gamma$ , функция  $\alpha(\delta)$  которой слабо эквивалентна [1] функции  $\varphi(\delta)$ .

Если  $f \in C_{\Gamma}$  — множеству непрерывных на  $\Gamma$  функций, то функция

$$\begin{aligned} \omega_1(\delta) &= \delta \sup_{\xi > \delta} \frac{1}{\xi} \sup_{|t - \tau| > \xi} |f(t) - f(\tau)| = \\ &= \sup_{\xi < \delta} \sup_{|t - \tau| > \xi} \left| \frac{f(t) - f(\tau)}{t - \tau} \right|, \quad \delta \in (0, d_1] \end{aligned}$$

принадлежит множеству  $\Phi_{(0, d_1]}$  неубывающих функций  $\varphi(\delta)$ , определенных на  $(0, d_1]$  со свойствами  $\lim_{\delta \rightarrow 0} \varphi(\delta) = 0$ ,  $\varphi(\delta)/\delta$  невозрастающая функци-

ция. Каждая функция  $\varphi \in \Phi_{(0, d_1]}$  с точностью до отношения эквивалентности является модулем непрерывности [1].  $f \in C_{\Gamma} \Leftrightarrow \lim_{\delta \rightarrow 0} \omega_1(\delta) = 0$ .

Установим на  $\Gamma$  направление обхода по возрастанию дуговой абсциссы  $s$  и произвольное конечное разбиение  $\tau$  кривой  $\Gamma$  пронумеруем, начиная с некоторого его элемента в порядке расположения на  $\Gamma$ . Итак,  $\tau = [t_1, t_2, \dots, t_n]$ ,  $t_i \in \Gamma$ ,  $t_i$  следует за  $t_{i+1}$  ( $t_i \leq t_{i+1}$ ).  $t^*$  обозначает дугу кривой  $\Gamma$  с началом в точке  $t$  и концом в точке  $\tau$ .  $|\tau| = \max$  [длин  $t_j t_{j+1}$ ]. называется мелкостью  $\tau$ .

Пусть  $\sigma(t)$  — дуга кривой  $\Gamma$ , целиком состоящая из некоторой совокупности дуг  $t_i t_{i+1}$  такая, что  $t \in \sigma(t)$  не является ее концевой точкой. Правый конец  $\sigma(t)$  обозначим через  $t^*$ , а левый —  $\sigma(t)$  через  $t_*$ . По самому определению  $\sigma(t)$  точки  $t_*$ ,  $t^*$  являются точками разбиения  $\tau$ .

Для любой точки  $t = t(s) \in \Gamma$  через  $t^0$  обозначим точку  $t(s + l/2)$ , через  $\bar{t}(t)$  — ближайшую справа (слева) к  $t$  точку разбиения  $\tau$ .

При  $|\tau| \leq l/2$  множество точек разбиения  $\tau$ , содержащихся в  $t^0$  непусто и потому разбиение  $\tau$  индуцирует разбиение  $\tau_1$  дуги  $t^0 t^*$ :  $\tau_1 = [\eta_1, \eta_2, \dots, \eta_k]$ ,  $t^* = \eta_1 < \dots < \eta_{k-1} = t^0 < \eta_k = t^0$ . Пусть  $\tau'_1 = [\eta'_1, \eta'_2, \dots, \eta'_k]$ ,  $t'_* = \eta'_1 \dots \geq \eta'_k = t^0 \geq \eta'_k = t^0$  аналогичное индуцированное разбиение дуги  $t^0 t^*$ .

Имея разбиение  $\tau_1$ ,  $\tau'_1$  дуг  $t^0 t^*$ ,  $t^0 t^*$  за приближенное значение интегралов

$$\int_{t^0}^{f(\xi) - f(t)} \frac{d\xi}{\xi - t}, \int_{t^0}^{f(\xi) - f(t)} \frac{d\xi}{\xi - t}$$

выбираем усложненную интерполяционную квадратурную формулу с нулевой степенью точности [2], [3]. Тогда

$$\begin{aligned} \bar{f}(t) &= L(t, f, \sigma, \tau) = \pi i f(t) + \\ &+ \sum_{\eta_i + t} \frac{f(\eta_i) - f(t)}{\eta_i - t} (\eta_{i+1} - \eta_i) + \sum_{\eta'_i + t} \frac{f(\eta'_i) - f(t)}{\eta'_i - t} (\eta'_{i+1} - \eta'_i). \end{aligned}$$

Обозначим через  $K_{(0, a]}$  множество неотрицательных неубывающих функций, определенных на  $(0, a]$ .  $K^0_{(0, a]} = \{f \in K_{(0, a]} : \lim_{x \rightarrow 0} f(x) = 0\}$ .

Определение 1. ([4], стр. 317). Две функции класса называются существенно равными, если они совпадают в точках непрерывности.

Определение 2. ([1]). Пусть  $f \in K^0_{(0, a]}$ ,  $f(x) > 0$  каждую функцию  $f \in K^0_{(0, a]}$  назовем обобщенной обратной, если она существенно равна функции  $\sup_{y < x} f(y) \leq x$  и  $ff(a) = a$  (см. также [5, стр. 22], [6, стр. 47], [7 стр. 240—241]).

Лемма 1. Если  $f \in K^0_{(0, a]}$ ,  $g \in K^0_{(0, a]}$  взаимно обобщенные обратные, то  $f_* g^*(x) \leq x \leq f^* g_*(x)$ ,  $g_* f^*(x) \leq x \leq g^* f_*(x)$ , где для  $\psi \in K_{(0, a]}$  приняты обозначения  $\psi_*(x) = \sup_{\xi < x} \psi(\xi) = \psi(x-0)$ ,  $\psi^*(x) = \psi(x+0)$  при  $x \in (0, a)$  и  $\psi^*(a) = \psi(a)$ .

Обозначим  $\varphi^*(\varepsilon) = \int_0^\varepsilon (\varphi(v(\varepsilon)))|_{v(\xi)} d\xi$ , где  $\varphi \in \Phi_{(0, d_1]}$ ,  $v \in K_{(0, d_1)}$ ,  $\varphi(\xi) > 0$ ,  $0 < v(\xi) \leq d_1$  и введем функцию

$$F_{\varphi, v}(\varepsilon) = \varphi^*(\varepsilon) + \varphi^*(h) \int_v^\varepsilon \frac{d\xi}{v(\xi)}$$

при фиксированном  $h$ .

**Теорема 1.** Пусть  $v \in K^0_{(0, d_1)}$ ,  $0 < v(\delta) \leq \delta$ ;  $v(s(t, \tau)) \leq |t - \tau|$ ;  $f \neq \text{const}$ ; разбиение  $\tau$  таково, что  $\|\tau\| \leq \delta_0$ , где  $v_{\omega_f}(\omega_f)$ ,  $(\delta_0) + \delta_0 \leq l/2$  точки  $t_*$ ,  $t^*$  разбиения  $\tau$  удовлетворяют условиям  $v_{\omega_f}(\omega_f), (\|\tau\|) \leq S(t, t_*), S(t, t^*) \leq \leq v_{\omega_f}(\omega_f), (\|\tau\|) + \|\tau\|$ ,

тогда  $|\bar{f}(t) - L(t, f, \sigma, \tau)| \leq C F_{v, \omega_f}(v_{\omega_f}(\omega_f), (\|\tau\|))$ ,

где постоянная  $C$  зависит разве лишь от  $\Gamma$ .

Дальнейшее изучение полностью основывается на выборе  $\sigma(t)$  и свойствах функции  $F_{v, \omega_f}(\epsilon)$ .

**Лемма 2.** Функция  $F_{v, \omega_f}(\epsilon)$  монотонно убывающая на  $(0, \min \left\{ \frac{v_{\omega_f}(\omega_f)}{v_{\omega_f}(\omega_f)}, \frac{l}{2} \right\})$  и монотонно возрастающая на  $[\min \left\{ \frac{v_{\omega_f}(\omega_f)}{v_{\omega_f}(\omega_f)}, \frac{l}{2} \right\}, \frac{l}{2}]$ ;

если сходится интеграл  $\int_0^{\tau} (\varphi(v(\xi))/v(\xi)) d\xi$ , то при  $0 < h \leq h_0$

где  $v_{\omega_f}(\omega_f) \leq l/2$  функция  $F_{v, \omega_f}(v_{\omega_f}(\omega_f), (\|\tau\|))$  монотонно возрастающая и стремится к нулю при  $h \rightarrow 0$ .

пусть  $v_1 \leq v_2$  ( $v_i \in K^0_{(0, d_1)}$ ) число  $h$  удовлетворяет неравенству  $v_2 \varphi^*(h) \leq l/2$ , тогда  $F_{v, \omega_f}(v_1 \varphi^*(h)) \leq F_{v, \omega_f}(v_2 \varphi^*(h))$ .

Обозначим  $H_\varphi = \{f : \sup(\omega_f(\xi)/\varphi(\xi)) < \infty\}$  где  $\varphi \in \Phi_{(0, d_1)}$ .

**Теорема 2.** Пусть  $\xi \in K^0_{(0, d_1)}$ ,  $0 < v(\delta) \leq \delta$ ;  $v(s(t, \tau)) \leq |t - \tau|$ ;  $f \in H_\varphi$ ;

$\int_0^{\tau} (\varphi(v(\xi))/v(\xi)) d\xi < \infty$ ; разбиение  $\tau$  таково, что  $\|\tau\| \leq \delta_0$ , где  $v_{\omega_f}(\omega_f), (\|\tau\|) +$

$+ \delta_0 \leq \frac{l}{2}$  точки  $t_*$ ,  $t^*$  разбиения  $\tau$  удовлетворяют условиям  $v_{\omega_f}(\omega_f), (\|\tau\|) \leq s(t, t_*)$ ,

$s(t, t^*) \leq v_{\omega_f}(\omega_f), (\|\tau\|) + \|\tau\|$ , тогда  $|\bar{f}(t) - L(t, f, \sigma, \tau)| \leq C C_{f, \varphi}(v_{\omega_f}(\omega_f), (\|\tau\|))$ ,

где постоянная  $C$  зависит разве лишь от  $\Gamma$ , а  $C_{f, \varphi} = \sup(\omega_f(\xi)/\varphi(\xi))$ .

Известно, что гладких кривых  $a(\delta) \sim \delta$  ([8]) или что то же  $s(t, \tau) \leq \text{const} |t - \tau|$ . Для такого класса кривых  $\omega_f(\delta) \sim \omega_f^0(\delta) = \sup_{s(t, \tau) < \delta} |f(t) - f(\tau)|$ , при  $\delta \in (0, d_1]$ .

**Теорема 3.** Пусть  $\Gamma$  таково что  $s(t, \tau) \leq \text{const} |t - \tau|$ ;  $f \neq \text{const}$ ;

$\int_0^{\tau} (\omega_f^0(\xi)/\xi) d\xi < \infty$ ; разбиение  $\tau$  таково, что  $\|\tau\| \leq \delta_0$ , где  $v_{\omega_f}(\omega_f), (\delta_0) + \delta_0 \leq l/2$ ;

точки  $t_*$ ,  $t^*$  разбиение  $\tau$  удовлетворяют условиям  $v_{\omega_f}(\omega_f), (\|\tau\|) \leq s(t, t_*)$ ,

$s(t, t^*) \leq v_{\omega_f}(\omega_f), (\|\tau\|) + \|\tau\|$ , тогда

$$|\bar{f}(t) - L(t, f, \sigma, \tau)| \leq C \left( \int_0^{\tau} \frac{\omega_f^0(\xi)}{\xi} d\xi + \right. \\ \left. + \ln \frac{l}{\omega_f^0(\omega_f), (\|\tau\|)} \int_0^{\|\tau\|} \frac{\omega_f^0(\xi)}{\xi} d\xi \right),$$

где постоянная  $C$  зависит разве лишь от  $\Gamma$ .

**Теорема 4.** (B. B. Иванов [9]). Пусть  $\Gamma$  таково, что

$$s(t, \tau) \leq \text{const} |t - \tau|; f \in H_\varphi; \int_0^{\tau} (\varphi(\xi)/\xi) d\xi = O(\varphi(\delta));$$

разбиение  $\tau$  таково, что  $\|\tau\| \leq l_1$ ; точки  $t_*$ ,  $t^*$  разбиения  $\tau$  удовлетворяют условиям  $\|\tau\| \leq S(t, t_*)$ ,  $s(t, t^*) \leq 2\|\tau\|$ , тогда

$$|\bar{f}(t) - L(t, f, \sigma, \tau)| \leq c C_{f, \varphi}(\|\tau\|) \ln \frac{l}{\|\tau\|},$$

где постоянная  $C$  зависит разве лишь от  $\Gamma$ , а  $C_{f, \varphi} = \sup(\omega_f^0(\xi)/\varphi(\xi))$ .

Отметим, что в общем случае выбор  $t_*$ ,  $t^*$ , т. к. это сделано в теореме 4, является неудачным. Действительно, если взять  $t_*$ ,  $t^*$  так, что  $\|\tau\| \leq s(t, t_*)$ ,  $s(t, t^*) \leq 2\|\tau\|$  без дополнительного ограничения на  $\omega_f^0$ , то оценка погрешности примет вид

$$|\bar{f}(t) - L(t, f, \sigma, \tau)| \leq C \ln \frac{l}{\|\tau\|} \int_0^{\|\tau\|} \frac{\omega_f^0(\xi)}{\xi} d\xi.$$

Пусть  $f$  такова, что  $\omega_f^0(\xi) = O\left(\ln^{-2} \frac{1}{\|\xi\|}\right)$ , тогда правая часть последней оценки при  $\|\tau\| \rightarrow 0$  эквивалентна 1, в то время как в теореме 3 правая часть при  $\|\tau\| \rightarrow 0$  эквивалентна  $\ln^{-\frac{1}{2}} \frac{1}{\|\tau\|}$ .

Наряду с функцией  $a(\delta)$  для каждой жордановой спрямляемой кривой рассмотрим функцию  $\beta(\delta) = \sup_{|t - \tau| \leq \delta} s(t, \tau)$ ,  $\delta \in (0, d_1]$  и рассмотрим множество  $S_\Gamma$  упорядоченных пар  $(\mu, v)$  неубывающих функций  $\mu(\delta)$ ,  $v(\delta)$  определенных соответственно на  $(0, d_1]$ ,  $(0, d_0]$  и удовлетворяющих неравенствам  $S(t, \tau) \leq \mu(|t - \tau|)$ ,  $|t - \tau| \geq v(S(t, \tau))$ .

Установленные в работе [1] свойства функции  $\beta(\delta)$  и множества  $S_\Gamma$  дают возможность сформулировать оценки погрешности в терминах  $\beta$  и функций из множества  $S_\Gamma$ .

Если  $\Gamma$  удовлетворяет условию  $\int (\xi - t)^{-1} d\xi = \pi i$  для каждого  $t \in \Gamma$ , то теоремы 1—4 превращаются в оценку погрешности  $\bar{f}(t)$ .

При выполнении данной работы большую помощь авторам оказал В. Г. Пирмамедов.

## ЛИТЕРАТУРА

- Бабаев А. А., Салаев В. В. Одномерный сингулярный оператор с неизвестной плотностью по замкнутой кривой, оценка типа А. Зигмуна. ДАН СССР, №161:2, 1965.
- Никольский С. М. Квадратурные формулы. М., 1953.
- Крылов В. И. Приближенное вычисление интегралов. «Наука», М., 1967.
- Бохнер С. Б. Лекция об интегралах Фурье. М., 1962.
- Красносельский М. А., Рутинский Я. Б. Выпуклые функции и пространства Орлича. М., 1958.
- Зигмунд А. Тригонометрические ряды. «Мир», 1965.
- Мусхелишивили Н. И. Сингулярные интегральные уравнения. «Наука», М., 1968.
- Иванов В. В. Теория приближенных методов и ее применение к численному решению сингулярных интегральных уравнений. АН УССР, Киев, 1968.
- Институт кибернетики

Поступило 29. V 1970

В. В. Салаев, Р. И. Якубзаде

Дүзләндирилэ билән ғапалы әјри үзәр сингулар интеграл үчүн квадратур дүстүр

## ХУЛАСЭ

Мәгаләдә тәнлиги  $t = t(s)$  ( $0 \leq s \leq l$ ) олар ғапалы дүзләндирилэ би-  
лән жордан әјриси үзәр  $\int_0^l \frac{f(\xi)}{\xi - t} d\xi$  сингулар интеграл үчүн

№ 72182

Центральная научная  
БИБЛИОТЕКА  
Академии наук Киргизской ССР

$$\int_{\Gamma} \frac{f(\xi)}{\xi-t} d\xi = \pi i f(t) + \sum_{j=1}^n \frac{f(\eta_j) - f(t)}{\eta_j - t} (\eta_{j+1} - \eta_j) + \sum_{j=1}^n \frac{f(\eta'_j) - f(t)}{\eta'_j - t} (\eta'_{j+1} + \mu_j)$$

квадратур дүстүру гүрүлмүш вә бу налда бурахылан хэта гијмәтләндирилмүшдир.

V. V. Salaev, R. I. Iagub-zade

**Quadrature formula for the singular integral on the closed straightening curve**

**SUMMARY**

Let  $\Gamma$  be the closed straightening curve  $t = t(s)$  ( $0 \leq s \leq l$ ) the equation of  $\Gamma$  curve in curve co-ordinates. For the singular integral  $\int \frac{f(t)}{\xi-t} ds$  we build the quadrature formula of the form

$$L(t, f, \sigma, \tau) = \pi i f(t) + \sum_{j=1}^n \frac{f(\eta_j) - f(t)}{\eta_j - t} (\eta_{j+1} - \eta_j) + \sum_{j=1}^n \frac{f(\eta'_j) - f(t)}{\eta'_j - t} (\eta'_{j+1} - \eta'_j)$$

the estimate of the error is obtained.

УДК 539. 293

**ФИЗИКА**

Чл.-корр. АН СССР Г. Б. АБДУЛЛАЕВ, Н. И. ИБРАГИМОВ, В. М. ЗУЕВ

**БЛОК ДИСПЕРСИИ К РАДИОСПЕКТРОМЕТРУ РЭ1301**

Как известно, при прохождении магнитного поля через резонанс неспаренные электроны парамагнитного образца, взаимодействуя с СВЧ магнитным полем, изменяют добротность и резонансную частоту рабочего резонатора. Изменение добротности характеризует поглощение СВЧ энергии, а изменение резонансной частоты резонатора — дисперсию. В спектрометрах, у которых частота кластрона стабилизирована по рабочему резонатору системой автоподстройки частоты (АПЧ), сигнал дисперсии подавляется ею и наблюдается только сигнал поглощения. Одним из таких радиоспектрометров является промышленный спектрометр РЭ1301 [1]. Он имеет проходной резонатор и автоподстройку частоты по нему, исключая тем самым запись сигнала дисперсии.

Баженов и Сериков [2] для наблюдения первой производной сигнала дисперсии, в указанном выше спектрометре, изменили волноводный тракт и систему АПЧ, используя балансный метод с отражательным рабочим резонатором. Хотя авторы указывают на незначительность переделок, однако они все же достаточно основательные.

За основу был взят метод записи первой производной сигнала дисперсии, описанный Беретом и Куппером [3], которые осуществили его на радиоспектрометре с низкочастотной модуляцией магнитного поля. Мы разработали блок к стандартному радиоспектрометру РЭ1301 с высокочастотной модуляцией магнитного поля, применив дополнительную низкочастотную модуляцию. Это дало возможность записывать одновременно как первую производную сигнала поглощения, так и первую производную сигнала дисперсии. При конструировании блока была поставлена задача — как можно меньше внести изменений в схему и конструкцию радиоспектрометра. В связи с тем, что постоянная времени АПЧ относительно велика (около 0,1 сек), частота дополнительной модуляции была выбрана достаточно низкой (25 гц). Такая частота модуляции будет давать наименьшее число комбинационных частот с частотой сети 50 гц, которая является помехой. Для ослабления помехи от сети возникла необходимость цепь накала блока АПЧ и кластрон питать постоянным током. Для питания цепей накала блока АПЧ изготовлен выпрямитель, а для питания накала кластрона используется накальный стабилизированный выпрямитель источ-

ника питания УИП-2, который служит источником питания анодных и накальных цепей блока дисперсии.

Для одновременной записи двух сигналов одноканальный самопи- сец заменен двухканальным (ЭПР-09 сдвоенный).

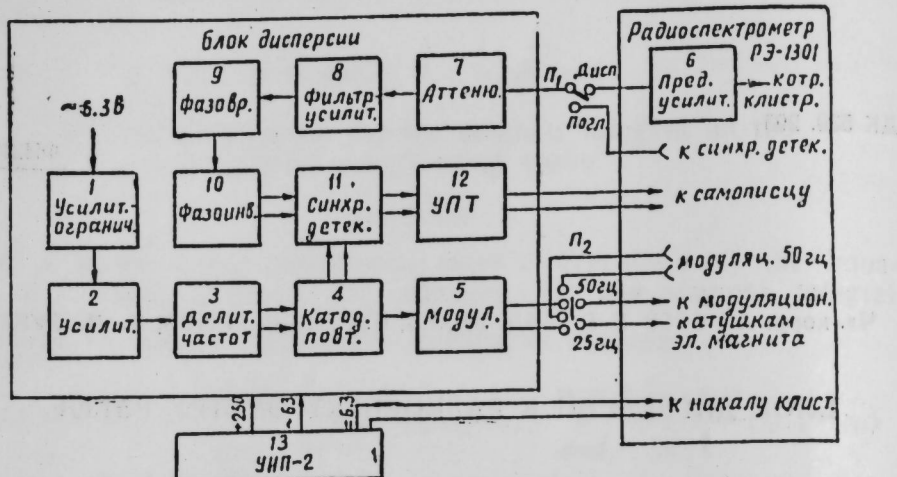


Рис. 1.—Блок-схема блока дисперсии.

Блок-схема блока дисперсии приведена на рис. 1. Для получения напряжения частоты 25 гц переменное напряжение накала 6,3 в усиливается усилителем (1) до ограничения сверху и снизу и с помощью дифференцирующей цепочки преобразуется в остроконечные импульсы, которые усиливаются усилителем-ограничителем (2). Полученные на выходе усилителя-ограничителя импульсы отрицательной полярности запускают делитель частоты (3), представляющий собой триггер. С триггера-делителя через катодный повторитель (4) напряжение частоты 25 гц поступает на синхронный детектор (11). Это напряжение является опорным для синхронного детектора. С того же катодного повторителя напряжение частоты 25 гц поступает из модулятора (5), представляющего собой резонансный усилитель мощности и служащий для модуляции магнитного поля. Последнее осуществляется путем подачи напряжения на модулирующие катушки электромагнита.

Одновременная запись двух сигналов осуществляется с помощью одновременной высокочастотной и дополнительной низкочастотной модуляций магнитного поля, суммарная амплитуда которых должна подбираться так, чтобы она была меньше половины ширины линии ЭПР поглощения. Во время записи сигнала модуляция проводит магнитное поле через небольшую часть резонанса образца. При этом добротность и резонансная частота резонатора меняются согласно модулирующему полю. Система АПЧ следит как за плавно меняющимися изменениями резонансной частоты резонатора, так и за изменениями, вызванными дополнительным низкочастотным магнитным полем. Выработанная системой АПЧ вследствие ее сложения за расстройкой резонатора переменная составляющая напряжения на отражателе кристалона частоты 25 гц усиливается предусилителем (6) через переключатель ( $P_1$ ) и аттенюатор (7), поступает на RC фильтр-усилитель (8), настроенный на частоту дополнительной модуляции. Далее, сигнал поступает на фазовращатель (9), фазонивертор (10) и на синхронный детектор (11) с низкочастотным фильтром (постоянные времени 0,5; 2 или 10 сек), затем на усилитель постоянного тока (12), являющий-

ся согласующим звеном между синхронным детектором и самописцем. К выходу усилителя постоянного тока подключен один из каналов самописца.

Кроме записи сигнала дисперсии этот блок позволяет также записывать вторую производную линии ЭПР поглощения. Для этого переключатель  $P_1$  устанавливается в положение „Поглощение“. Сигнал с синхронного детектора спектрометра частотой 25 гц, продетектированный вторично синхронным детектором блока дисперсии, является второй производной сигнала поглощения.

Добавление разработанного нами блока к радиоспектрометру РЭ-1301 позволило, не внося существенных изменений в схему и конструкцию прибора, расширить его возможности: вести одновременно запись первых производных сигналов поглощения и дисперсии или

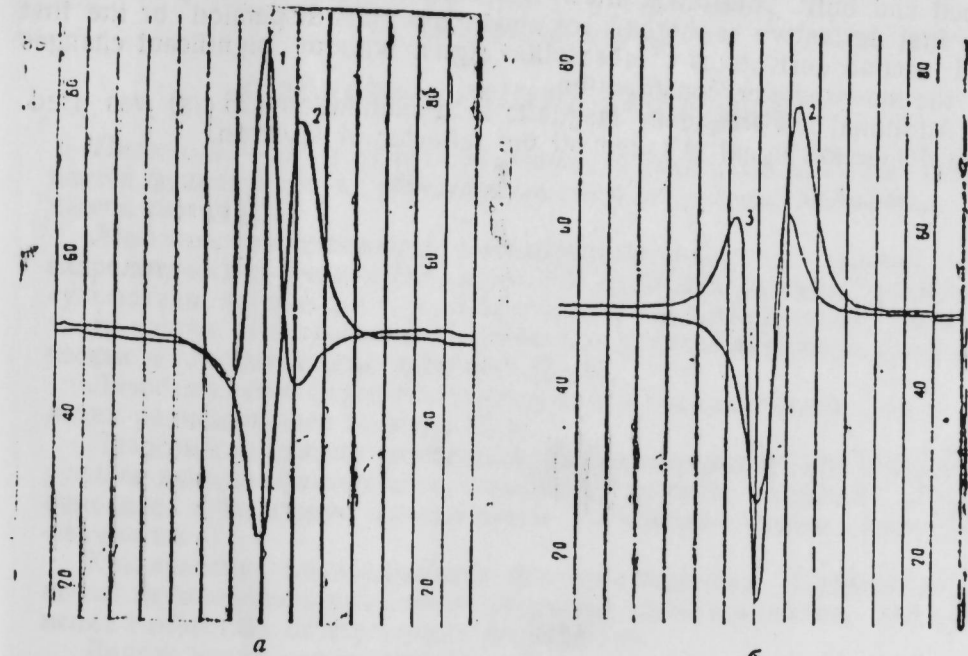


Рис. 2. Резонанс ДФПГ: а—первые производные сигналов дисперсии и поглощения (1, 2); б—первая и вторая производные сигнала поглощения (2, 3).

же первой и второй производных сигнала поглощения. На рис. 2 приведены примеры вышеуказанных записей, полученных на кристалле ДФПГ.

#### ЛИТЕРАТУРА

- Блюменфельд Л. А., Венодский В. В., Семенов А. Г. Применение ЭПР в химии, 35, СО АН СССР, Новосибирск, 1962.
- Баженов В. К., Сериков Л. В. Радиоспектроскопия твердого тела, 296, Атомиздат, М., 1967.
- Waggett W. Z. and Cooper R. L. Rev. Sci. Instr., 38, 6, 832, 1967.

Институт физики

Н. Б. Абдуллаев, Н. И. Ибраимов, В. М. Зуев  
РЕ-1301 радиоспектрометри үчүн дисперсија блоку

ХУЛАСӘ

РЕ-1301 типли сәнаје радиоспектрометри үчүн дисперсија блоку ишләниб назырламышдыр. Ынмин блок радиоспектрометрии схеминде вә конструкциясында әсаслы дәйшиликләр етмәдән, удулма вә

Поступило 13. II 1971

дисперсија сигналларынын биринчи төрөмәләриниң, яхуд удуулма сигналынын биринчи вә иккичи төрөмәләрини еңи заманда гејд етмәјә имкан верир.

Бунун үчүн магнит саңасинин әлавә ашағытезлики ( $25 \text{ hc}$ ) модул-жасијасы тәтбиг едилмишdir. Дисперсија сигналы клистронун әксет-дирничисиндән көтүрүлмүшdir.

G. B. Abdullaev, N. I. Ibragimov, V. M. Zuev

## Dispersion block for the РЭ 1301 Radiospectrometer.

### SUMMARY

The dispersion block for the standard РЭ 1301 spectrometer was developed and built. This block allows the simultaneous recording of the both the first derivative of signals of absorption and dispersion or the first and second derivatives of absorption signal without significant changes in the spectrometer construction.

Additional low-frequency magnetic field modulation ( $25 \text{ c/s}$ ) was used. The dispersion signal is taken off the reflector of klystron.

Член-корр. АН СССР Г. Б. АБДУЛЛАЕВ,  
С. Т. САДЫХОВ, М. А. МЕХТИЕВ

## О ДЕЙСТВИИ СЕЛЕНА НА ЛИЗОСОМЫ

Лизосомы — один из тех субклеточных частиц, на которых основывается функциональная обусловленность и регуляция жизненных процессов клетки [1].

Лизосомы как органеллы с мембранными содержат полный набор гидролитических ферментов: катепсины, нуклеазы, липазы, фосфатазы, сульфатазы, эстеразы и т. д., действующие на все важные составные части клетки. Эти свойства обеспечивают участие лизосом в физиологических и патологических процессах [2—6].

Лизосомальные ферменты участвуют и в биохимическом этапе усиления радиационного эффекта [7, 8].

Лизосомы окружены мембраной. Лабилизирующее или стабилизирующее влияние факторов на мемрану должно вызывать глубокие изменения в биохимии клетки путем регуляции выхода лизосомных ферментов.

Как известно, физиологически активные вещества в основном призваны мобилизовать внутренние защитные силы организма для сохранения гомеостаза от стрессовых воздействий.

Долгое время селен считался токсичным для животных [9]. В [10] показана его эффективность в предотвращении и лечении некроза печени, а в [11—13] — как «необходимый» микроэлемент. Биологическая роль микродоз селена всегда тесно связана с витамином Е [14—19]. Антиокислительное и мембранные действие витамина Е общеизвестно.

Недостаток селена в корме уменьшает стабильность лизосом в печени, но метаболическую роль селена на субклеточном уровне, независимо от витамина Е, обнаружить пока не удалось [20, 21].

Почти полное совпадение спектральной чувствительности селенового фотоэлемента с спектральной чувствительностью человеческого глаза [22] дало основание думать о наличии селена в сетчатке глаз.

В [23] был обнаружен эффект влияния селена на формирование потенциала сетчатки глаз.

В данной работе представляло интерес изучение участия лизосом в механизме действия селена.

Нами было установлено наличие эффекта снижения свободной активности кислой фосфатазы вследствие обработки лизосом селенитом. Оказалось, что эффект значительно превышает действие известных стабилизаторов лизосомной мембранны [24]. Это дало основание думать, что селенит снижает активность самого ферmenta. Действительно, опыты по

прямому действию селенита натрия на активность кислой фосфатазы из печени крыс позволили установить наличие ингибирующего эффекта.

В настоящей работе приведены данные по изучению ингибирующего действия селенита натрия на кислую фосфатазу печени.

Лизосомы были выделены по [25, 26] из печени интактных крыс линии Вистар, содержащихся на стандартном рационе. Источником свободной кислой фосфатазы служила надосадочная жидкость, полученная центрифугированием 5%-ного гомогената печени в 0,25 M сахарозе и 1 mM ЭДТА в течение 20 мин при 20 000 g. Активность кислой фосфатазы определяли по методу [27], в качестве субстрата использовали *p*-нитрофенилфосфат натрия, очищенный спиртом и эфиrom до полного удаления продуктов спонтанного распада.

Результаты опытов по изучению влияния селенита на свободную активность лизосомной кислой фосфатазы в сравнении с физиологическим раствором и 0,25 M сахарозой приведены в табл. 1.

Таблица 1  
Действие селенита на лизосомы печени крыс

Среда	Конечн. конц.	Активн. фермента (о. п.)	% от сахарозы
Сахароза	0,25 M	0,315	100
Физ. р-р		0,408	130
Селенит натрия в физ. р-ре	0,05 M	0,081	25,7
	0,005 M	0,230	73,0
	0,0005 M	0,308	97,7

Физиологический раствор, как и следовало ожидать, несколько увеличивает свободную активность фермента, вместе с тем селенит в конечной концентрации 0,05 M снижает ее в 4 раза. Поэтому вызвало интерес изучить действие селенита на свободный фермент.

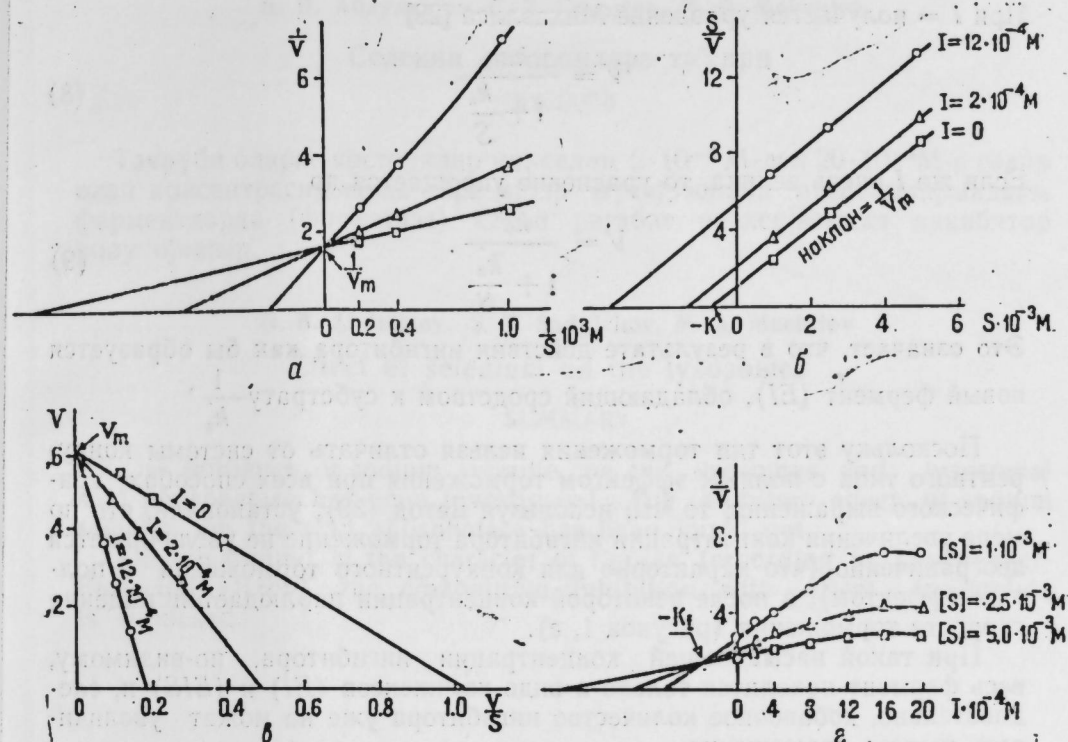
Данные зависимости скорости ферментативной реакции ( $V$ ) от концентрации субстрата ( $S$ ) и ингибитора ( $I$ ) приведены в табл. 2.

Таблица 2

[I] $10^{-4} M$	$[S]_1 = 1 \cdot 10^{-3} M$				$[S]_2 = 2,5 \cdot 10^{-3} M$				$[S]_3 = 5,0 \cdot 10^{-3} M$			
	$V$	$\frac{1}{V}$	$\frac{S}{V}$	$\frac{V}{S}$	$V$	$\frac{1}{V}$	$\frac{S}{V}$	$\frac{V}{S}$	$V$	$\frac{1}{V}$	$\frac{S}{V}$	$\frac{V}{S}$
0	0,387	2,58	2,58	0,387	0,486	2,06	5,15	0,194	0,567	1,76	8,80	0,113
2	0,275	3,64	3,64	0,275	0,397	2,52	6,30	0,159	0,492	2,03	10,02	0,098
12	0,144	6,95	6,95	0,144	0,266	3,76	9,40	0,106	0,373	2,68	13,40	0,075

Как известно, характер ингибирования устанавливается из линейных графиков, построенных по преобразованию уравнения Михаэлиса — Ментен [28].

Конкурентный характер торможения доказывается пересечением семейства прямых в одной точке  $V_m$  на ординате (рисунок 1, а, б) и одинакостью наклона ( $\frac{1}{V_m}$ ) прямых (рисунок 1, в).

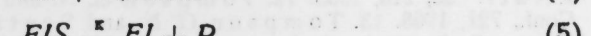


Поскольку используемый ингибитор по структуре не сходен с субстратом изучаемого фермента, то здесь конкурентное торможение по обычным механизмам конкуренции за активный центр фермента маловероятно.

Обычно вещество, соединяющееся с тем же участком фермента, что и субстрат, вызывает торможение конкурентного типа, при котором фермент полностью лишен активности.

В случае присоединения к ферменту как ингибитора, так и субстрата в соседстве сродство фермента с субстратом уменьшается.

Конкуренция ингибитора с частичным торможением описывается:



При этом допущено, что ингибитор влияет только на сродство фермента к субстрату, комплексы ( $EIS$ ) и ( $ES$ ) распадаются с одинаковой скоростью, т. е. константы скорости равны.

Скорость такой системы описывается:

$$V = \frac{k_e}{1 + \frac{k_s}{S} \cdot \frac{\left(1 + \frac{I}{k_i}\right)}{\left(1 + \frac{I \cdot k_s}{k_i \cdot k_e}\right)}} \quad (7)$$

При  $I =$  получается уравнение Михаэлиса [29]

$$V = \frac{ke}{1 + \frac{k_i}{S}}. \quad (8)$$

Если же  $I$  очень велика, то уравнение упрощается до

$$V = \frac{ke}{1 + \frac{k_i}{S}}. \quad (9)$$

Это означает, что в результате действия ингибитора как бы образуется новый фермент ( $EI$ ), обладающий сродством к субстрату  $\frac{1}{k_i}$ .

Поскольку этот тип торможения нельзя отличать от системы конкурентного типа с полным эффектом торможения при всех способах графического выражения, то мы, используя метод (30), установили, что по мере увеличения концентрации ингибитора торможение не увеличивается неограниченно (что характерно для конкурентного торможения с полным эффектом), а после некоторой концентрации наблюдается падение скорости торможения (рисунок 1, г).

При такой насыщающей концентрации ингибитора, по-видимому, весь фермент находится только в виде комплексов ( $EI$ ) и ( $EIS$ ) и, следовательно, добавочное количество ингибитора уже не может увеличивать степень торможения.

Установление более точного механизма ингибирующего действия селенита на кислую фосфатазу требует дальнейших исследований.

Таким образом, нами установлено, что селенит натрия в конечной концентрации от  $2 \cdot 10^{-4}$  до  $20 \cdot 10^{-4} M$  ингибирует активность кислой фосфатазы (КФ 3.7.3.2) печени крыс.

Тип ингибирования — конкурентный, с неполным эффектом торможения.

## ЛИТЕРАТУРА

1. De Duve et al., Biochem. J. 60, 604, 1955.
2. Tappel A., In "Comprehensive Biochemistry", 23, 77, 1968.
3. Gajdás A., Press Med. 74, 18, 923, 1966.
4. Al-594, 1964.
5. Weissmann G., Blood, 24, 5, 1966.
6. Pollicard A., Nouv. Rev. France, L'Hématologie, 5, 4, 603, 1965.
7. Nagy J. W., Radiation Res., 28, 766, 1966.
8. Садыков С. Г., Изв. АН Азерб. ССР, 3, 18, 1968.
9. Olson O. E., Proc. Georgia Nutr. Conf., 68, 1969.
10. Schwarz K., J. Nutr., 86, 213, 1965.
11. Mathias M. M. et al., Proc. Cornell Nutr. Conf., 721, 1968.
12. Thompson G. N. and Scott M. J., Proc. Cornell Nutr. Conf., 721, 1968.
13. Thompson G. N. and Scott M. G., J. Nutr., 97, 335, 1969.
14. Ewan R. C. et al., J. Animal Sci., 27, 751, 1968.
15. Hogue D. E. et al., J. Animal Sci., 21, 25, 1962.
16. Muth O. H. et al., Science, 128, 900, 1958.
17. Proctor J. F., et al., J. Animal Sci., 17, 1183, 1958.
18. Diplock A. T. et al., Biochem. J., 119, 5, 1970.
19. Bunyan G. et al., Brit. J. Nutr., 21, 137, 1967.
20. Вишанапур J. S. et al., J. Nutr., 99, 387, 1969.
21. Will R. C., Old Field J. E. J. Nutr., 91, 237, 1967.
22. Абдуллаев Г. Б., Электронные полупроводники и их применение, АН Азерб. ССР, 1971, 10, 24.
23. Абдуллаев Г. Б., Гаджиева Н. А., Гасанов Г. Г., Докл. Радиохимии и химии элементов, 1964, 25, Тутельян В. А., Биохимия, 33, 4, 809, 1968.
24. Покровский А. А., Chem., 164, 321, 1946.
25. Узбек Л., Ингибиторы ферментов и метаболизма, 1, 503, 291, 1966.
26. Диксон М., Узбек Л., Ферменты, ИЛ, 1961.

Г. Б. Абдуллаев, С. Т. Садыков, М. Э. Мехтиев

## Селенин лизосомларга тә'сири

### ХУЛАСЭ

Тәчрүби оларға көстәрилүп ки, селен  $2 \cdot 10^{-4} M$ -дан  $20 \cdot 10^{-4} M$ -а گәдәр олар концентрасијаларда гарә чијәр һүчөрәсінин лизосомларының ферментләрдә (фосфатаза) кедән рәгабәт реакцијасында ингибитор ролу оյнајыр.

G. B. Abdullaev, S. T. Sadylychov, M. A. Mechtlev

## Effect of selenium on the lysosomes

### SUMMARY

The influence of sodium selenite on the lysosomes and lysosomal acid phosphatase has been investigated. The inhibitory effect of sodium selenite on the acid phosphatase has been found out.

On the ground of the character of figures (according to Lineweaver-Burk and Dixon), the competitive inhibition with effect incomplete is supposed.

БУРЕНИЕ

Член.-корр. Я. Б. КАДЫМОВ, З. Я. КУЛИЕВ, А. И. МАМЕДОВ

**ЧИСЛЕННЫЙ МЕТОД РАСЧЕТА ПЕРЕХОДНЫХ ПРОЦЕССОВ  
В НЕЛИНЕЙНОЙ СИСТЕМЕ БУРОВОГО ЭЛЕКТРОПРИВОДА,  
ВКЛЮЧАЮЩЕГО ЗВЕНО С РАСПРЕДЕЛЕННЫМИ ПАРАМЕТРАМИ**

Исследование переходных процессов в системах, содержащих звенья с распределенными параметрами, весьма эффективно производится методами [1, 2], основанными на применении теории импульсных систем и дискретного преобразования Лапласа [3].

Настоящая статья посвящена расчету переходных процессов в нелинейной системе бурового электропривода, вращающего колонну труб. Причем, колонна бурильных труб рассматривается как звено с распределенными параметрами.

Для рассматриваемой системы исходным уравнением является уравнение движения:

$$J \frac{d\omega}{dt} = M_d - M_c, \quad (1)$$

где  $J$ —общий момент инерции;

$\omega$ —скорость вращения;

$M_d$ —момент двигателя;

$M_c$ —момент нагрузки.

При нелинейной механической характеристики (рис. 1) момент двигателя представим в следующей форме:

$$M_d(t) = \Phi(\omega(t)).$$

В общем случае выражение момента нагрузки  $M_c$  в операторном виде будет:

$$\bar{M}_c(P) = \frac{1}{P} \bar{k}_c(P) \bar{\omega}(P), \quad (3)$$

где  $P$ —параметр преобразования в обычном преобразовании Лапласа;

$\bar{k}_c(P)$ —коэффициент, определяющий связь между  $\bar{\omega}(P)$  и  $\bar{M}_c(P)$  в начальной точке колонны бурильных труб;  $P$ —волновое сопротивление труб.

Представим связь между  $M_d$  и  $\omega$  в следующей форме:

$$\bar{M}_d(P) = L[\Phi(\omega(t))], \quad (4)$$

где  $L[\cdot]$ —символ, означающий операцию обычного преобразования по Лапласу.

Изображение нелинейной функции  $M_d(t)$  является неизвестной функцией от параметра  $P$ , т. к. она зависит от искомого режима и поэтому зависимость этой функции от времени в начале расчета неизвестна. Следовательно, запись выражения (4) является условной.

Учитывая, что до приложения воздействия, скорость вращения электропривода была  $\omega(0) = \omega_{\text{нач.}}$  и переводя уравнение (1) в операторную форму, получим:

$$\bar{J}\bar{P}\bar{\omega}(P) - J\omega_{\text{нач.}} = \bar{M}_d(P) - \bar{M}_c(P). \quad (5)$$

Уравнение (5) с учетом выражений (3) и (4) будет:

$$\bar{J}\bar{P}\bar{\omega}(P) + \frac{1}{P} \bar{k}_c(P) \bar{\omega}(P) = J\omega_{\text{нач.}} + L[\Phi(\omega(t))]. \quad (6)$$



Рис. 1.

Выражение (6) можно представить в виде:

$$\bar{\omega}(P) = \bar{k}_\omega(P)([J\omega_{\text{нач.}} + L[\Phi(\omega(t))]]), \quad (7)$$

$$\bar{k}_\omega(P) = \frac{1 - \frac{1}{P}}{J_p + \frac{1}{P} \bar{k}_c(P)}. \quad (8)$$

Уравнение (7) является нелинейным, т. к. в нем входит изображение искомой величины  $\bar{\omega}(P) = L[\omega(t)]$  и изображение нелинейной функции этой искомой величины  $L[\Phi(\omega(t))]$ .

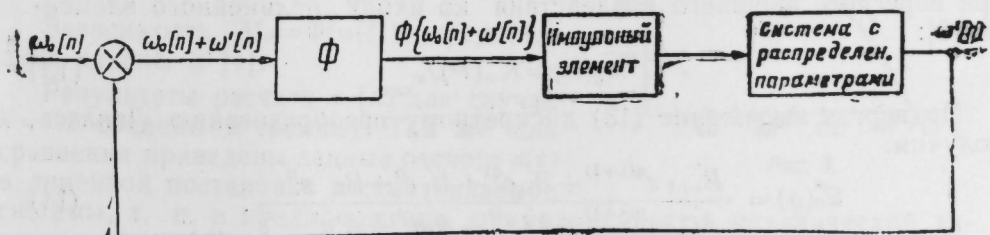


Рис. 2.

Применяя метод, изложенный в работе [2], получим структурную схему нелинейной импульсной системы (рис. 2), уравнение которой будет:

$$\Omega^{1*}(q) = K_\omega^*(q) D[\Phi(\omega_0[n] + \omega'[n])], \quad (9)$$

где  $q$ —параметр преобразования в дискретном преобразовании Лапласа;

$\Omega^*(q)$ —значение скорости вращения и дискретной форме;

$K_\omega(q)$ —передаточная функция разомкнутой импульсной системы по скорости;

$D\{\}$ —символ, указывающий на операцию преобразования [решетчатой функции по Лапласу];

$\omega_0[n]$  и  $\omega'[n]$ —значение скорости в решетчатой форме.

Для нагруженного на конце вала [1]:

$$\bar{K}_c(p) = \frac{1+e^q e^{-2pt}}{1-e^q e^{-2pt}}, \quad (10)$$

$$e^q = (\rho - \mu_k)(\rho + \mu_k), \quad (11)$$

где  $t$ —время пробега волны в один конец колонны бурильных труб;

$\mu_k$ —коэффициент, определяющий связь между скоростью вращения и моментом на конце вала,

Выражение (8), с учетом (10) в дискретной форме [3] будет

$$\bar{K}_\omega(q) = \frac{B_{\lambda+1} e^{q(\lambda+1)} + B_\lambda e^{q\lambda} + B_1 e^q + B_0}{A_{\lambda+2} e^{q(\lambda+2)} + A_{\lambda+1} e^{q(\lambda+1)} + A_\lambda e^{q\lambda} + A_2 e^{2q} + A_1 e^q + A_0}, \quad (12)$$

где

$$B_{\lambda+1} = \frac{T}{J\lambda}; \quad A_{\lambda+2} = 1;$$

$$B_\lambda = -\frac{T}{J\lambda}; \quad A_{\lambda+1} = -\left(2 - \frac{1}{J\rho} \cdot \frac{T}{\lambda}\right);$$

$$B_1 = -\frac{T}{J\lambda} e^q; \quad A_\lambda = 1 - \frac{1}{J\rho} \cdot \frac{T}{\lambda};$$

$$B_0 = \frac{T}{J\lambda} e^q; \quad A_2 = -e^q;$$

$$A_1 = 2e^q + \frac{1}{J\rho} \cdot \frac{T}{\lambda};$$

$$A_0 = -e^q \left(1 + \frac{1}{J\rho} \cdot \frac{T}{\lambda}\right);$$

$\lambda$  и  $T$ —относительный и абсолютный периоды повторения решетчатой функции, соответственно, причем  $T = 2\tau$ .

Для определения  $\omega_0[n]$  воспользуемся выражением, полученным при пересчете внешнего воздействия ко входу нелинейного элемента [2]:

$$\bar{\omega}_0(P) = \bar{K}_\omega(P) J_{\omega_{\text{нач}}}. \quad (13)$$

Подвергая выражение (13) дискретному преобразованию Лапласа, получим:

$$\Omega_0^*(q) = \frac{B'_{\lambda+1} e^{q(\lambda+1)} + B'_\lambda e^{q\lambda} + B'_1 e^q + B'_0 e^q}{A'_{\lambda+1} e^{q(\lambda+1)} + A'_\lambda e^{q\lambda} + A_1 e^{q\lambda} + A'_0 e^q - 1}, \quad (14)$$

где

$$B'_{\lambda+1} = \omega_{\text{нач}}; \quad A'_{\lambda+1} = 1 + \frac{1}{J\rho} \cdot \frac{T}{\lambda};$$

$$B'_\lambda = -\omega_{\text{нач}}; \quad A'_\lambda = -1;$$

$$B'_1 = -\omega_{\text{нач}} e^q; \quad A'_1 = -\left(1 - \frac{1}{J\rho} \cdot \frac{T}{\lambda}\right);$$

$$B'_0 = \omega_{\text{нач}} e^q; \quad A'_0 = e^q.$$

Оригинал  $\Omega_0^*(q)$  отыскивается по рекуррентному соотношению [3]:

$$\omega_0[n] = \frac{1}{A'_l} \left\{ B'_{l-n} - \sum_{v=1}^n A'_{l-v} \omega_0[n-v] \right\}, \quad (15)$$

где  $l = \lambda + 1$ —найвысшая степень многочлена по  $e^q$ , находящегося в числителе и знаменателе выражения (14).

Определив значения  $\omega_0[n]$  по выражению (15), переходим к отысканию скорости  $\omega'[n]$  по следующей рекуррентной формуле:

$$\omega'[n] = \frac{1}{A'_{l_1}} \left\{ \sum_{v=1}^{l_1} B'_{l_1-v} \Phi(\omega_0[n-l_1 + l_1-v] + \omega'[n-l_1 + l_1-v]) - \sum_{v=1}^{l_1} A'_{l_1-v} \omega'[n-v] \right\}, \quad (16)$$

где  $l_1 = \lambda + 1$ ;  $l_2 = \lambda + 2$ , входящие в выражение (12).

Значения искомой скорости находятся как сумма скоростей  $\omega_0[n]$  и  $\omega'[n]$ , т. е.

$$\omega[n] = \omega_0[n] + \omega'[n]. \quad (17)$$

Пример.

Произведем расчет напряжения кручения колонны бурильных труб для случая внезапного заклинивания долота при следующих параметрах системы:

волновое сопротивление труб —  $\rho = 0,0126 \frac{1}{\text{кгмсек}}$ ;

обобщенный момент инерции —  $J = 79,9 \frac{\text{кгмсек}^2}$ ;

скорость вращения до внезапного заклинивания долота —  $\omega_{\text{нач}} = 10,5 \frac{1}{\text{сек}}$ ;

длина колонны бурильных труб —  $l = 1500 \text{ м}$ ;

диаметр труб — 6".

Возникающие в трубах напряжения кручения  $\sigma$  определяются по формуле  $\sigma = k\omega$ , где  $k = 41$ —постоянный коэффициент.

Для рассматриваемого примера значение  $e^q$  (11) станет равным единице.

Приняв скорость распространения волны равной  $v = 3000 \text{ м/сек}$ , получим следующее значение для времени пробега волны в один конец  $\tau = \frac{l}{v} = 0,5 \text{ сек}$ .

Зависимость  $M_\sigma = \Phi(\omega(t))$  представлена на рис. 3 [4].

Результаты расчета  $\sigma[n]$  для случая  $\lambda = 40$  сведены в таблицу. Там же для сравнения приведены данные расчета  $\sigma(t)$  в линейной постановке рассматриваемой системы, т. е. в предположении прямолинейности механической характеристики [4].

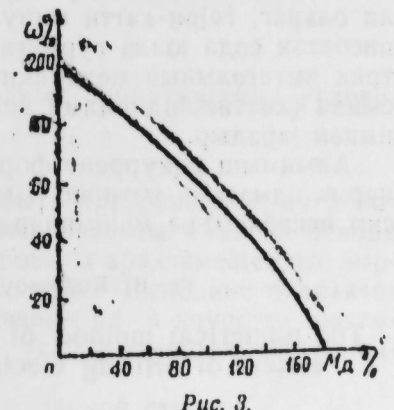


Рис. 3.

n	0	20	40	60
t	0	$\tau$	$2\tau$	$3\tau$
$\sigma[n]$	430	302,8	701,5	424,4
$\sigma(t)$	430	320,0	725,0	434,0

где  $q$ —параметр преобразования в дискретном преобразовании Лапласа;

$\Omega^*(q)$ —значение скорости вращения и дискретной форме;

$K^*(q)$ —передаточная функция разомкнутой импульсной системы по скорости;

$D[\cdot]$ —символ, указывающий на операцию преобразования решетчатой функции по Лапласу;

$\omega_0[n]$  и  $\omega'[n]$ —значение скорости в решетчатой форме.

Для нагруженного на конце вала [1]:

$$\bar{K}_c(p) = \frac{1+e^q e^{-2pt}}{1-e^q e^{-2pt}}, \quad (10)$$

$$e^q = (\rho - \mu_k)(\rho + \mu_k), \quad (11)$$

где  $t$ —время пробега волны в один конец колонны бурильных труб;  $\mu_k$ —коэффициент, определяющий связь между скоростью вращения и моментом на конце вала,

Выражение (8), с учетом (10) в дискретной форме [3] будет

$$\bar{K}^*(q) = \frac{B_{1+1} e^{q(\lambda+1)} + B_1 e^{q\lambda} + B_0}{A_{\lambda+2} e^{q(\lambda+2)} + A_{\lambda+1} e^{q(\lambda+1)} + A_\lambda e^{q\lambda} + A_2 e^{2q} + A_1 e^q + A_0}, \quad (12)$$

где

$$B_{\lambda+1} = \frac{T}{J\lambda}; \quad A_{\lambda+2} = 1;$$

$$B_\lambda = -\frac{T}{J\lambda}; \quad A_{\lambda+1} = -\left(2 - \frac{1}{J\rho} \cdot \frac{T}{\lambda}\right);$$

$$B_1 = -\frac{T}{J\lambda} e^q; \quad A_\lambda = 1 - \frac{1}{J\rho} \cdot \frac{T}{\lambda};$$

$$B_0 = \frac{T}{J\lambda} e^q; \quad A_2 = -e^q;$$

$$A_1 = 2e^q + \frac{1}{J\rho} \cdot \frac{T}{\lambda};$$

$$A_0 = -e^q \left(1 + \frac{1}{J\rho} \cdot \frac{T}{\lambda}\right);$$

$\lambda$  и  $T$ —относительный и абсолютный периоды повторения решетчатой функции, соответственно, причем  $T = 2\tau$ .

Для определения  $\omega_0[n]$  воспользуемся выражением, полученным при пересчете внешнего воздействия ко входу нелинейного элемента [2]:

$$\bar{\omega}_0(P) = \bar{K}_c(P) J_{\omega_{\text{нач}}} \quad (13)$$

Подвергая выражение (13) дискретному преобразованию Лапласа, получим:

$$\bar{\Omega}^*(q) = \frac{B'_{1+1} e^{q(\lambda+1)} + B'_1 e^{q\lambda} + B'_0 e^q}{A'_{\lambda+1} e^{q(\lambda+1)} + A'_\lambda e^{q\lambda} + A'_1 e^q + A'_0 e^q - 1}, \quad (14)$$

где

$$B'_{1+1} = \omega_{\text{неч}}; \quad A'_{\lambda+1} = 1 + \frac{1}{J\rho} \cdot \frac{T}{\lambda};$$

$$B'_\lambda = -\omega_{\text{неч}}; \quad A'_\lambda = -1;$$

$$B'_1 = -\omega_{\text{неч}} e^q; \quad A'_1 = -\left(1 - \frac{1}{J\rho} \cdot \frac{T}{\lambda}\right);$$

$$B'_0 = \omega_{\text{неч}} e^q; \quad A'_0 = e^q.$$

## Оригиналъ № 9 от Фундаментальной Академии СССР

ДОКЛАДЫ АКАДЕМИИ НАУК АЗЕРБАЙДЖАНСКОЙ ССР  
том XXVII № 11-12 1971

где  $l = \lambda + 1$ —наивысшая степень многочленов в знаменателе и числителе и знаменатель выше ненулевого члена.

Определив значения  $\omega_0[n]$  по выражению (14) для оценки величины  $\omega_0[n]$  по следующей формуле, получим

$$\omega'[n] = \frac{1}{A_{l_1}} \left\{ \sum_{i=0}^{l_1} B_{l_1-i} \Phi(i) \right\} \quad \text{НЕФТЕХИМИЧЕСКИЙ СИНТЕЗ}$$

где  $l_1 = \lambda + 1$ . Академик С. Д. МЕХТИЕВ, М. Р. МУСАЕВ, Э. Э. ГАЙДАРОВА

Значения исходной

$\omega_0[n]$  и  $\omega'[n]$ , т. е.

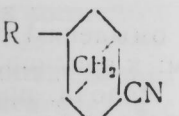
## СИНТЕЗ АРИЛЗАМЕЩЕННЫХ НОРБОРНАНКАРБОНОВЫХ КИСЛОТ И ИХ КАЛИЕВЫХ СОЛЕЙ

Пример.

Произведем

для случая

метра. Ранее нами была опубликована работа с описанием результатов исследования по синтезу арилзамещенных цианиорборана, полученных конденсацией 2-цианобицикло (2, 2, 1) гептена (цианиорбориена) ароматическими углеводородами бензольного ряда в присутствии безводного хлористого алюминия [1]. В качестве ароматических углеводородов были использованы бензол, толуол, изомеры ксилона, этилбензол и изопропилбензол. Цианиорбориен был получен из циклопентадиена и акрилонитрила диеновым синтезом [3]. В результате реакции конденсации указанных ароматических углеводородов были синтезированы соединения типа:



где:  $R$ —радикалы исходных ароматических углеводородов.

Учитывая, что нитрилы легко могут быть превращены почти количественно в соответствующие карбоновые кислоты, нами на основе вышеотмеченных нитрилов были синтезированы арилзамещенные норборнанкарбоновые кислоты и их калиевые соли. Последние характеризованы с целью возможности использования их в качестве эмульгатора реакции полимеризации диеновых углеводородов с сопряженной двойной связью.

Результаты исследования приводятся в данной статье.

## ЭКСПЕРИМЕНТАЛЬНАЯ ЧАСТЬ

Арилцианиорбораны подвергались кислотному гидролизу на обычной установке алкилирования [4] следующим образом в однократную реакционную колбу помещают 1 гмоль исходного арилцианиорборана, 150 мл дистиллированной воды и 50 мл уксусной кислоты. Затем при непрерывном перемешивании приливалось 142 мл 10% водного раствора гидрохинона, приготовленного из промышленной серной кислоты. Вся смесь нагревалась на асбестовой ткани в течение 2 ч. Не прерывая перемешивания, смесь разбавлялась водой и нейтрализовывалась щелочью.



бавлялась 340 мл холодной воды и охлаждалась до комнатной температуры. Выделившийся осадок серной кислоты, представляющий собой светлую густую смелообразную массу, несколько раз промывался холодной водой, а затем растворялся в гептане при нагревании и непрерывном перемешивании до полного растворения кислоты.

Из охлажденной смеси на воронке Бюхнера отделялось небольшое количество выделившихся белых кристаллов исходного арилцианнорбориана. Из фильтрата отгонялся растворитель — гептан. У остатка, представляющего собой арилнорборианкарбоновую кислоту, полученную с почти количественным превращением, определялось кислотное число, молекулярный вес, элементарный анализ. Результаты с указанными показателями приводятся в табл. 1.

Таблица 1

Физико-химические константы арилнорборианкарбоновых кислот

№ пп	Карбоновые кислоты	$K_t$		МВ		Элементарный анализ								
		выч.	найд.	выч.	найд.	выч.	найд.	С	Н	О	С	Н	О	
1	Фенилнорборианкарбоновая	185,0	188,0	216,0	213,0	78,0	7,42	14,58	77,1	7,85	15,05			
2	Толлилнорборианкарбоновая	174,0	177,0	230	226	78,4	7,84	13,76	79,0	7,63	13,37			
3	Изопропилфенилнорборианкарбоновая	155,0	153,8	258	260	79,0	8,6	12,4	78,1	9,0	12,9			
4	1,2-диметилфенилнорборианкарбоновая	164,0	161,8	244	247	78,7	8,2	13,1	78,2	8,5	13,3			
5	1,3-диметилфенилнорборианкарбоновая	164,0	160,0	244	250	•	•	•	77,92	8,3	13,28			
6	1,4-диметилфенилнорборианкарбоновая	164,0	161,1	244	248	•	•	•	79,2	7,9	12,9			

Полученные кислоты подвергались щелочному омылению с целью получения их калиевых солей следующим образом: к арилнорборианкарбоновой кислоте прибавлялся 0,5N калиевой щелочи, приготовленный из рассчитанного количества его на взятую кислоту, смесь переносилась в фарфоровую чашку и при непрерывном помешивании стеклянной палочкой нагревалась до полного освобождения от воды. Оставшийся осадок светло-желтого цвета представлял собой калиевую соль соответствующей кислоты.

Взятая на нейтрализацию кислоты щелочь, рассчитывалась по формуле:

$$x = \frac{a M_{\text{в кон.}}}{M_{\text{в к-ти}}},$$

где:  $a$  — навеска кислоты.

В табл. 2 и 3 приводятся состав и поверхностное натяжение водных растворов калиевых солей арилнорборианкарбоновых кислот.

Из табл. 3 видно, что почти все калиевые соли арилнорборианкарбоновой кислоты хорошо растворимы в воде и водные растворы их обладают достаточно низким поверхностным натяжением на поверхности раздела фаз. Следовательно, они могут образовывать устойчивые эмульсии, т. е. служить эмульгаторами в эмульсионной полимеризации. Действительно, применение данных солей в качестве эмульгаторов полимеризации дисенов дали положительные результаты.

Таблица 2

Состав калиевых солей арилнорборианкарбоновых кислот

№ пп	Образец	Содержание			
		активного в-ва	$K_2SO_4$	неомыляемых в-в, %	влаги
1	Фенилнорборианкарбонокислый калий	77,07	5,14	3,73	—
2	Толлилнорборианкарбонокислый калий	74,0	10,29	13,2	—
3	Изопропилфенилнорборианкарбонокислый калий	90,14	1,06	3,06	—
4	1,2-диметилфенилнорборианкарбонокислый калий	73,77	1,11	5,23	19,89
5	1,3-диметилфенилнорборианкарбонокислый калий	74,09	1,17	6,01	18,73
6	1,4-диметилфенилнорборианкарбонокислый калий	52,6	0,99	14,2	32,21

Таблица 3

Поверхностное натяжение водных растворов калиевых солей арилнорборианкарбоновых кислот (эр/см<sup>2</sup>)

№ образца	0,1 %-ный раствор при, °C		0,25 %-ный раствор при, °C		0,125 %-ный раствор при, °C		0,0625 %-ный раствор при, °C	
	20	40	20	40	20	40	20	40
1	40,17	39,14	41,20	40,17	47,26	41,20	45,32	43,26
2	39,65	38,11	46,35	44,29	47,38	45,32	48,41	46,35
3	•	•	•	•	•	•	•	•
	В воде не растворяется							
4	37,08	36,05	40,68	39,14	42,23	40,17	43,26	42,23
5	37,08	36,05	39,14	38,11	42,23	40,17	45,32	44,29
6	41,20	39,14	44,29	41,20	47,38	45,32	48,44	43,4

Выводы

1. Исследована реакция гидролиза арилзамещенных цианиорбориана в кислой среде и установлено количественное превращение их в соответствующие карбоновые кислоты.

2. Получены и охарактеризованы калиевые соли арилзамещенных норборианкарбоновых кислот.

ЛИТЕРАТУРА

- Мехтиев С. Д., Бабаханов Р. А., Гайдарова Э. Э., Мусаев М. Р. Автор. свид. № 187748 от 15 августа 1966 г. 2. Мехтиев С. Д., Бабаханов Р. А., Гайдарова Э. Э., Мусаев М. Р., Мусаева А. Р., ДАН Азерб. ССР\*, 1968, № 7. 3. Врусон Н. А. И. Апег. с. с. с. 64, 2457, 1942. 4. Мамедалиев Ю. Г. Реакция алкилирования в производстве авиационных топлив. Азнефтенздат, 1945.

ИНХП

Поступило 6. III 1970

С. Ч. Мендиев, М. Р. Мусаев, Е. Е. Недэрова

Арилэвээли норборианкарбон туршуулары вэ онларын калиум дузларынын синтези

ХУЛАСЭ

Сианиорбориан вэ бензол сырасы ароматик карбоидрокенлэр эссында синтез олунмуш арилсианиорборианлар һидролиз олунарааг мүвағиг карбон туршууларына чөврилир.

Мәгаләдә ишин кедиши вә биринчи дәфә синтез едилмиш арил-э-вәзли норборнанкарбон түршуларының хассәләри верилмишdir. Көс-тәрилмиш түршулар әсасында онларын калнум дузлары алыныш, суда һәлл олуулалары вә мұхтәлиф гатылығда су мәһлүлларының сәтни кәрилмәләри өфрәнилмишdir.

Алынан нәтичәләре көре мүәјжәнләшдирилмишdir. ки, бу дузлар емулгатор кими полиморизасия реаксијасында ишләдилә биләр.

S. D. Mekhtiev, M. R. Musaev, E. E. Gidarova

### Synthesis of arylsubstituted norbornanecarboxylic acids and their calcium salts

#### SUMMARY

The reaction of hydrolysis of arylsubstituted cyanonorbornane in acidic media with suantitative conversions of the last into the corresponding carboxylic acids is researched in the article. Calcium salts of arylsubstituted norbornanecarboxylic acids are obtained and characterized.

АЗЭРБАЙЧАН ССР ЕЛМЛӘР АКАДЕМИЈАСЫНЫН МӘРҮЗӘЛӘРИ

ДОКЛАДЫ АКАДЕМИИ НАУК АЗЕРБАЙДЖАНСКОЙ ССР

#### ТОМ XXVII

№ 11—12

1971

УДК 620. 1973. 651. 733

#### КОРРОЗИЯ

Член-корр. И. М. ОРУДЖЕВА, И. А. МАМЕДОВ, А. А. ВАГАБОВА,  
Т. А. ПЛАТОНОВА, Н. М. АГАЕВ, Р. Р. МИРЗОЕВА

### ПОЛУЧЕНИЕ И ИССЛЕДОВАНИЕ ИНГИБИРУЮЩИХ СВОЙСТВ НЕКОТОРЫХ АМИДОВ НАФТЕНОВЫХ КИСЛОТ

С целью предотвращения коррозии промышленного оборудования нефтедобывающей промышленности широкое применение приобретают органические азотсодержащие соединения, имеющие полярные амидо- и аминогруппы, молекулы которых способствуют химической связи с металлической поверхностью, возникающей на катодных и анодных участках.

К ним относятся "Диатееп—Т—Sunaptic [1], соль орто- или пирофосфорной кислоты и N-алкилдиаминоалканов [2], соль лауриновой кислоты и октадециламина [3], жирные амиды алифатических диаминов [4], производные иминодиуксусной кислоты [5] и др.

В связи с этим представляло интерес изучить свойства амидов нафтеновых кислот как ингибиторов коррозии применительно к условиям, имитирующему работу нефтяных скважин, выделяющих сероводород.

В качестве исходного продукта были взяты нафтеновые кислоты, содержащиеся в дизельных топливах, получаемых при переработке нефти бакинского месторождения.

Путем вакуумной перегонки широкая фракция нафтеновых кислот была подвергнута фракционированию. Физико-химические характеристики полученных фракций представлены в табл. 1.

Таблица 1

№ пп	Наименование	Пределы кипения, °C	$P$ , м.м рт. ст.	Мол. вес	$d_4^{20}$	$n_D^{20}$
1	Широкая фракция	—	—	198,9	0,9788	1,4818
2	1 фракция	125—140	0,09—0,07	155,1	0,9710	1,4746
3	2 фракция	140—153	0,07—0,13	183,7	0,9810	1,4768
4	3 фракция	154—163	0,13—0,16	185,9	0,9819	1,4806
5	4 фракция	163—172	0,16—0,20	212,0	0,9835	1,4828
6	5 фракция	172—175	0,50—0,16	220,4	0,9850	1,4850
7	Остаток от перегонки	Выше 175	—	245,4	0,9620	1,4884

Амиды нафтеновых кислот были получены в две стадии: получение хлорангидридов кислот[6] и их взаимодействия с различными аминами[7]

К нафтеновым кислотам, взятым в количестве 1 моля в растворе сухого бензола, добавлялось 0,4 моля треххлористого фосфора, также взятого в растворе сухого бензола. Реакция протекает при комнатной температуре. Затем температура реакционной смеси повышается до температуры кипения бензола, при которой перемешивание продолжается в течение трех часов. После охлаждения полученный хлорангидрид декантируется от фосфористой кислоты.

При взаимодействии образовавшегося хлорангидрида с некоторыми аминами (*n*-пропиламин, анилин, морфолин) были получены соответствующие амиды кислот. Исходный амин подавался в реакционную колбу при охлаждении. Затем температура повышалась до 75–80°С и смесь перемешивалась в течение 1<sup>ч</sup>, а последующие 2<sup>ч</sup>—при комнатной температуре. Реакция проводилась в среде сухого бензола при молярном соотношении реагирующих компонентов 1:1.

По окончании реакции конечный продукт отфильтровывался, промывался 10%-ным раствором  $\text{Na}_2\text{CO}_3$  и горячей водой до нейтральной реакции и высушивался над безводным  $\text{CaCl}_2$ .

Далее фильтрат подвергался перегонке при атмосферном давлении и под вакуумом для полного удаления растворителя и непрореагировавших продуктов.

Для полученных амидов был определен элементарный состав и физико-химические характеристики (табл. 2).

Таблица 2\*

№ образца	Формула соединений	$n_{\text{D}}^{20}$	Найдено, %		
			углерода	водорода	азота
1	$\text{RCON}-\text{C}_2\text{H}_5$	1,4967	71,66	11,20	4,90
2	$\text{RCON}-\text{C}_3\text{H}_7$	1,5003	74,61	11,36	4,58
3	$\text{RCON}-\text{C}_4\text{H}_9$	1,4832	70,37	11,68	5,06
4	$\text{RCON}-\text{C}_6\text{H}_5$	1,5400	77,63	9,83	4,26
5	$\text{RCON}-\text{C}_4\text{H}_8\text{O}$	1,5026	22,72	10,60	5,31

\* Примечание. В образцах № 1 и 5 для получения амидов была взята широкая фракция нафтеновых кислот, № 2—остаток от вакуумной перегонки, а № 3 и 4–2 и 5 фракции соответственно.

Полученные амиды испытывались в лабораторных условиях как ингибиторы коррозии стали марки СТ-3.

Защитный эффект полученных углеводородорастворимых амидов на основе нафтеновых кислот определялся в насыщенной сероводородом ( $\text{CH}_2 = 500 \text{ мг/л}$ ) двухфазной среде: нефть—3% раствор  $\text{NaCl}$  (объемное соотношение 35:350 мл).

Испытания проводились в закрытой системе при температуре 20–22°С при продолжительности опыта 5 ч; концентрация амидов рассчитывалась относительно нефтяной фазы.

Эффективность ингибитора изучалась гравиметрическим и электрохимическим методами, результаты которых представлены в табл. 3 и на рис. 1 и 2.

Как видно из данных таблицы, некоторые из амидов (образцы № 4 и 5) стимулируют скорость коррозии. Испытания, проведенные в присутствии ингибитора (образец № 3), показали, что это соединение в концентрации 200–500 мг/л проявляет слабый защитный эффект, а при 1000 мг/л является стимулятором коррозии. Очевидно, оптимальная концентрация для этого соединения находится в интервале 500–1000 мг/л.

Таблица 3

№ пп	Ингибиторы	Концентрация ингибитора, мг/л	Скорость коррозии, $\text{g/m}^2$	Эффективность ингибитора, %
1	Контрольный опыт	—	3,02	—
2	Образец 1	100	3,3	—
		200	0,98	67,5
		500	1,3	66,9
		1000	0,69	77,1
3	Образец 2	100	3,2	—
		200	3,8	—
		500	1,57	48,0
		1000	0,31	89,7
4	Образец 3	100	3,4	—
		200	2,4	20,5
		500	1,2	60,2
		1000	3,35	—
5	Образец 4	100	4,8	—
		200	4,0	—
		500	3,63	—
		1000	3,14	—
6	Образец 5	100	3,1	—
		200	3,9	—
		500	4,3	—
		1000	2,5	17,2

Наиболее высокий защитный эффект наблюдался для образца № 2 при концентрации 1000 мг/л ~ 90 %.

С целью выяснения влияния испытуемых соединений как ингибиторов на кинетику электродных процессов электротехнической коррозии стали СТ-3 в рассматриваемой коррозионной системе были сняты гальваниостатические поляризационные кривые, выражющие зависимость  $V=f(i)$ .

Испытания проводились в потоке водно-нефтяной смеси ( $V=1,0 \text{ м/сек}$ ) со стальными электродами, армированными в эпоксидную смолу, с рабочей поверхностью катода и анода, равной  $0,0192 \text{ дм}^2$ .

Для стабилизации величины начального потенциала электроды предварительно выдерживались в коррозионной среде в течение 40–60 мин, после чего приступали к поляризации, которая при каждой плотности поляризующего тока составляла 5 мин.

Результаты испытаний, проведенных для двух соединений (образцы 1 и 2), показавших наиболее высокие стабильные защитные свойства при концентрации 500 и 1000 мг/л, даны на рис. 1 и 2.

Анализ результатов контрольного опыта, проведенного в отсутствии ингибиторов (кривая 3–3), показывает активацию катодного и анод-

ного процессов, протекающих почти беспрепятственно с весьма незначительным анодным торможением, что объясняется малыми защитными свойствами сульфида железа, экранирующего поверхность металла.

Добавка ингибиторов (образцы 1 и 2) в выбранных концентрациях способствует снижению величины стационарного потенциала в сторону положительных значений и резкой катодной и анодной поляризации стали СТ-3 в исследуемой среде.

При добавке 500 мг/л ингибитора на кривую анодной поляризации стали СТ-3 оказывается всплеск, который ведет к снижению скорости коррозии в 10 раз.

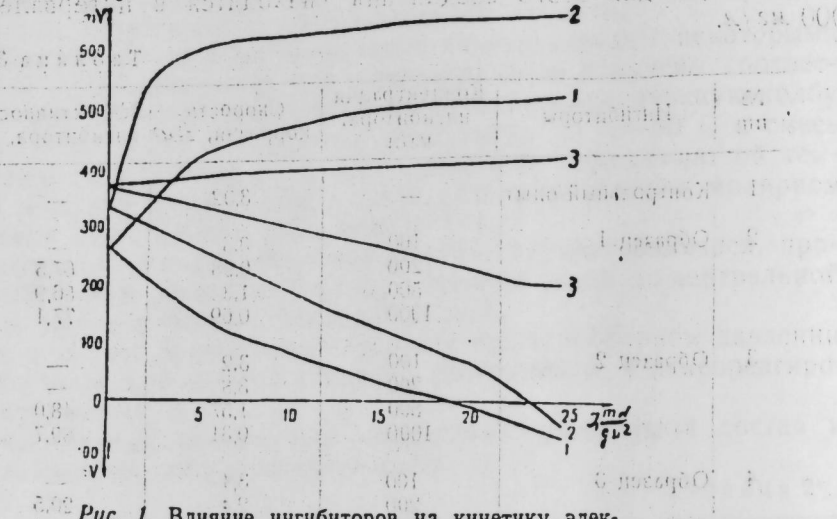


Рис. 1. Влияние ингибиторов на кинетику электродных процессов: 1—среда+ингибитор (обр. № 2)—500 мг/л; 2—среда+ингибитор (обр. № 1) 500 мг/л; 3—среда+б/н/гибитора.

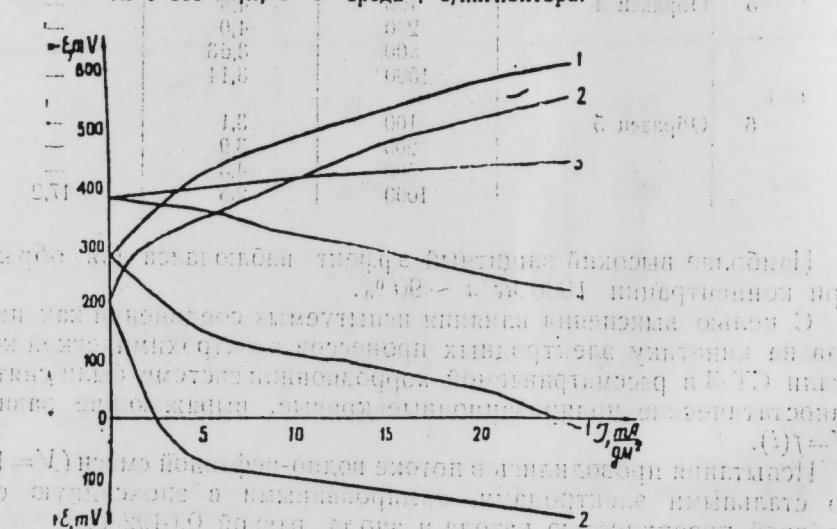


Рис. 2. Влияние ингибиторов на кинетику электродных процессов: 1—среда+ингибитор (обр. № 2) 1000 мг/л; 2—среда+ингибитор (обр. № 1) 1000 мг/л; 3—среда+б/н/гибитора.

Если для образца 2 (кривая 1—1) повышение концентрации от 0,5 до 1,0 г/л не сопровождается заметным изменением хода поляризационных кривых, то в случае образца 1 при концентрации его 1,0 г/л наблюдается сильная анодная поляризация (рис. 2 кривая 2—2).

Визуальные наблюдения за состоянием поверхности электродов после испытаний показали совершенно чистую, лишенную каких-либо следов коррозии, поверхность металла.

Наблюдаемое при концентрациях 500 и 1000 мг/л (образцы 1 и 2) резкое катодное и анодное торможение, судя по данным электрохимических показателей является следствием возникновения на поверхности катода и анода стойких к воздействию агрессивных ионов среды (HS<sup>-</sup>, Cl<sup>-</sup>) защитных адсорбционных пленок, препятствующих катодной деполяризации и анодному процессу ионизации металла.

Результаты предварительных испытаний полученных амидов показали, что наиболее высокий ингибиторный эффект наблюдается для соединений, образованных реакцией конденсации хлорангидридов с первичными жирными аминами, нежели с аминами ароматического основания.

Так, пропиламиды (образцы 1 и 2), введенные в коррозионную среду, уменьшают скорость коррозии стали СТ-3 от 3,02 до 0,31 г/м<sup>2</sup>ч, эффективность их достигает ~90%.

## Выводы

1. Реакцией взаимодействия нафтеновых кислот с треххлористым фосфором и дальнейшей конденсацией их с различными аминами (*n*-пропиламин, анилин, морфолин) были получены соответствующие амиды, которые изучены в качестве ингибиторов коррозии стали СТ-3 в насыщенной сероводородом двухфазной среде: нефть—3% раствор NaCl.

2. Установлен высокий ингибиторный эффект для амидов, полученных реакцией конденсации хлорангидридов широкой фракции нафтеновых кислот и остатка от вакуумной перегонки с *n*-пропиламином (образцы 1 и 2), в присутствии которых скорость коррозии уменьшается с 3,02 до 0,31 г/м<sup>2</sup>ч, ингибиторный эффект соответственно составляет ~90%.

## ЛИТЕРАТУРА

- W. F. Oxford, Jr. Пат. США 2 914 475, 24. XI 1959. Защита от коррозии черных металлов.
- Chenisek J. A. Пат. США 2 848 414, 19. VIII 1958. Ингибитор коррозии для нефтепродуктов.
- Fujii S. Японск. пат. 860, П. II. 1956. Ингибиторы коррозии металлов.
- John D. Spivack. Пат. США 3 230 173, 18. 1966.
- Spirack J. D., Kroll H. Пат. США 2 790 778, 30. IV 1957. Противокоррозионная смазка, содержащая амидокарбоновые кислоты.
- Синтезы органических препаратов, 2, ИЛ, 1949, стр. 547.
- Общий практикум по органической химии М., 1965, стр. 398.

Институт неорганической и физической химии

Поступило 27. IV 1970

И. М. Оручова, И. А. Мамедов, Н. Э. Вахабова, Т. А. Платонова, Н. М. Агаев,  
Р. Р. Мирзяева

## Нафтен туршуларынын бә'зи амидләринин алымасы вә ингибитор хассәләринин тәддиги

## ХУЛАСӘ

Мәгаләдә нафтен туршулары вә мүхтәлиф аминләр (*n*-пропиламин, анилин, морфолин) әсасында бә'зи амидләрин алымасы вә физики, кимјәви хассәләринин өjrәнилмәсіндән бәлс едилмишdir.

Алынан бирләшмәләrin икифазалы системдә һидрокен=сульфид

ишириакы илә тәдгиги заманы онларын йүксәк кејфијәтли ингибитор олдугу ашкар едилмишdir.

I. Orudzheva, I. A. Mamedov, A. A. Vagabova, T. A. Platonova, N. M. Agaev,  
R. R. Mirzoeva

## Production and Investigation of inhibiting properties of some naphthyl-amide acids

### SUMMARY

The method of production naphthyl — amide acids based upon interaction of naphthyl acids and phosphor trichloride, followed by condensation of forming chloranhydrides with mixed amines/ N-propylamine, aniline, morpholine/ has been described.

Naphthyl acids, contained in diesel fuels as a result of Baku oil—extraction, have been taken as an initial product.

The effect of suggested naphthyl-amide acids for the protection from corrosion ST—3 steel in diphasic—medium oil—3% NaCl solution, saturated sulphuretted hydrogen /500mg/l/.

These studies have been carried out by means of gravimetric and electrochemical methods.

The highest inhibiting effect for N-propylnaphthyl-amids, containing 90% has been found out.

АЗЭРБАЙЧАН ССР ЕЛМЛӘР АКАДЕМИЯСЫНЫН МӘРУЗӘЛӘРИ

ДОКЛАДЫ АКАДЕМИИ НАУК АЗЕРБАЙДЖАНСКОЙ ССР

ТОМ XXVII

№ 11—12

1971

УДК 547:541. 1

ХИМИЯ

М. М. ГУСЕЙНОВ, Д. Е. МИШИЕВ, А. А. МЕХРАЛИЕВ,  
В. Г. ДЖАФАРОВ, М. Т. АГАЕВ

## КОНДЕНСАЦИЯ АЛКЕНИЛАРОМАТИЧЕСКИХ УГЛЕВОДОРОДОВ ГЕКСАХЛОРЦИКЛОПЕНТАДИЕНОМ

(Представлено академиком АН Азербайджанской ССР М. А. Далиним)

### Конденсация монобутенил-, моноизопентенил- и монопентенилксилолов

Ранее нами была изучена конденсация 1-фенил-2-бутина с гексахлорцикlopентадиеном и показано, что в найденных оптимальных условиях реакции выход аддукта составляет 60 % от теоретического [1]. Продолжая работу в этом направлении, определенным теоретическим интересом представляло изучение диенофильной активности синтезированных монобутенил-, моноизопентенил- и пентенилзамещенных ксилюлов [2, 3], что позволило бы выявить влияние числа, положения метильных радикалов и природу алкенильного радикала на относительную реакционную способность указанных ароматических углеводородов. Учитывая, что нами ранее экспериментально доказано и теоретически обосновано, что м-ксиол более реакционноспособен, чем другие изомеры, первый цикл опытов проведен по конденсации 1-(м-ксиол)-2-бутина с гексахлорцикlopентадиеном.

Результаты проведенных опытов по влиянию различных параметров на конденсацию 1-(м-ксиол)-2-бутина с гексахлорцикlopентадиеном приводятся в табл. 1.

Как видно из данных табл. 1, повышение температуры реакции от 80 до 150°C способствует взаимодействию 1-(м-ксиол)-2-бутина с гексахлорцикlopентадиеном и при этом выход аддукта доходит до максимума (37%).

Дальнейшее повышение температуры до 200°C почти не влияет на выход аддукта. Поэтому целесообразно считать оптимальной температурой взаимодействие 1-(м-ксиол)-2-бутина с гексахлорцикlopентадиеном 150°. Что же касается влияния молярного соотношения реагирующих компонентов, то как видно из данных таблицы, при молярном соотношении 1-(м-ксиол)-2-бутина к гексахлорцикlopентадиену 3:1, выход аддукта составляет 29,2%.

Увеличение молярного соотношения реагирующих компонентов до 7:1 дает почти аналогичные результаты, как при молярном соот-

ношении 1-(*m*-ксилил)-2-бутена с гексахлорциклогептадиеном 5:1. Следовательно, лучшие выходы аддукта наблюдаются при молярном соотношении 1-(*m*-ксилил)-2-бутена к гексахлорциклогептадиену 5:1.

Таблица 1

Условия реакции	Мол. соотн. 1-( <i>m</i> -ксилил)-2-бутен: ГХЦП	T, °C.	Фракционный состав, вес. %						Выход от теории, %	
			Продолж. опыта, ч	1-( <i>m</i> -ксилил)-2-бутен	Промеж. фр.	ГХЦП	Промеж. фр.	Аддукт	Остаток	
5:1	80	6	69,1	2,7	23,3	—	—	2,7	2,2	—
.	100	•	67,3	1,2	22,9	0,5	1,2	4,2	2,0	3,4
.	125	•	65,7	1,2	19,3	0,7	8,0	3,3	1,8	20,0
.	150	•	63,2	1,0	14,0	1,8	15,0	2,9	2,1	37,0
.	200	•	62,9	1,2	13,4	0,9	15,4	5,0	1,3	38,2
3:1	150	6	54,1	1,2	14,9	1,1	16,9	10,1	1,7	29,2
7:1			85,2	0,7	8,6	0,8	11,8	2,0	0,9	38,0
5:1	150	3	66,3	0,9	17,7	1,2	10,2	2,4	1,3	25,4
5:1	12	63,7	1,0	13,6	1,2	14,3	5,2	1,0	37,7	37,7

### МОНОИЗОПЕНТЕНИЛЧОЛХЛОРИДЫ

В процессе проведенных опытов найдено, что максимальный выход целевого продукта образуется при продолжительности опыта 6 ч. Далее было проведено исследование конденсации 1-(*o*-ксилил)-2-бутена, 1-(*n*-ксилил)-2-бутена, 1-(*m*-ксилил)-2-изопентенила, 1-(*o*-ксилил)-2-изопентенила и 1-(*n*-ксилил)-2-изопентенила с гексахлорциклогептадиеном.

Таблица 2

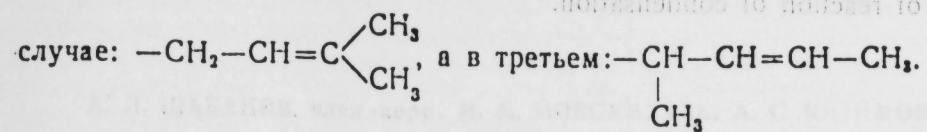
Выход и характеристика синтезированных аддуктов		Выход от теории, %	T, кип., при 20°	Изомеризация при 150°	Изомеризация при 200°
Синтезированные аддукты	Химический состав				
1,2,3,4,7,7'-гексахлорбицикло (2,2,1)-2-гептенил-5-метил-6-(1,3-диметил)-бензил	1,2,3,4,7,7'-гексахлорбицикло (2,2,1)-2-гептенил-5-метил-6-(1,3-диметил)-бензил	37	213—216	1,5732	1,5732
1,2,3,4,7,7'-гексахлорбицикло (2,2,1)-2-гептенил-5-метил-6-(1,2-диметил)-бензил	1,2,3,4,7,7'-гексахлорбицикло (2,2,1)-2-гептенил-5-метил-6-(1,2-диметил)-бензил	34,2	216—218	1,5768	1,5768
1,2,3,4,7,7'-гексахлорбицикло (2,2,1)-2-гептенил-5-метил-6-(1-диметил)-бензил	1,2,3,4,7,7'-гексахлорбицикло (2,2,1)-2-гептенил-5-метил-6-(1-диметил)-бензил	27,6	212—215	1,5740	1,5740
1,2,3,4,7,7'-гексахлорбицикло (2,2,1)-2-гептенил-5,5-диметил-6-(1,3-диметил) бензил	1,2,3,4,7,7'-гексахлорбицикло (2,2,1)-2-гептенил-5,5-диметил-6-(1,3-диметил) бензил	31,7	217—220	1,5801	1,5801
1,2,3,4,7,7'-гексахлорбицикло (2,2,1)-2-гептенил-5,5-диметил-6-(1,2-диметил)-бензила	1,2,3,4,7,7'-гексахлорбицикло (2,2,1)-2-гептенил-5,5-диметил-6-(1,2-диметил)-бензила	29,1	219—223	1,5841	1,5841
1,2,3,4,7,7'-гексахлорбицикло-(2,2,1)-2-гептенил-5,5-диметил-6-(1,3-диметил)-бензил	1,2,3,4,7,7'-гексахлорбицикло-(2,2,1)-2-гептенил-5,5-диметил-6-(1,3-диметил)-бензил	24,3	216—219	1,5810	1,5810
[1-метил-1-( <i>m</i> -ксилил)-1-[1,2,3,4,7,7'-гексахлорбицикло (2,2,1)-2-гептенил-5-метил]-метан]	[1-метил-1-( <i>m</i> -ксилил)-1-[1,2,3,4,7,7'-гексахлорбицикло (2,2,1)-2-гептенил-5-метил]-метан]	28,3	215—217	1,5707	1,5707
[1-метил-1-( <i>o</i> -ксилил)-1-(1,2,3,4,7,7'-гексахлорбицикло (2,2,1)-2-гептенил-5-метил]-метан]	[1-метил-1-( <i>o</i> -ксилил)-1-(1,2,3,4,7,7'-гексахлорбицикло (2,2,1)-2-гептенил-5-метил]-метан]	25,4	218—220	1,5743	1,5743
[1-метил-1-( <i>n</i> -ксилил)-1-(1,2,3,4,7,7'-гексахлорбицикло (2,2,1)-2-гептенил-5-метил]-метан]	[1-метил-1-( <i>n</i> -ксилил)-1-(1,2,3,4,7,7'-гексахлорбицикло (2,2,1)-2-гептенил-5-метил]-метан]	19,2	214—217	1,5218	1,5218

Результаты элементарного анализа и молекулярный вес полученных аддуктов соответствуют вычисленному.

2-изопентенила, 1-(*n*-ксилил)-2-изопентенила, 1-(*m*-ксилил)-2-пентенила, 1-(*o*-ксилил)-2-пентенила и 1-(*n*-ксилил)-2-пентенила с гексахлорциклогептадиеном в найденных оптимальных условиях.

Выходы и физико-химические константы синтезированных аддуктов приводятся в табл. 2.

Результаты проведенных исследований показали, что при конденсации алкенилзамещенных ксиолов с гексахлорциклогептадиеном относительная диенофильная активность указанных ароматических углеводородов изменяется в следующей последовательности: алкенил-*m*-ксиол > алкенил-*o*-ксиол > алкенил-*n*-ксиол, где в первом случае: алкенильный радикал: —CH<sub>2</sub>—CH=CH—CH<sub>3</sub>, во втором



Также нами установлено, что из указанных алкенилароматических углеводородов бутенилзамещенные ксиоловы с гексахлорциклогептадиеном конденсируются лучше, чем пентенилзамещенные ксиоловы.

### Выводы

1. Изучена конденсация монобутенил-, моноизопентенил- и моно-пентенилзамещенных ксиоловов с гексахлорциклогептадиеном.

2. Синтезировано и охарактеризовано девять новых соединений не описанных в литературе.

3. Установлен ряд закономерностей о влиянии числа, положении метильных радикалов и строения алкенильного радикала на степень конденсации ароматических углеводородов с гексахлорциклогептадиеном.

### ЛИТЕРАТУРА

1. Мамедалиев Ю. Г., Гусейнов М. М., Мишиев Д. Е., Петросян П. А., Мехралис А. А. ДАН Азерб. ССР, 18, 9, 15, 1962.
2. Мамедалиев Ю. Г., Гусейнов М. М., Мишиев Д. Е., Петросян П. А. Азерб. хим. жур., 2, 19, 1964.
3. Гусейнов М. М., Мишиев Д. Е., Петросян П. А. Азерб. хим. жур., №, 1971.

Сумг. филиал ИНХП

Поступило 7. V 1970

М. М. Һүсейнов, Д. І. Мишиев, А. А. Мехралис, В. Г. Әфәров, М. Т. Агаев

### Алкенилароматик карбоидрокенләрниң һексахлортциклопентадиенлә конденсләшмәсі

### ХУЛАСӘ

Мәгаләдә монобутенил-, моноизопентенил-вә моно-пентенилксилолларының һексахлортциклопентадиенлә конденсләшмәсі үчүн оптималь шәрәнтиң өјрәнүлмәсіндән бәләс едилмишdir. Һәмчинин метил радикалларының вәзијјәттинин вә алкенил радикалының тәбиәттинин конденсләшмә реаксијасына тә'сирі һагында мүәјјән ганунауғыннуга вәрилмишdir.

Беләликлә, әдәбијатда мә'лум олмајан дөггүз аддукт синтез единиб, физики-химиялық сабитләрк өјрәнүлмисидир.

M. M. Huseinov, D. I. Mishiev, A. A. Mechraliev  
W. G. Dzhafarov, M. A. Agajev

## Condensation of alkenilaromatic carbohydrogens with hexachlorocyclopentadiene

### SUMMARY

This paper is devoted to reaction condensation of the monobutenil—monoisopentenil—and monopentenilxylenes with hexachlorocycl open-tadiene.

It was established the influence of position of the radicals on velocity of reaction of condensation.

АЗЭРБАЙЖАН ССР ЕЛМЛЭР АКАДЕМИЯСЫНЫН МЭРҮЗЭЛЭРИ

ДОКЛАДЫ АКАДЕМИИ НАУК АЗЕРБАЙДЖАНСКОЙ ССР

Том XXVII

№ 11—12

1971

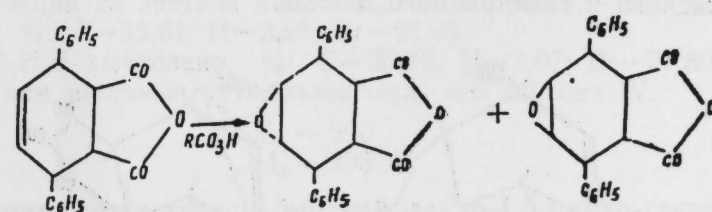
УДК 541.63,542.955.1:661.73

ОРГАНИЧЕСКАЯ ХИМИЯ

А. Л. ШАБАНОВ, член.-корр. М. М. МОВСУМЗАДЕ, А. С. КЯЗИМОВ

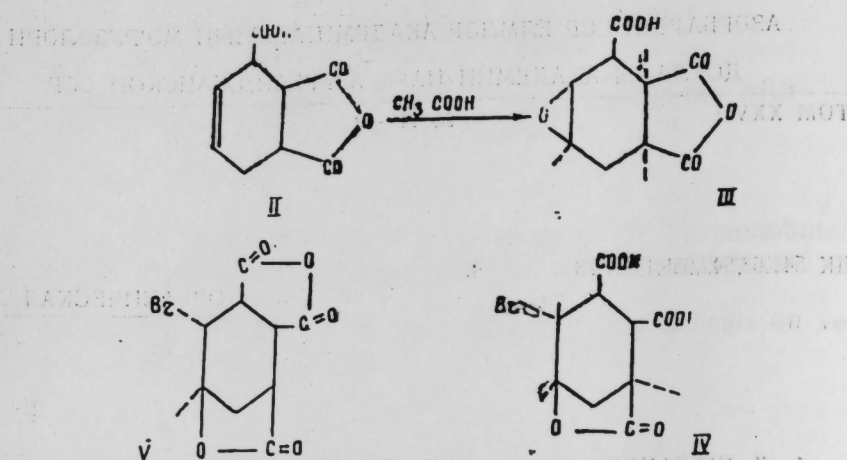
## СТЕРЕОХИМИЯ ЭПОКСИДИРОВАНИЯ 1-2 АНГИДРИД- $\Delta^4$ -ЦИКЛОГЕКСЕН-ЦИС, ЦИС-1, 2, 3-ТРИКАРБОНОВОЙ КИСЛОТЫ

Как известно эпоксидирование ангидридов  $\Delta^4$ -циклогексенкарбоновых кислот не всегда протекает стереоспецифично [1, 2, 3]. Так, например, отсутствие стереонаправленности при эпоксидировании ангидрида цис-3,6-дифенил- $\Delta^4$ -циклогексен-1,2-дикарбоновой кислоты (I), объяснялось стерическими факторами. Эпоксидирование в этом случае проводилось в различных растворителях, что не влияло, однако, на выход продуктов окисления, и доказывало тем самым отсутствие влияния полярных эффектов в данном случае [3].



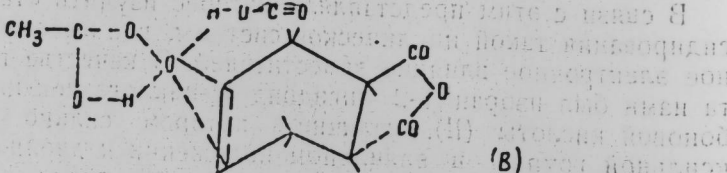
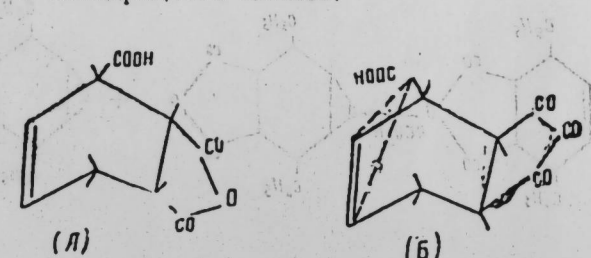
В связи с этим представляло интерес изучить стереохимию эпоксидирования такой циклической системы, где имеется ярко выраженное электронное влияние заместителей. В качестве подобного объекта нами был избран 1-2 ангидрид  $\Delta^4$ -циклогексен-цис-1, 2, 3-трикарбоновой кислоты (II), наличие в котором сильно полярной карбоксильной группы в аллильном положении к двойной связи, должно сказываться на пространственной направленности реакции эпоксидирования. Оказалось, что при окислении ангидрида (II) надуксусной кислотой с хорошим выходом образуется только один эпоксид (III), конфигурация которого была доказана при изучении его химических превращений.

При действии на него бромистого водорода была получена бром-



$\gamma$ -лактодикарбоновая кислота (IV), давшая при обработке хлористым ацетилом соответствующий бромо- $\gamma$ -лактоангидрид (V). Строение последних подтверждалось данным анализа и ИК-спектров.

Описанные превращения указывают на то, что в лактонизации участвует карбоксильная группа при  $C_1$ , а атом брома в полученной бромо- $\gamma$ -лактокислоте (IV) находится в транс-положении в цис-карбоксильных группах при  $C_2$  и  $C_3$ . В соответствии с известными закономерностями транс-раскрытия окисного цикла, все эти превращения могут иметь место только в том случае, если в исходном эпоксиде (III) имеется цис-расположение окисного и ангидридного циклов. Как следует из молекулярных моделей, в случае конформации (A) реакция окисления должна была бы протекать нестереоспецифично. С другой стороны, если бы в этом ангидриде стабилизация менее выгодной конформации (B) происходила только за счет электронного взаимодействия аксиальной карбоксильной группы с двойной связью цикла, то вероятнее всего получался бы эпимер с транс-расположением окисного и ангидридного циклов.



Поэтому факт образования в этом случае эпоксида (III) с цис-расположением окисного и ангидридного циклов, следует объяснить, по-видимому, тем, что в такой циклической системе окисление надускусной кислотой осуществляется через какое-то переходное состоя-

ние, например, типа (B), в котором стабилизация конформации (B) происходит за счет одновременного участия в реакции аксиальной карбоксильной группы и молекулы надускусной кислоты.

## ЭКСПЕРИМЕНТАЛЬНАЯ ЧАСТЬ

1. Окисление 1,2-ангидридов  $\Delta^4$ -циклогексен-цикло-, цис-1,2,3-трикарбоновой кислоты II. К суспензии 5 г 1-2 ангидрид  $\Delta^4$ -циклогексен-цикло-, цис-1,2,3-трикарбоновой кислоты, полученной диеновой конденсацией бутадиенкарбоновой кислоты с малениновым ангидридом, добавлялось 250 мл хлороформа при охлаждении до  $-15^\circ\text{C}$ , перемешивали по каплям 13 г 85% надускусной кислоты в течение 2 ч. После прибавления всего количества кислоты смесь перемешивалась еще в течение 3 ч, при постепенном повышении за это время температуры до комнатной. Затем реакционная смесь промывалась 10%-ным раствором углекислого натрия, несколько раз сушилась 10–12 ч над безводным сернокислым натрием. После отгонки растворителя вакуумной перегонкой была выделена окись 1–2 ангидрида  $\Delta^4$ -циклогексен-цикло-, цис-1,2,3-трикарбоновой кислоты. Выход—55%.

Найдено, %: C—50,81; H—3,53

Для  $\text{C}_9\text{H}_8\text{O}_6$  вычислено, %: C—50,94; H—3,77

Титрованием щелочью найден молекулярный вес

$$M_a = 210 \\ M_b = 212$$

2. Гидробромирование окиси 1–2 ангидрида  $\Delta^4$ -циклогексен-цикло-, цис-1,2,3-трикарбоновой кислоты III.

Через 5 г окиси III в 100 мл четыреххлористого углерода пропускали газообразный бромистый водород. Реакция идет с нагреванием. По окончании реакции смесь промывалась водой. При стоянии из раствора выпали белые кристаллы лактона IV, которые после перекристаллизации из ацетона имели  $T_{\text{пл.}} 195^\circ\text{C}$ . Выход—60,5%.

Найдено, %: C—36,61; H—2,98; Br—26,65.

Для  $\text{C}_9\text{O}_6\text{H}_9\text{Br}$  вычислено, %: C—36,85; H—3,07; Br—27,30.

Титрованием щелочью установлен мол. вес лактона IV.

$$M_a = 290 \\ M_b = 293$$

3. Ангидридиазия транс-4,5-бромо- $\gamma$ -лакто-1,5-цикло-гексан-цикло-, 2,3-дикарбоновой кислоты IV.

4 г лактона IV нагреваются с хлористым ацетилом до растворения кристаллов. Избыток хлористого ацетила отгоняется и остаток перекристаллизовывается из эфира. Получен бромо- $\gamma$ -лактоангидрид с  $T_{\text{пл.}}$   $214^\circ$  (с разлож.). Выход—60%.

Найдено, %: C—39,11; H—2,67; Br—28,71.

Для  $\text{C}_9\text{H}_7\text{O}_5\text{Br}$  вычислено, %: C—39,27; H—2,54; Br—29,09.

## Выводы

1. В результате окисления 1–2 ангидрида- $\Delta^4$ -циклогексен-цикло-, цис-1,2,3-трикарбоновой кислоты установлено, что реакция протекает стереоспецифично, благодаря образованию водородной связи между карбоксильной группой ангидрида и электрофильным кислородом надускусной кислоты в промежуточном комплексе.

## ЛІТЕРАТУРА

1. Кучеров В. Ф. и др. *Изв. АН СССР*, ОХН, № 4, 1966. 2. Онищенко А. С., Шабанов А. Л., Кучеров В. Ф. *Изв. АН СССР*, ОХН, № 1, 127, 1967. 3. Мовсумзаде М. М., Казимов А. С., Шабанов А. Л., Агаев Ф. Х. *Азерб. хим. журн.*, № 5, 1968.

АзИНХ им. Азизбекова

Поступило 7. V 1970.

А. Л. Шабанов, М. М. Мовсумзаде, А. С. Казимов

### 1—2 аніидрид $\Delta^4$ -тіклоіексен-сіс, сіс-1, 2, 3-трикарбон туршусунун епоксидләшмә стереохимјасы

ХУЛАСЭ

Тәдгигат заманы 1—2 аніидрид  $\Delta^4$ -тіклоіексен-сіс, сіс-1, 2, 3-трикарбон туршусунун оксидләшмәсindәn айынлашдырылышыры ки, реаксија стереоспецифик олараг кедир. Буна сәбәб аніидридин карбоксил группу илә персиркә туршусунун електрофил оксикени арасында һидрокен рабитәсинин әмәлә кәлмәсидир.

A. Z. Shabanov, M. M. Movsumzade, A. S. Khyazimov

### Stereochemistry epoxidation of anhydride $\Delta^4$ -cyclohexene cis, cis-1, 2, 3-tricarbon acid

#### SUMMARY

It has been investigated the epoxidation of anhydride  $\Delta^4$ -cyclohexene cis, cis-1,2,3-carbon acid.

It is shown that in this case received cis-epoxylanhydride.

АЗЭРБАЙЧАН ССР ЕЛМЛӘР АКАДЕМИЈАСЫНЫН МӘРҮЗӘЛӘРИ

ДОКЛАДЫ АКАДЕМИИ НАУК АЗЕРБАЙДЖАНСКОЙ ССР

ТОМ XXVII

№ 11—12

1971

УДК—553. 449

## ЛИТОЛОГИЯ

Академик А. Д. СУЛТАНОВ, д. д. МАЗАНОВ, т. м. САРАДЖАЛИНСКАЯ

### НЕКОТОРЫЕ ОСОБЕННОСТИ РАСПРОСТРАНЕНИЯ РТУТИ В ДОННЫХ ОСАДКАХ ЮЖНОЙ ЧАСТИ КАСПИЙСКОГО МОРЯ

Геохимические особенности ртути в гидросфере в коренных породах, а также в рыхлых отложениях подробно освещены в работах А. П. Виноградова (1950), В. И. Вернадского (1955, 1959), А. Е. Ферсмана (1932), Саукова (1946), Н. А. Озеровой (1962) и др.

В изученных нами донных отложениях было обнаружено присутствие большого количества химических элементов.

В данной статье нами приводятся результаты распространения ртути в современных отложениях Южного Каспия. Не останавливаясь на описании строения дна Южно-Каспийской впадины, исчерпывающие сведения о которой содержатся в работе В. Ф. Соловьева, Л. С. Кулаковой, Л. И. Лебедева и Е. Г. Маева (1963), перейдем к изложению результатов наших исследований. В основу исследований легли керновые материалы, отобранные из разных скважин, которые были нам представлены трестом "Азморнефтеразведка". Также были использованы образцы современных осадков из центральной части Южно-Каспийской впадины, любезно предложенные Л. Е. Кулаковой.

Взятые нами образцы из отдельных станций были анализированы по спектральной полуколичественной методике в спектральной лаборатории Геологического Управления СМ Азерб. ССР Агаевой и Джарфаровой на приборе ИСП-28 с чувствительностью  $1 \times 10^{-5}$ .

В отложениях бакинского горизонта образцы брались с глубин 5—300 м, в хвалынском, верхнехвалынском, послехвалынском, новокаспийском горизонтах 1—15 м. Гранулометрический состав характеризуется большим количеством глинистой фракции с примесью алевритового и песчаного материала. Глинистая фракция представлена в основном минералами из группы гидрослюд, монтмориллонита и в небольшом количестве каолинитом.

В распределении ртути в отложениях антропогена наблюдается определенная закономерность. Ртуть обнаружена на всех участках исследованного поля. Следует отметить повышенное содержание ее в изученных отложениях. Значительно обогащены ртутью осадки бакинского горизонта, составляющие  $8 \times 10^{-4} \%$ , которые выше величин

кларка (кларк ртути по А. П. Виноградову, 1962) составляют  $4 \times 10^{-6}\%$ . Такое повышенное содержание в исследуемых отложениях говорит о возможной приуроченности ее к участкам некоторых продольных и поперечных тектонических нарушений и к глинистым породам, литологически благоприятным для накопления ртути. Тем более известно, что ложе Каспийского моря представляет собою сложное гетерогенное образование со сложными структурными элементами, способствующие накоплению ртути. Впервые приуроченность ртути к дислокационным нарушениям была показана А. А. Сауковым (1946). Н. А. Озеровой (1960) отмечает, что по повышенным содержаниям ртути можно прослеживать разломы, расположенные и за пределами рудных полей".

Повышенный процент ртути в изученных отложениях можно также связать с действием грязевого вулканизма, где происходят наиболее интенсивные обменные реакции между растворами и имеющими породами, а также тем, что подавляющая масса атомов ртути была сорбирована глинистыми породами. Известно, что на территории Вакинского архипелага происходил частые вулканические извержения. В частности, некоторые из них приурочены к островам Булла, Глиняный, Лось, Свиной, Обливной, К. Игнатия, б. Павлова, б. Кумани и др., и остальные располагаются под водой или же вследствие понижения уровня моря обнажаются. М. А. Карасик, В. И. Морозов (1966) в результате геохимических исследований на Керченском и Таманском полуостровах обнаружили высокие концентрации ртути в сопочных брекчиях. Они пишут: "Рассматривая распространение ртути в сопочных брекчиях... Керченского и Таманского полуостровов можно заметить приуроченность наиболее высоких ее концентраций к относительно более интенсивно действующим в настоящее время вулканам... Значительно меньшим содержанием ртути характеризуются сопочные брекчии погруженных и слабодействующих вулканов". Но, к сожалению, у нас нет геохимических данных по сопочному материалу грязевых вулканов исследованной области.

В осадках хвалынского возраста содержание ртути ( $2 \times 10^{-6}$ — $3 \times 10^{-6}\%$ ) также повышено, что превышает кларковое значение. В глинистых отложениях верхнехвалынского и послехвалынского горизонтов содержание ртути находится в пределах кларка. При переходе к осадкам следующего горизонта, т. е. новокаспийскому наблюдается постепенное повышение ртути до  $4 \times 10^{-6}\%$ .

Следует отметить незначительное содержание ртути в гидросфере. Впервые количественное определение ртути в водах было опубликовано в 1934 г. А. Штоком, содержание ее было в пределах  $n \times 10^{-7}$ — $m \times 10^{-6}\text{ г/л}$ .

К. А. Сауков, сравнивая содержание ртути в породах и в воде (рутуть в водах морей составляет  $1 \times 10^{-7}\%$ ) находит большой дефицит ее в гидросфере и приходит к выводу, что ртути в породах в 1000 раз больше, чем в гидросфере (1966). Н. Х. Айдицян (1962) определяет среднее содержание ртути в воде Черного моря, составляющее  $1 \times 10^{-7}\text{ г/л}$ .

В таблице дано среднее содержание ртути, пирита,  $\text{CaCO}_3$  и  $\text{C}_{\text{opr}}$  в исследуемых отложениях. Данные по  $\text{C}_{\text{opr}}$  заимствованы у Н. В. Пашалии (1964) и А. А. Али-заде, Э. И. Алиханова, П. А. Шохет (1967).

Для выявления характера распределения  $\text{Hg}$ , пирита,  $\text{CaCO}_3$  и  $\text{C}_{\text{opr}}$  в осадках данных горизонтов был составлен график (рис. 1). Рассмотрение кривых распределения перечисленных компонентов показывает, что с увеличением содержания пирита, барита,  $\text{C}_{\text{opr}}$  увеличивается содержание ртути, что хорошо согласуется с представлени-

Возраст	Hg		Карбонатность, %	Пирит, %	Барит, %	$\text{C}_{\text{opr}}, \%$
	Пределы колебаний (кол. обр.)	Среднее значение				
Вакинский горизонт	(3) $1,4 \times 10^{-4}$ $8 \times 10^{-4}$	$4,8 \times 10^{-4}$	8,2	13,4	2,8	0,76
Хвалынский горизонт	(3) $2 \times 10^{-4}$ $3 \times 10^{-4}$	$2,3 \times 10^{-4}$	6,6	28,7	2,8	0,76
Верхнехвалынский горизонт	(6) $2 \times 10^{-5}$ $5 \times 10^{-5}$	$3,1 \times 10^{-5}$	16,2	11,8	Ед. з.	0,71
Послехвалынская регрессия	(16) $2 \times 10^{-5}$ $1 \times 10^{-4}$	$6,5 \times 10^{-6}$	19,4	7,0	0,5	
Новокаспийская регрессия	(42) $2 \times 10^{-6}$ $4 \times 10^{-4}$	$1 \times 10^{-4}$	21,7	47,6	2,6	0,87

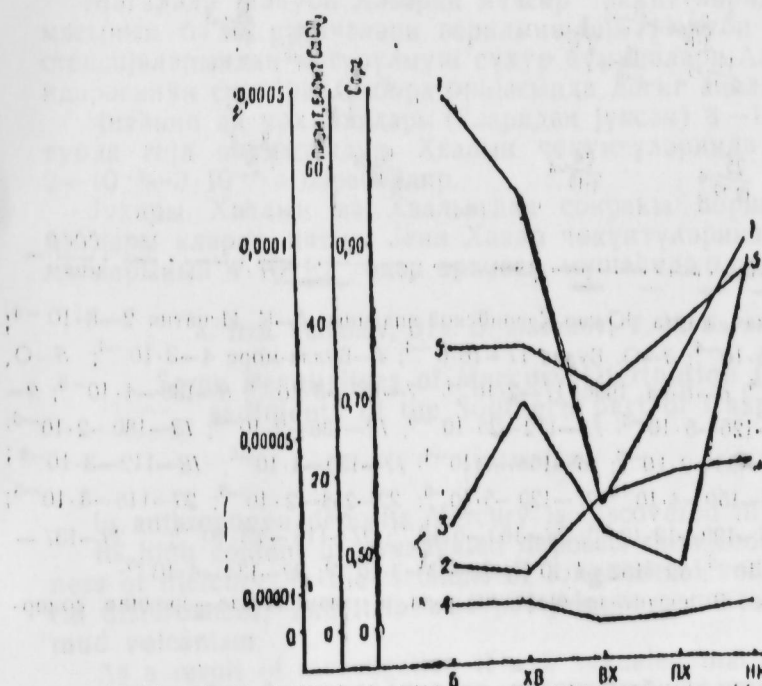


Рис. 1. График изменения содержания  $\text{HgCaCO}_3$ , пирита, барита и  $\text{C}_{\text{opr}}$  в отложениях четвертичного возраста Южно-Каспийской впадины: 1— $\text{Hg}$ ; 2—карбонатность; 3—пирит; 4—барит; 5— $\text{C}_{\text{opr}}$ .

ями А. А. Саукова и Н. А. Озеровой. На связь ртути с сульфидами, в частности с пиритом имеется указание в литературе (А. А. Сауков, Н. А. Озерова, 1965). Авторы отмечают: "Ртуть повышена в сульфидах осадочного генезиса: галенитах, сфalerитах, пиритах и др. В

пиритовой конкреции из угленосной толщи Восточного Донбасса ртуть установлена в количестве  $(1-2) \times 10^{-4}$ .

Только в отложениях бакинского горизонта между содержанием пирита и ртути наблюдается обратная картина, что, по всей вероятности, объясняется окислением пирита в последующие этапы преобразования пород, которые при микроскопическом исследовании принимались за гидроокислы железа.

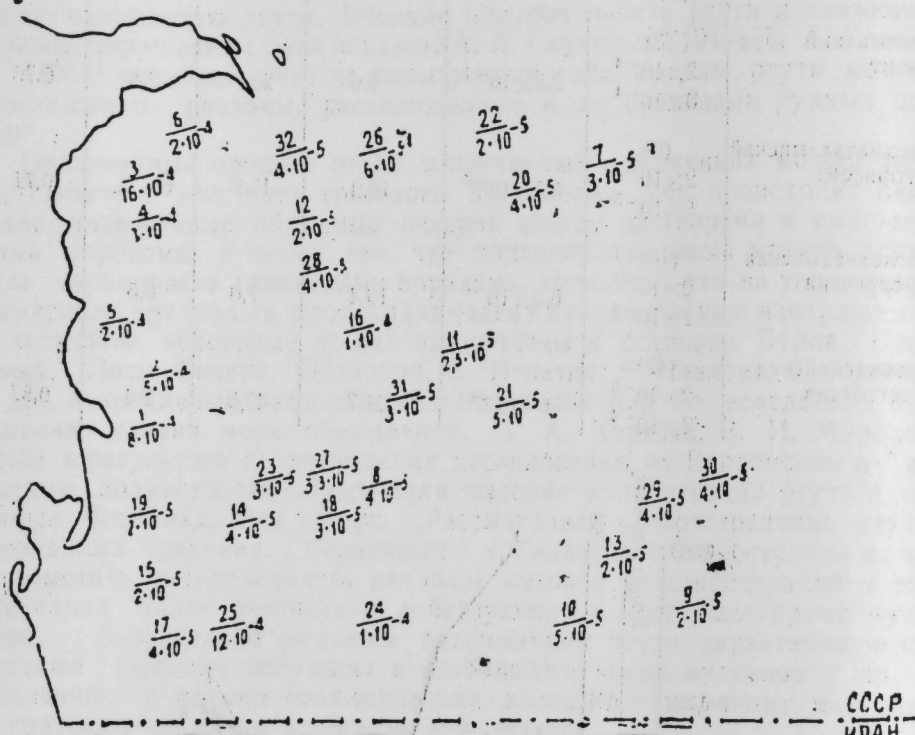


рис. 2. Схематическая карта Южно-Каспийской впадины: 1—К. Игнатия  $2-8 \cdot 10^{-4}$ ; 2—К. Игнатия  $87-5 \cdot 10^{-4}$ ; 3—О. Булла  $17-16 \cdot 10^{-4}$ ; 4—Булла-море  $4-3 \cdot 10^{-4}$ ; 5—О. Обливной  $19-2 \cdot 10^{-4}$ ; 6—Б-ка 1906, 17— $2 \cdot 10^{-4}$ ; 7—157— $3 \cdot 10^{-4}$ ; 8—138— $4 \cdot 10^{-5}$ ; 9— $125-2 \cdot 10^{-5}$ ; 10— $126-5 \cdot 10^{-5}$ ; 11— $172-25 \cdot 10^{-5}$ ; 12— $136-2 \cdot 10^{-5}$ ; 13— $180-2 \cdot 10^{-5}$ ; 14— $105-4 \cdot 10^{-5}$ ; 15— $93-2 \cdot 10^{-5}$ ; 16— $168-1 \cdot 10^{-4}$ ; 17— $130-4 \cdot 10^{-5}$ ; 18— $112-3 \cdot 10^{-5}$ ; 19— $113-2 \cdot 10^{-5}$ ; 20— $159-4 \cdot 10^{-5}$ ; 21— $120-5 \cdot 10^{-5}$ ; 22— $253-2 \cdot 10^{-5}$ ; 23— $115-3 \cdot 10^{-5}$ ; 24— $127-1 \cdot 10^{-4}$ ; 25— $129-12 \cdot 10^{-4}$ ; 26— $160-6 \cdot 10^{-5}$ ; 27— $116-3,3 \cdot 10^{-5}$ ; 28— $137-4 \cdot 10^{-5}$ ; 29— $148-4 \cdot 10^{-5}$ ; 30— $152-4 \cdot 10^{-5}$ ; 31— $33-3 \cdot 10^{-5}$ ; 32— $134-4 \cdot 10^{-5}$ .

Примечание. В числителе—название р-на, в знаменателе—среднее содержание Hg.

Что же касается карбонатности, то определенной корреляции между  $\text{CaCO}_3$  и Hg не наблюдается. В осадках бакинского горизонта и новокаспийской регрессии с повышением карбонатности повышается содержание ртути, а в остальных горизонтах эта закономерность нарушена.

#### ЛИТЕРАТУРА

1. Али-заде А. А., Алиханов Э. Н., Шойхет П. А. Исследование условий преобразования органического вещества в современных осадках Южного Каспия. Изд. «Недра», М., 1967. 2. Айдинян И. Х. Содержание ртути в некоторых природ-

ных водах. «Вопросы геохимии», 3, Изд. АН СССР, М., 1962. 3. Виноградов А. П. Геохимия редких и рассеянных химических элементов в почвах. Изд. АН СССР, 1950. 4. Виноградов А. П. «Геохимия», 1962. 5. Вернадский В. И. Избранные сочинения, т. 2, 3, 4 Изд. АН СССР, М., 1955, 1959. 6. Карасик М. А., Морозов В. И. Особенности распространения ртути в продуктах грязевого вулканизма Керченско-Таманской провинции. «Геохимия». Изд. «Наука», 1966. 7. Озерова Н. А. Первичные ореолы рассеяния ртути. «Вопросы геохимии», IV, 1962. 8. Озерова Н. А. О повышенных содержаниях ртути в зонах разломов некоторых сульфидных месторождений. Геология рудных месторождений, № 3, М., 1960. 9. Пашалы Н. В. Литология четвертичных отложений Восточного Азербайджана. Изд. АН Азерб. ССР, Баку, 1964. 10. Сауков А. А. «Геохимия», 1966. 11. Сауков А. А. «Геохимия ртути». Изд. АН СССР, 1946. 12. А. А. Сауков, И. А. Озерова. «Ртуть». Металлы в осадочных породах. Изд-во «Наука». 1965. 13. Соловьев В. Ф., Кулакова Л. С., Лебедев Л. И., Маев Е. Г. Современные осадки и геологическое строение дна Каспийского моря в связи с нефтегазоносностью, т. 2, М., 1963. 14. Ферсман А. Е. Редкие элементы в свете современной науки. Редкие металлы, 1932, М. № 4—5.

Институт геологии

Поступило 16. XI 1971

Э. Ч. Султанов, Ч. Ч. Мазанов, Т. М. Сарачалинскаја

Чәнуби Хәзәрин мүасир чөкүнтүләриндә чивәнин јаылмасына даир

#### ХУЛАСӘ

Мәгаләдә Чәнуби Хәзәрин мүасир чөкүнтүләриндә чивәнин јаылмасының бә'зи нәтичәләри верилмишdir. Чәнуби Хәзәрин айры-айры стансијаларындан көтүрүлмүш сүхур нүмүнәләри Азәрбајҹан Кеоложи идарәсинин спектрал лабораторијасында дәғиг анализ едилемишdir.

Чивәнин эн чох мигдары (кларкдан йүксәк)  $8-10^{-4}$  бакы норизонтуnda гејд олунмушdur. Хвалын чөкүнтүләриндә чивәнин мигдары  $2-10^{-4}-3 \cdot 10^{-4}$ -э бәрабәрdir.

Жухары Хвалын вә Хвалындан сонракы норизонтларда чивәнин мигдары кларка чатыр. Яни Хәзәр чөкүнтүләринә кечдиқчә чивәнин мигдарының  $4 \cdot 10^{-4}$ -э гәдәр артмасы мүшәнидә олунур.

A. Dzh. Sultanov, Dzh. D. Mazanov, T. M. Saradzhalinsky

Some Peculiarities of Mercury Distribution in Benthonic sediments of the Southern part of Caspian Sea

#### SUMMARY

In anthropogen deposits Mercury is discovered in high content.

Its high content in investigated deposits shows about possible confinedness of Mercury to the sections of longitudinal and transversal tectonical disturbances, and it is also possible to connect with action of the mud volcanism.

As a result of investigation it was revealed that with the increase of the content of pyrite, barite, organic matter—the mercury content is increased.

Академик Ш. Ф. МЕХТИЕВ, М. З. РАЧИНСКИЙ, Д. Н. ФРИДМАН

## ПЛАСТОВЫЕ ВОДЫ VII ГОРИЗОНТОВ И НКП СВИТЫ ЮГО-ЗАПАДНОГО АПШЕРОНА И ИХ СВЯЗЬ С КОЛИЧЕСТВЕННЫМ РАСПРЕДЕЛЕНИЕМ УГЛЕВОДОРОДОВ В ЗАЛЕЖАХ

Изучение гидрохимической обстановки залежей нефти и газа является весьма важным, поскольку позволяет объективно решать вопросы их формирования и, следовательно, правильно подходить к оценке перспектив нефтегазоносных районов. В этом смысле геологические материалы по подробно изученным месторождениям Апшеронской нефтегазоносной области и, в частности, юго-западной ее части дают благоприятные возможности для решения отдельных аспектов миграции и аккумуляции углеводородов в ловушках посредством выявления связи между обликом пластовых вод характером углеводородного насыщения.

С этой целью в настоящей работе в сопоставлении с удельными запасами нефти (запас на 1га и порового пространства) по каждой залежи приводятся результаты проведенного изучения и систематизации фактических данных по гидрохимии VII горизонтов и НКП свиты [1] антиклинальной зоны Аташка—Локбатан—Пута—Кушхана—Карадаг, залежи которой представляют собой непрерывную на протяжении около 30 км систему нефтяных, нефтегазовых и газоконденсатно-нефтяных скоплений, приуроченных к широкому диапазону гипсометрических отметок—от обнажающихся на поверхности (пл. Аташка) до погруженных на глубины 4000 м и более (пл. Карадаг).

В пределах рассматриваемой антиклинальной зоны и отдельных залежей продуктивные пласти характеризуются различными литофациальными и тектоническими условиями, что накладывает определенный отпечаток на качественную и количественную стороны их углеводородного насыщения, гидрохимию и энергетические ресурсы [2]. Современное состояние продуктивных объектов, в том числе и гидрохимической обстановки, с учетом отмеченных различий и особенностей представляется в частном виде интегральной функцией влияния перечисленных факторов, а в целом определяется историей геологического развития региона и процессами формирования залежей нефти и газа [3, 4, 5].

Поскольку гидрогеологические особенности залежей НКП свиты были предметом отдельной нашей публикации [1], ниже приводятся лишь основные характеризующие их моменты. К таковым относятся:

а) в пределах рассмотренной тектонической линии в отложениях НКП свиты не существует какой-либо четкой регионально выдержанной закономерности в изменении минерализации и состава (в меньшей степени) пластовых вод. Все изменения носят в основном локальный характер и прослеживаются только в пределах отдельных структур;

б) на площадях рассматриваемого района имеет место четкая тенденция к увеличению минерализации и уменьшению щелочности пластовых вод от свода складок к их крыльям и периклиналям;

в) в направлении ухудшения коллекторских свойств пластов минерализация вод возрастает, а их щелочность уменьшается;

г) участкам наибольшего углеводородного насыщения сопутствуют наименее минерализованные и наиболее щелочные воды.

Фактические данные по свите VII горизонтов, приведенные в табл. 1, также указывают на отсутствие каких-либо четких регионально выдержанных закономерностей в изменении облика пластовых вод. Отмечается лишь, как и в НКП свите, общая направленность в уменьшении их щелочности (A) по мере смены нефтяных залежей нефтегазовыми и газоконденсатно-нефтяными. В пределах отдельных залежей свиты VII горизонтов изменения пластовых вод подвержены тем же тенденциям, что и в НКП свите. Вместе с тем замечается, что по сравнению с ее водами воды VII горизонтов относительно более постоянны по минерализации и составу, что может быть поставлено в связь с более однородным в целом по региону характером вмещающих пород, определяющим на всех площадях примерно идентичные условия формирования водных пластовых смесей [4].

Известно, что на площадях Апшеронской нефтегазоносной области уменьшение щелочности пластовых вод обычно сопровождается увеличением их минерализации [4]. На Карадагской газоконденсатно-нефтяной залежи VII горизонтов впервые установлена противоположная направленность этого процесса—пластовые воды по величине общей минерализации несколько ниже (в среднем 45 мг/экв), чем пластовые воды смежных нефтегазовых залежей одноименного горизонта (в среднем 70 мг/экв). Небезынтересным здесь является факт присутствия переходных (слабощелочных и слабожестких) вод высокой минерализации ( $\Sigma a+k=80$  мг/экв) в краевой западной части залежи (скв. № 213, 218) вблизи границы выклинивания коллекторов свиты VII горизонтов. Исходя из общего механизма распределения вод газоконденсатно-нефтяных залежах по их составу и концентрации [4, 5], вполне допустимо предположить, что упомянутые воды характеризуют контурную область. Следовательно, щелочные пластовые воды меньшей концентрации (45 мг/экв), полученные в процессе обводнения нефтяной оторочки залежи являются по существу приконтурными. Отмеченная аномалия в распределении вод Карадагской газоконденсатно-нефтяной залежи VII горизонтов подтверждается материалами разработки последней: отсутствием стягивания контуров нефтеносности, избирательным обводнением нефтяной оторочки, застойными условиями вод в контурной области. Вышеназвленные выражения могут рассматриваться в качестве подтверждения ранее установленных общих тенденций.

Табл. 2 и рисунок иллюстрируют результаты сопоставления минерализации и щелочности пластовых вод по отдельным залежам с приходящимися на каждую из них средними величинами удельных запасов углеводородов. Из приведенных данных следует, что по мере возрастаания количества нефти в единице объема пор пласта щелочность (A) пластовых вод увеличивается. Менее четко, но также дос-

Таблица 1

## Характеристика пластовых вод свиты VII горизонтов юго-западного Ашшерона

Площадь, тектоническое поле	Соленость*, Be°	Уд. вес, г/см³*	Химический состав вод, мг-экв на 100 г						Характеристика вод по Пальмеру				
			Cl'	SO₄	HCO₃+CO₃	HK-	Ca++	Mg++	Na++K+	S₁	S₂	A	a
Аташка, надвнущая часть	2,4—3,6	1,0131—1,0230	12,7—19,4	—	17,4—25,6	0,2—0,7	0,3—0,4	0,2—0,6	31,3—40,1	63,4—74,8	40,1	—	58,3 1,6
Локбатан, восточная периклиналь	2,0—3,5	1,0130—1,0220	17,4—27,9	0,1—1,1	5,5—18,4	0,2—2,3	0,1—0,8	0,1—1,8	26,2—42,9	54,2—78,2	45,4	—	51,8 2,8
Локбатан—Пута—Кушхана, сев. крыло	2,05—4,0	1,0120—1,0280	17,7—39,3	0—0,9	9,3—22,2	0,1—2,2	0,1—0,8	0,1—2,0	20,8—49,4	52,2—99,8	58,0	—	39,6 2,4
Локбатан—Пута—Кушхана, Южное крыло	1,9—3,7	1,0112—1,0230	14,8—28,3	0,1—0,7	5,4—18,6	0,4—2,6	0,1—1,1	0,3—2,0	25,2—41,7	54,4—86,2	51,0	—	45,2 3,8
Карадаг, южное крыло	1,3—1,6	1,0091—1,0123	15,6—2,9	1,1—2,1	1,3—3,2	0,4—1,4	0,2—0,8	0,3—0,9	17,7—27,3	36,5—51,8	86,6	—	9,4 4,0
Южная Кушхана, центр. и восточное поле	1,6—1,8	1,0115—1,0140	30,7—33,4	0,2—0,9	1,4—2,1	0,2—0,6	0,4—0,8	0,1—0,5	30,1—34,2	68,3—71,2	94,5	—	3,2 2,3
	1,7	1,0121	32,0	0,7	1,6	0,3	0,5	0,3	33,8	69,2			

\* Показаны интервалы изменения (числитель) и средние величины (значительный дроби).

таточно ясно, намечается аналогичная тенденция к уменьшению минерализации пластовых вод, контактирующих со скоплениями углеводородов. Подобная картина имеет место и на других площадях Ашшеронской нефтегазоносной области [5].

Таблица 2

№ п/п	Площадь, тектоническое поле	Параметры	Удельный* запас нефти на 1 га и пор. объема, усл. ед.		Общая** минерализация вод, мг-экв		Щелочность** пластовых вод, %	
			п. VII	НКП	п. VII	НКП	п. VII	НКП
1	Аташка		5,87	5,37	72,4	61,7	58,3	36,0
2	Локбатан, вост. периклиналь		5,61	5,23	68,4	46,0	51,8	44,5
3	Локбатан—Пута—Кушхана, сев. крыло		5,65	6,14	76,0	42,2	39,6	47,3
4	Локбатан—Пута—Кушхана, южное крыло		4,51	4,92	70,2	57,0	45,2	36,4
5	Южная Кушхана, центр. поле		—	3,27	69,2	38,4	3,2	7,7
6	Карадаг, южное крыло		0,86	0,09	45,2	59,7	9,4	10,6 — 7,5 (S <sub>2</sub> )

\* В расчете на полную нефтегазоносную площадь залежи;

\*\* средние (типичные) данные.

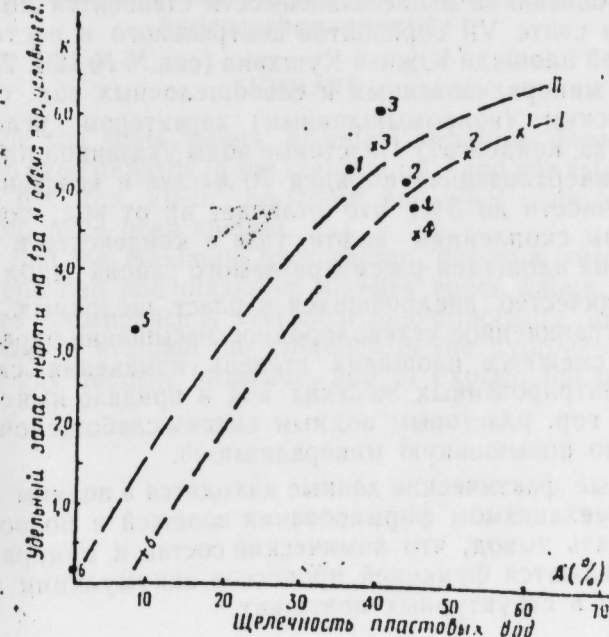


Рис. 1. Щелочность пластовых вод кривая I—I по пачке VII гор (х); кривая II—II по свите НКП (о). 1—Аташка; 2—Локбатан, восточная периклиналь; 3—Локбатан—Пута—Кушхана, северное крыло; 4—Локбатан—Пута—Кушхана, южное крыло; 5—Южная Кушхана; 6—Карадаг.

Указанная связь представляется принципиально важной, так как позволяет подойти к оценке влияния гидрогеологического фактора

на формирование залежей нефти и газа. Механизм, определяющий установленные зависимости, может быть объяснен следующим образом. Накопление жидкой нефти в ловушках и формирование нефтяных залежей представляется следствием многократного прохождения через них различных объемов газоконденсатной смеси, которая в результате ретроградной конденсации, вызванной падением давления, выделяла из своего состава жидкую фазу — нефть. Основными причинами, вызывающими разрушение газоконденсатных залежей и образование на их месте нефтяных являются появление и последующее развитие новых тектонических нарушений и перестройка тектонического плана, сообщающие данный интервал разреза с областью меньших давлений и способствующих таким образом, эмиграции газа.

Поступление парогазовой углеводородной смеси в ловушки сопровождалось поступлением вместе с ней и маломинерализованных щелочных вод [4]. Вполне понятно, что если газоконденсатная залежь в ловушке сохранится, то общее количество внедрившихся в нее щелочных вод будет значительно меньшим, чем при образовании на ее месте нефтяной, сформировавшейся в результате многоэтапного сквозного прохождения исходной однофазной смеси. Соответственно этому и состав пластовых вод, контактирующих со скоплениями газа и конденсата, с одной стороны, и с нефтью, с другой, будет различным. Меньшее количество поступивших щелочных вод ведет к меньшему опреснению и видоизменению высокоминерализованных сингенетических разрезу вод [4, 5] и наоборот.

В рамках описанной выше зависимости становится понятным факт присутствия в свите VII горизонтов центрального и восточного тектонических полей площади Южная Кушхана (скв. № 126, 273, 302 и др.) относительно минерализованных и слабощелочных вод, сочетающихся со спорадическим (непромышленным) характером углеводородного насыщения (газ, конденсат). Пластовые воды указанной площади характеризуются минерализацией порядка 70 мг-экв и коэффициентом первичной щелочности до 5%, что отличает их от вод, сопутствующих промышленным скоплениям нефти, газа и конденсата в одноименном объекте других площадей рассматриваемого района (табл. 1).

Малое количество внедрившихся в пласт щелочных вод и, соответственно, ограниченное углеводородное насыщение определило меньшую, чем на смежных площадях степень изменения сингенетических разрезу концентрированных жестких вод и придало ныне залегающим в разрезе VII гор. пластовым водным смесям слабощелочной характер и относительно повышенную минерализацию.

Приведенные фактические данные находятся в полном соответствии с указанным механизмом формирования залежей и позволяют, таким образом, сделать вывод, что химический состав и минерализация пластовых вод являются функцией процессов аккумуляции и сохранения углеводородов в структурных ловушках.

#### ЛИТЕРАТУРА

1. Мехтиев Ш. Ф., Рачинский М. З., Фридман Д. Н. Гидрогеологические и гидрохимические особенности залежей НКП свиты юго-западного Апшерона. Уч. зап. АГУ, серия геол-геог., № 1, 1968.
2. Рачинский М. З., Фридман Д. Н., Чернотиев М. З., Шапиро Б. А. Зависимость между литофаunalными особенностями отложений и физико-химическими свойствами нефти и вод. НГГ, № 3, 1966.
3. Дадашев, Ф. Г., Фридман Д. Н. Некоторые особенности состава углеводородов и залежах в зависимости от геологических условий. Геология нефти и газа, № 12, 1967.
4. Мехтиев Ш. Ф., Рачинский М. З., Ахундов А. Р. К вопросу о причинах гидрохимической инверсии в продуктивной толще. ДАН Азерб. ССР, № 9,

1966. 5. Мехтиев Ш. Ф., Рачинский М. З. Гидрохимические показатели проводимости тектонических нарушений. Изв. АН Азерб ССР\*, № 1, 1967. 6. Мехтиев Ш. Ф., Цатурица А. Б., Рачинский М. З. и др. О вероятной схеме формирования многопластовых месторождений и условиях образования газовых (газоконденсатных) залежей. Уч. зап. АГУ, № 3, 1968.

Институт геологии

Поступило 10. XI 1969

Ш. Ф. Мехтиев, М. З. Рачинский, Д. Н. Фридман

Чэнуб-гэрби Абшеронда Гүг лај дэстэснин вэ VII нодризонтун лај судары, онларын ятагда карбоңидрокенләрин мигдарча пајланмасы илэ әлагэс

#### ХУЛАСЭ

Фактики қеоложи-мә'дән материалларына эсасен Ч-Г Абшеронда ТҮГ лај дэстэси вэ VII нодризонтун һидрокимјасы илэ лајларын карбоңидрокенлә долмасы характеристи арасындакы асылылыг өјрәнилмишdir. Мүәлжән едилмишdir ки, лај сударынын минерал тәркиби структур типли "тәләләрдә" карбоңидрокенләрин топланмасы вэ сахланмасы илэ сых әлагәдардыр.

Sh. Mehtiev, M. Z. Rachinsky, D. N. Fridman

The strata waters of the VII-th horizons and NKP suite of the south-west absheron and their dependence upon the change in the hydrocarbon quantity

#### SUMMARY

In this article the strata waters' chemical structure dependence upo, the hydrocarbon type deposits in the regional oil—and gas saturated stratum as exemplified by the VII-th horizonts and NKP suite of the South-West Absheron, have been studied.

It is shiwn that the maximum hydrocarbon deposits correspond to the minimum concentrated and maximum alkaline strata waters.

The received dependence is very clear and principally important since it makes possible to evaluate the influence of the hydrogeological factor on the oil and gas deposits formation, and to explain the mechanism of this process.

ГЕОЛОГИЯ НЕФТИ

Г. А. ГУЛИЕВ

**К ВОПРОСУ ПРОИСХОЖДЕНИЯ НЕФТИ И  
ФОРМИРОВАНИЕ ЕЕ ЗАЛЕЖИ**

(на примере Сиазанской моноклинали)

(Представлено академиком АН Азербайджанской ССР А. А. Ализаде)

Правильное решение вопросов, касающихся образования нефти и газа и формирование их залежей имеет первостепенное значение для выбора направления и постановки поисково-разведочных работ.

В практике нефтяной геологии установлено, что в пределах геосинклинальных областей земной коры, основные залежи нефти и газа приурочены к бортовым частям крупных палеопрогибов.

В пределах Азербайджана залежи нефти и газа, установленные в разрезе плиоценовых и олигоцен-миоценовых отложений приурочены к тем крыльям или же частям структур, которые обращены к региональным прогибам, на что обратили внимание М. Ф. Мирчиник, А. А. Али-Заде, Г. А. Ахмедов, А. К. Алиев, Ф. М. Багирзаде и др. Поэтому для выбора направления дальнейших поисково-разведочных работ необходимо провести палеогеографический и палеотектонический анализ с целью выделения зоны, где благоприятно сочетались условия нефтеносных образований.

Выявленные залежи нефти и газа в разрезе палеоген-миоценового комплекса в пределах Сиазанской моноклинали приурочены к юго-западному борту Кайнарджинского предгорного прогиба (по А. А. Али-Заде), который в палеоген-миоценовом периоде испытывал интенсивное прогибание, компенсированное накоплением мощной толщи (до 5 км) указанных отложений.

Несмотря на это некоторыми исследователями (Ш. Ф. Мехтиев, В. А. Горин, Г. П. Тамразян, В. М. Мурадян и др.) выявленные залежи нефти и газа как в разрезе плиоценовых, так и олигоцен-миоценовых отложений связываются с глубинными разломами. По их мнению, глубинные разрывы могут послужить мощным транзитным путем, по которому жидкие и газообразные углеводороды могли подняться из более древних (глубоких) отложений осадочной толщи и скапливаться в коллекторах упомянутых комплексов.

Проведенные нами исследования в пределах нефтеносных площадей Сиазанской моноклинали, которые указанными исследователями связываются с глубинным разломом, позволяют высказать иное мнение.

Прежде всего следует отметить, что залежи нефти и газа, установленные в разрезе среднего и верхнего мицена, залегающие под углом 75–80° расположены далеко от основного разрыва, не позволяют полагать о том, что скопленные здесь нефть и газ мигрировали по разрыву из более древних отложений (рис. 1). Тем более добываемые

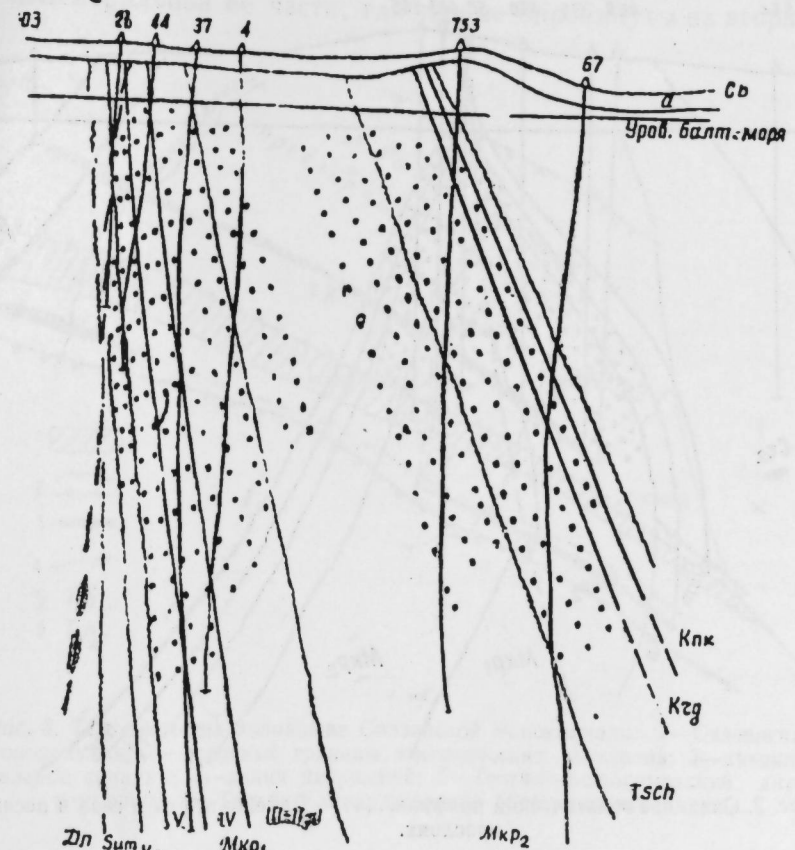


Рис. 1. Сиазан—Нардаран. Геологический профиль.

нефти из различных горизонтов палеоген-миоценового комплекса сильно отличаются друг от друга по физико-химической характеристике. Так, коунская нефть, имеющая темно-зеленый цвет, характеризуется большей плотностью (уд. вес—0,8800 при 20°C) и повышенным содержанием смолы (до 16–20%), парафина (2,55%) и асфальтенов (2,20%), чем майкопская. Первая также отличается от второй по своему элементарному составу. Она содержит углерода—86,83, водорода—12,57%, серы—0,224, кислорода—0,241 и азота—0,135%. Зольность ее составляет 0,3446%.

Майкопская нефть, окрашенная в зеленые и светло-зеленые цвета, характеризуется относительно меньшей плотностью (уд. вес 0,8560–0,8760), пониженным содержанием смолы (до 13%) и асфальтенов (1,21%). В элементарном составе майкопской нефти были определены углерод—в количестве 87,13%, водород—12,38, сера—0,163, кислород—0,110 и азот 0,01%. Содержание парафина в ней незначительно (1,67%). По данным М. С. Агаларова, в ряде случаев отмечается полное отсут-

ствии парафина в майкопской нефти. В этом отношении особый интерес представляет нефть чокракского горизонта, которая скапливалась в одинаковых геологических условиях с таковой майкопской свиты и сильно отличается от последней (рис. 2). Чокракские нефти, окрашенные в коричневые и темно-коричневые цвета с удельным весом 0,900 и вязкостью 6,83<sup>0</sup> при 20°C, тяжелее, чем майкопские нефти.

Согласно этим же данным, нефти чокракского горизонта отличаются от майкопских нефтей более высоким содержанием парафина (до 10%) и низким содержанием

664 409 335 350 50 483 145 76

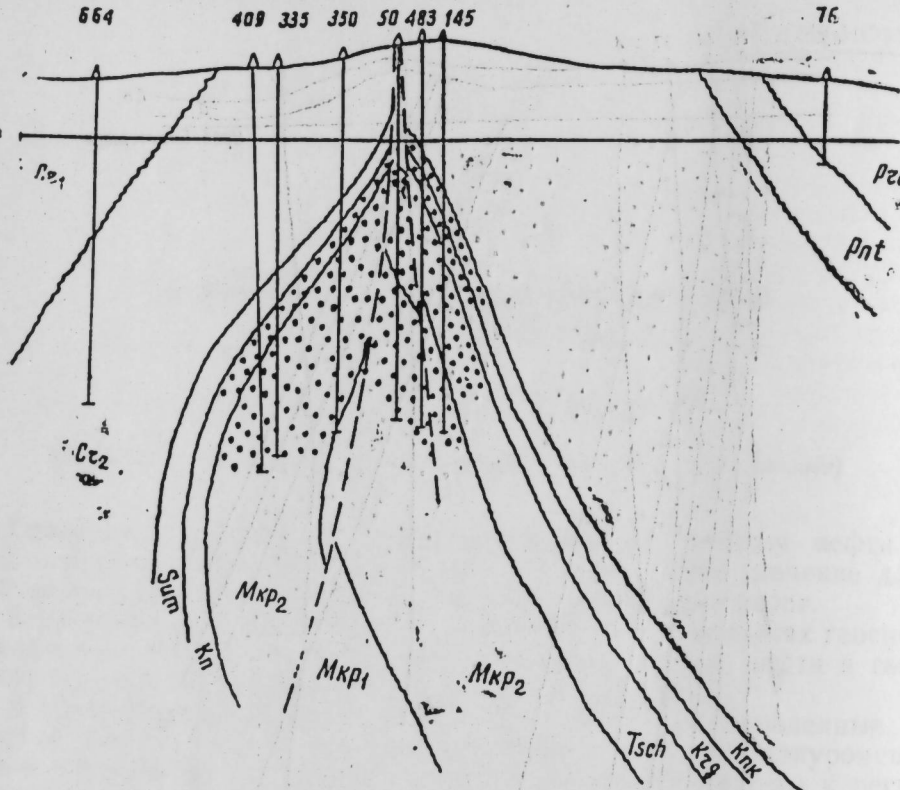


Рис. 2. Саадан. Геологический профиль. .... — Залежи нефти и газа в песчаных прослоях.

Нефти чокракского горизонта отличаются также от нефтей коунской, майкопской свит и караган-конкского горизонтов повышенной парафинистостью, содержание которых достигает 6,73%. Содержание смолы и асфальтенов в чокракской нефти составляет 36 и 2,21%. В элементарном составе данной нефти содержание углерода составляет—86, 68%, водорода—11,92, серы—0,596, кислорода—0,755 и азота—0,049%.

Нефти, полученные из караган-конкских горизонтов, имеющие зеленый, темно-зеленый цвет характеризуются большей плотностью (усл. вес 0,911 при 20°C), чем нефти чокракского горизонта. Вязкость ее по сравнению с чокракской нефтью гораздо меньше (2,29<sup>0</sup>). Содержание акцизных смол и асфальтена составляет 40 и 2,91%. Элементарный состав этой нефти характеризуется следующими показателями: углерод—85,56%, водород—13,16; сера—0,440; кислород—0,7866; азот—0,052%.

Таким образом, результаты анализов позволяют заметить, что различные стратиграфические единицы палеоген-миоценового комплекса имеют своеобразные нефти, которые, на наш взгляд, только можно объяснить их сингенетичностью. А залежи нефти и газа в

разрезе указанных отложений Сиазанской моноклинали, как тектонически экранированные, так и стратиграфического типов формировались за счет лотеральной миграции флюидов из погруженной части Кайнарджинского предгорного прогиба (рис. 3). В пользу лотеральной миграции можно отметить еще то, что нижние (V и VI) песчаные горизонты нижнемайкопской подсвиты больше насыщены нефтью и газом, чем верхние (III, II, I) горизонты, как в юго-восточной части моноклинали, где пласты палеоген-миоценца имеют нормальное залегание, так и в центральной ее части, где первые опрокинуты на вторые.

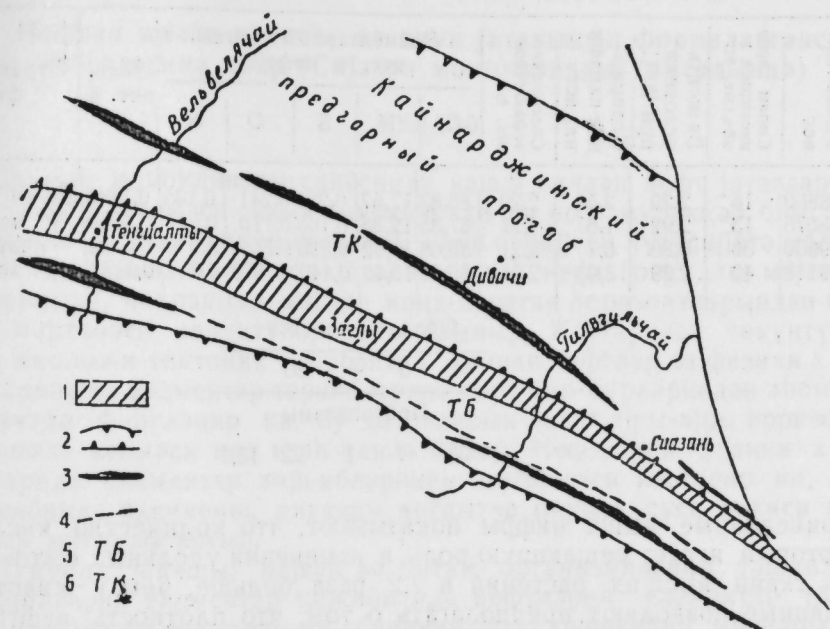


Рис. 3. Тектоническое положение Сиазанской моноклинали: 1—Сиазанская моноклиналь; 2—условные границы тектонических элементов; 3—антеклиническое складки; 4—линии нарушений; 5—Тенгинско-Бешбармакский антиклиниорий; 6—Талаби-Кайнарджинская антиклиническая зона.

При сопоставлении результатов анализов отмечается одна закономерность:— с увеличением кислорода в элементарном составе нефтей увеличивается плотность последних и содержание смолы. В этом особый интерес представляет наличие и количество кислорода в элементарном составе нефтей. Он является эндогенным или же экзогенным? Для того, чтобы ответить на этот вопрос, необходимо изучить исходные органические материалы, из которых образовалась нефть.

Как известно, сторонники теории органического происхождения нефти пришли к единому мнению, что нефть образовалась из животных и растительных остатков, захороненных (накопленных) в восстановительной морской среде. Известно, что весь органический мир (мир животных и растений) состоит из клеток, а клетки—из оболочки и содержащего протоплазмы и ядра. Кроме того, существуют клетки, не имеющие оболочки, которые принимают участие в строении тканей, в основном животного происхождения. Как отметил И. М. Губкин [5] клетки, слагающие ткани растений, в особенности высшие, имеют хорошо развитую клетчатую оболочку. Между тем, у низших растений, особенно у водорослей, оболочка часто отсутствует или же является слаборазвитой и преобладающее развитие приобретают протоплазмы

и ядро клетки. Проведенными исследованиями (И. М. Губкин, 1937) установлено, что элементарный состав клетчатки (оболочки) состоит из углерода в количестве 44%, водорода—около 6% и кислорода—50%. Элементарный состав протоплазмы состоит из углерода в количестве 53%, водорода—7%, кислорода—22%, азота—13,7% и серы—около 1%, а ядро клетки отличается от протоплазмы лишь уплотнением вышеуказанных элементов и прибавлением небольшого количества фосфорных соединений.

#### Физико-химическая характеристика нефти палеоген-миоценовых отложений

№ скв.	Удельный вес	Содержание сернистых кислотных групп в объеме, %	Вязкость условная при 20°C	Содержание парафинов, на. вес. %	Содержание асфальтостанов, вес. %	Элементарный состав вес. % нефти					Зола, вес. %	Стратиграфия
						C	H	S	O	N		
720	0,8800	16	2,29	2,55	2,20	86,83	12,57	0,224	0,241	0,135	0,3446	коун+V—IV
451	0,8675	13	2,02	1,67	1,21	87,35	12,38	0,163	0,110	0,017	0,5020	и. майкоп
226	0,9000	36	6,83	6,7	2,21	86,68	11,92	0,596	0,755	0,019	0,0730	чокрак
143	0,9110	40	2,29	3,4	2,91	85,56	13,16	0,440	0,7876	0,052	0,1184	караганоконк
Оболочки клетки												
						44	6	—	50			
Протоплазмы												
						53	7	1	22	13,7		

Приведенные выше цифры показывают, что количество кислорода, который играет решающую роль в изменении удельных весов нефтей, в ткани высших растений в 2,2 раза больше, чем у животных. Эти данные позволяют предполагать о том, что плотность нефти зависит от количественного соотношения животных и растительных (высших растений) остатков в составе сапропела. Точнее, чем больше высших растительных остатков в составе сапропела, тем больше должна быть плотность нефти. Этот вывод может также подтверждаться данными А. А. Али-Заде и др., которые исследовали газонефтяные смеси Карадагского (Ашхеронская область) и Кюровдагского (Прикуринская область) месторождений, при высоких давлениях и температурах. Результаты исследования показали, что Карадагские нефти при температуре 150°C, газовом факторе  $3 \cdot 10^4 \text{ м}^3/\text{м}^3$  и давлении 1400 атм, полностью переходят в газоконденсатное состояние, а Кюровдагская нефть при той же температуре и давлении испаряются только на 60% в газоконденсатном состоянии, остальные 40% превращаются в кокс. Это обстоятельство привело авторов к выводу, что при образовании Кюровдагской нефти основное место занимали остатки растительного происхождения. К этому следует добавить, что удельный вес Кюровдагской нефти больше, чем Карадагской, составляя соответственно 0,9356 и 0,8865 Г/см<sup>3</sup>.

Кроме того, в результате сопоставления элементарного состава нефтей с таковыми клеток как животного, так и растительного происхождения легко замечается, что в составе последних содержание кислорода гораздо больше, чем в первых. Отсюда становится очевидным, что при превращении исходного органического материала в нефть и газ, первые (органическое вещество) теряют значительное количество кислорода.

#### ЛИТЕРАТУРА

- Агаларов М. С. Пластовые воды майкопских отложений. Сиазанского нефтяного месторождения. Фонды АзНИИ ДН, 1953.
- Али-Заде А. А. и др. Исследование нефтяных и газоконденсатных месторождений Азербайджана. Азернефть, 1967.
- Ахмедов Г. А. и др. Генезис нефти и газа. "Недра", 1967.
- Гелиев Ш. В., Гулиев Г. А., Мурзина Н. С. АНХ № 3, 1966.
- Губкин И. М. Учение о нефти. ОНТИ, 1937.

АзНИИПИнефть

Поступило 23. VII. 1969

Г. Э. Гулиев

#### Нефтин әмәлә қәлмәси вә онун жатағынын формалашмасы мәсәләсінә даир (Сијәзән моноклиналы тымсалында)

#### ХУЛАСЕ

Сијәзән моноклиналы саһесинде қәшф едилән нефт җатаглары нефтин әмәлә қәлмәси кими мұбаһисәли вә чох мүрәккәб бир мәсәлә һағында мүәждіән фикир сөјләмәк үчүн сәчиijәви хүсусијәтә маликдир. Белә ки, һәммиң саһәдә сәнаје әһәмијәтли нефт ғовундағ, мајкоп дәстәләриндән, чокрак, аз мигдар konk-караган һоризонтларынан вә сармат мәртәбәсі өкүйтүләриндән алышыр. Кестәрилән өкүйтүләрдән ejни қеоложи-тектоник шәрайттә алышан нефтиләр өз физики хүсусијәтләринә вә элементар тәркибләринә көрә бир-бирләрнән әһәмијәтли дәрәкәдә фәргләнир ки, бу да онларын анчаг ајры-ајры һоризонтларда әмәлә қәлмәси илә изаһ едилә биләр. Нефтиләрн ғизики хүсусијәтләрилә элементар тәркибләринин мұғајисәси көстәрир ки, нефтин тәркибинде оксикенин мигдары арттыгча онун хүсуси өкүйсі вә гатранын мигдары артыр.

Бунуна յанаши, һејван вә битки организмләрини тәшкил едән һүчејрәләрин элементар тәркиби илә нефтиләрин элементар тәркибиин мұғајисәси көстәрир ки, биринчиләрдә оксикенин мигдары икинчиләрдәкінә иисбәтән гат-гат چохдур. Һејван вә битки галыгларындан ибарәт илкин үзви маддәләр нефт вә газа чевирилдикдә хејли мигдарда оксикен итирир. Мараглы буласыдыр ки, битки организмләрини тәшкил едән һүчејрәләрин тәркибинде оксикенин мигдары һејвандарда 2,2 дефә چохдур. Она көрә күман едилир ки, ағыр нефтиләрн әмәлә қәлмәсисинде битки галыгларынын ролу (мигдары) һејвандарына иисбәтән үстүндүр. Јүнкүл нефтиләрдә исә бунуң өксине олур.

G. A. Guliyev

#### On the Origin of Oil and the Formation of Oil Deposits (the Siazan Monocline Taken as an Example)

#### SUMMARY

Our investigations of the geological structure of the Siazan monocline and the physical-chemical properties of the Paleocene-Miocene oils have proved that the oils of the above-mentioned stratigraphic units differing greatly from one another are syngenetic.

Ш. В. ХАЛИЛОВ

## О ВЕТРО-ВОЛНОВОМ РЕЖИМЕ МИНГЧЕЧАУРСКОГО ВОДОХРАНИЛИЩА

(Представлено академиком АН Азербайджанской ССР Р. А. Ашрафом)

Для комплексного использования водных ресурсов страны за последние время у нее и за рубежом созданы крупнейшие водохранилища, к числу которых относится и Мингчечайское. В условиях Азербайджанской ССР, где распределение речного стока внутри года проходит крайне неравномерно, рациональное использование водных ресурсов возможно лишь путем создания водохранилищ.

Для эффективного использования водохранилищ необходимо соблюдение мероприятий, предотвращающих вредное воздействие воды на размывы. В результате размыва берегов выходят из строя сельскохозяйственные угодья, гидротехнические сооружения и другие строения, расположенные в зоне разрушения берегов. Подобные явления имеют место и на берегах Мингчечайского водохранилища.

Главным фактором размыва берегов является погровое волнение. Исходя из вышеизложенного, возникает необходимость изучения этого вопроса в условиях Мингчечайского водохранилища.

Господствующими ветрами в районе водохранилища являются северо-западные и юго-восточные, составляющие более 99% всех направлений, в том числе северо-западные = 23,4% и юго-восточные = 31,7%. Направления этих ветров совпадают с длиной водохранилища и благоприятно влияют на длину разгона волны. Из остальных направлений ветров северные составляют 5,3%, северо-восточные = 3,0%, восточные = 8,3%, южные = 12,2%, юго-западные = 2,9% и западные = 8,9%.

Самыми сильными ветрами здесь являются западные и северо-западные. Ветры со скоростью 16-20 м/сек составляют 1,2% всех градаций, в том числе 1,1% приходится на долю северо-западных и 0,1% - западных ветров. Ветры со скоростью 21-25 м/сек наблюдаются исключительно при западных направлениях, но бывают единичными и только в 1981 г. они составили 0,1% всех градаций. Скорость ветров остальных направлений в редких случаях превышает 10 м/сек. Средний многолетний годовая скорость ветра составляет 3,6 м/сек.

Волнение в Мингчечайском водохранилище изучено слабо. Редкие наблюдения, проведенные с 1968 г. Мингчечайской ГМС, дают ясную картину о размерах волн. А стационарные наблюдения, проведенные с 1965 г., охватывают лишь юго-восточную окраину водохранилища. Эта часть является самой глубокой (до 76 м) и здесь длина разгона волны при северо-западных ветрах составляет 60 км. Но вместе с тем эти наблюдения показывают, что самое высокое волнение отмечается в юго-восточной части водохранилища при северо-западных и западных ветрах - до 3 м. Самое слабое волнение наблюдается у береговых речных заливов, где длина разгона волны при господствующих северо-западных и западных ветрах практически равна нулю. Здесь только при юго-восточных ветрах высота волн может превышать 1 м, и при остальных направлениях во всех частях водохранилища наблюдается незначительное волнение.

На основе имеющихся материалов наблюдений Мингчечайской ГМС над волнением за 1965-1967 гг. (всего 428 измерений) выявлено наличие определенной закономерности между скоростью ветра и высотой волны (рисунок). Эта закономерность получена для 36 характерных наблюдений (таблица).

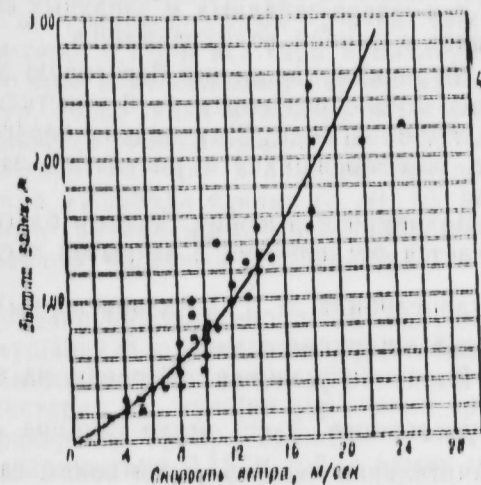


Рис. Зависимость между скоростью ветра и высотой волны.

### Изменение высоты волны с увеличением скорости ветра

Дата наблюдения	Скорость ветра, м/сек	Высота волны, м	Дата наблюдения	Скорость ветра, м/сек	Высота волны, м
20.I 1966 г.	3	0,10	26.XI 1967 г.	9	0,00
6.I 1966 г.	4	0,25	2.I 1966 г.	9	1,00
7.V 1966 г.	5	0,25	20.VI 1966 г.	12	1,00
7.IX 1967 г.	4	0,30	10.I 1967 г.	13	
31.XII 1967 г.	5	0,30	8.VI 1967 г.	12	1,10
3.I 1966 г.	6	0,40	21.IV 1967 г.	14	1,20
30.XII 1967 г.	7	0,40	15.VI 1966 г.	19	1,25
11.VIII 1967 г.	8	0,40	27.V 1967 г.	12	1,30
12.XI 1967 г.	9	0,70	30.IX 1967 г.	14	1,30
25.V 1966 г.	10	0,50	4.VI 1967 г.	15	1,30
7.XII 1967 г.	8	0,60	1.II 1967 г.	11	1,40
10.VIII 1967 г.	10	0,80	1.II 1967 г.	14	1,50
25.I 1967 г.	8	0,70	23.XII 1967 г.	18	1,80
11.I 1967 г.	10	0,70	1.II 1967 г.	18	1,80
21.IV 1966 г.	9	0,75	3.VI 1967 г.	18	2,10
26.I 1966 г.	10	0,75	23.XII 1967 г.	22	2,10
3.III 1967 г.	10	0,80	23.XII 1967 г.	25	2,20
25.I 1967 г.	11	0,80	28.III 1966 г.	18	2,50

Выявленная закономерность показывает, что с увеличением скорости ветра происходит повышение градиента высоты волны. При скорости ветра 0-6 м/сек градиент высоты волны в среднем составляет

ляет 0,05 м, при 5–10 м/сек—0,10 м, 10–20 м/сек—0,15 м и при ветрах со скоростью более 20 м/сек он доходит до 0,20 м.

Для приближенных расчетов средний градиент высоты волн для всего водохранилища на каждый 1 м/сек увеличения скорости ветра может быть принят 0,15 м. Установленная закономерность характерна для северо-западных и западных ветров, направление которых совпадает с длиной водохранилища.

По режиму волнения береговую зону Мингечаурского водохранилища можно разделить на 3 участка: 1) волнение у высоких берегов на глубокой воде; 2) у низких берегов на отмели; 3) в малых заливах, образовавшихся в результате затопления устьевых частей оврагов.

Волнение у высоких берегов благодаря большой глубине мало отличается от волнения в открытой части водохранилища. Известно, что когда глубина  $> \frac{\lambda}{2}$  ( $\lambda$ —длина волн) подводная часть волн не испытывает трение о дно.

Волнение у низких берегов, на отмели, резко отличается от вышеуказанного. Здесь везде глубина  $< \frac{\lambda}{2}$  и при подходе к берегу значительная часть энергии волн гаснет на береговой отмели с незначительным уклоном. Деятельность же волн зависит также от колебания уровня, так как при падении уровня на 1 м прибрежная отмель шириной до 50 м выходит из-под воды, и берега остаются в неизменном виде до следующего подъема уровня.

В малых заливах наблюдается очень незначительное волнение. Хотя глубина здесь достигает 10–12 м, однако, ввиду того, что эти заливы узкие и длинные, а берега в основном высокие и покрыты кустарниками, даже при штормовых ветрах волнение наблюдается только в нижних частях заливов.

Удлиненная форма водохранилища в направлении господствующих ветров, сложная конфигурация береговой линии, разнообразие глубин и длины разгона волн для каждого направления ветра создают особый режим волнения. При северо-западных и западных ветрах, в юго-восточной части водохранилища длина разгона волн достигает 60 км. Эта часть водохранилища является самой глубокой (до 75 м) и берега здесь в основном высокие, обрывистые и извилистые. Волны, обусловленные северо-западными и западными ветрами, играют решающую роль в размыве берегов.

## ЛИТЕРАТУРА

1. Материалы наблюдений на озерах и водохранилищах Азербайджанской ССР. Дополнения к гидрологическим ежегодникам за 1960–1967 гг. 2. Халилов Ш. Б. Роль гидрометеорологических факторов в разрушении берегов Мингечаурского водохранилища. «Изв. АН Азерб. ССР, серия наук о Земле», № 4, 1968.

Институт географии

Поступило 17. XI 1970

Ш. Б. Халилов

## Минкечевир су анбарынын күләк-далға режими нағында

### ХУЛАСӘ

Су анберларындан сәмәғәли истифадә етмәк үчүн сујун саһиля көстәрдиң жујучу тәсіре гарыш мүәյҗән тәдбиrlәrin hәjata кечирилмәси лазымыдыр. Күләк-далға прессесинин саһиلى յұмасы нәтижесинде

бурада олан һидротехники гургулар, мұхтәлиф тиқинтиләр вә кәнд тәсәррүфаты үчүн жаарлы олан торпаг саһәләри сырдан чыкыр. Бу нала Минкечевир су анбарында да тәсадүф едилir.

Су анбары раionунда шимал-гәрб вә чәнуб-шәрг күләкләри һаким күләкләр олуб, бүтүн истигамәтләрин 60%-ни тәшкил еdir. Шимал-гәрб вә гәрб күләкләри ән сүр'әтли күләкләрdir. 16–20 м/сак сүр'әтилә әсән күләкләр бүтүн сүр'әт градиасијасынын 1,2%-ни тәшкил еdir ки, бунун 1,1%-и шимал-гәрб, 0,1%-и исә гәрб күләкләринин пајына дүшүр. 21–25 м/сак сүр'әтлә әсән күләкләр hәр ил мүшәнидә едилir вә гыса мүддәтли олур. Іердә галан мұхтәлиф истигамәтли күләкләрин сүр'әти исә бә'зи налларда 10 м/сак-дән артыг ола билир.

Эн жүксәк далғаланма шимал-гәрб вә гәрб күләкләри заманы су анбарынын чәнуб-шәрг һиссәсіндә мүшәнидә едилir (3 м). Бу һиссә соҳа дәринидир (75 м) вә далғанын говулма мәсафәси 60 км-ә чатыр. Дикәр истигамәтли күләкләр заманы далғанын һүндүрлүjү 1 м-дән артыг мүшәнидә едилмир.

1965–1967-чи илләрдә Минкечевир һидрометеорологи стансијасынын далға үзәриндә апардығы мүшәнидәләр әсасында күләjin сүр'әти илә далғанын һүндүрлүjү арасында мүәйjәn ганунауғунлуг ашкар едилмишdir. Ганунауғунлуг көстәрик ки, күләjin сүр'әтинин артмасы илә далғанын жүксәклик градијенти артыр. Тәхмини һесабаттар үчүн далғанын орта жүксәклик градијентини 0,15 м гәбул етмәк олар.

Далғаланма режиминә көрә Минкечевир су анбарынын саһиля зонасыны 3 һиссәjә айырмаг мүмкүндүр: 1) жүксәк саһиилләр гарышында дәрин суда далғаланма; 2) алчаг саһиилләр гарышында дајаз суда далғаланма; 3) жарғанларын мәнсәб һиссәләриндә әмәлә кәлмиш кичик көрфәзләрдә далғаланма.

Жүксәк саһиилләр гарышында дәринлик бәjүк олдуғундан, далғаланма су анбарынын дахили һиссәләриндән аз фәргләнир. Алчаг саһиилләр гарышында вә кичик көрфәзләрдә исә зәнif далғаланма мүшәнидә едилir.

Sh. B. Khalilov

## On the wind and wave regime of the Mingechevir water reservoir

### SUMMARY

The wind speed and direction are observed and nature of the chopiness under different wind directions in Mingechevir water reservoir aquatorium is analysed in the article. The role of different direction waves in the water reservoir banks processing is estimated as well.

## РАСТЕНИЕВОДСТВО

А. М. ПИШНАМАЗОВ

## СИСТЕМА ОБРАБОТКИ ПОЧВЫ ПОД ПОСЕВ САХАРНОЙ СВЕКЛЫ ПРИ ОРОШЕНИИ

(Представлено академиком АН Азербайджанской ССР д. М. Гусейновым)

В условиях орошающего и богарного земледелия предгорной и горной зон нашей республики правильная обработка почвы—единственное средство для накопления и сохранения в почве влаги.

При возделывании сахарной свеклы зяблевая пахота является основным видом обработки почвы под эту культуру и решает следующие задачи: 1) восстановление почвенной структуры; 2) очищение почвы от сорняков; 3) сохранение влаги.

Осенняя обработка почвы состоит из лущения стерни предшествующих культур и пахоты на полную глубину. В зависимости от почвенных разностей и мощности пахотного горизонта, лущение производится на глубину 5–8 см. Зяблевая пахота проводится плугом с предплужником.

В почвенно-климатических условиях Азербайджана по вопросу обработки почвы под посев сахарной свеклы имеется ряд исследований: А. А. Аллахвердиева (1964), Г. М. Нагиева (1964), Я. Ахмедова (1964), а в условиях Армении: Т. Х. Агаджания (1961), эти авторы не полностью изучили данный вопрос.

В основном они считают необходимым провести зяблевую вспашку почвы, по нашему мнению, в орошаемых и засоренных почвах следует применять дифференционную обработку почвы до подъема зяби.

По вопросу системы обработки почвы под посев сахарной свеклы на корм имеется ряд исследований в пределах различных почвенно-климатических зон орошающего и богарного земледелия ССР.

Производственные опыты передовых хозяйств Кировабад-Казахской зоны показывают, что при вспашке зяби в сентябре и октябре большое количество осадков способствует появлению сорняков и путем двухкратного послойного лущения возможно уничтожить сорняки.

Весенняя обработка полей, подвергнутых зяблевой вспашке, состоит из раннего весеннего рыхления, выравнивания поверхности почвы, проводимых при наступлении физической спелости почвы и предпосевной обработки, выполняемой обычно одновременно с севом свеклы.

В условиях тяжелых сероземных почв западного Ширвана на полях Мингечаурского учебно-опытного хозяйства АзСХИ в течение 3-х лет при ранне-весенней подготовке почвы под посев сахарной свеклы возникла необходимость применять укатывание почвы. Этот прием особенно необходим при излишне глинистой почве сероземов, что бывает при проведении зяблевой вспашки в сухую погоду и недостатке влаги в почве.

Для предпосевной обработки почвы в различных почвенно-климатических условиях колхозов и совхозов Азербайджана применяются культиваторы КП, КП 4, КПС 5, 4; КП 5, 4. В условиях свеклосеющих зон ССР при неглубокой обработке 4–6 см хорошие результаты дают бороны-культиваторы ВНИСР.

Учитывая скучность исследований по обработке почв под посев сахарной свеклы в условиях орошаемых зон Азербайджана, мы поставили перед собой задачу изучить этот вопрос применительно к почвенно-климатическим условиям учхозов АзСХИ.

Наши полевые опыты по изучению влияния различных сроков, способов обработки почвы и сроков подъема, глубины зяби (1962–1964 гг.) на рост, развитие накопления сырой массы и урожай сахарной свеклы в течение 3-х лет были заложены в Мингечаурском учебно-опытном хозяйстве АзСХИ (1964–1966 гг.) в Ковларском учхозе АзСХИ.

Параллельно с основными опытами нами были заложены производственные посевы по упрощенной схеме в колхозах им. Калинина и Димитрова Касум-Исмаиловского района и сельскохозяйственной артели им. 26 бакинских комиссаров Юрдамирского района.

## Опыты были заложены по следующей схеме

1. Зяблевая вспашка в сентябре после увлажнения осадками на глубину 27 см (без предварительного лущения), контроль.
2. Лущение на 6–7 см после появления сорняков и увлажнения почвы и подъем зяби в сентябре на глубину 27 см.
3. Предлущевочный полив, с последующим лущением на глубину 6–7 см и подъем зяби в сентябре на глубину 27 см.
4. Лущение на глубину 6–7 см, предпахотный полив и подъем зяби в октябре на глубину 27 см.
5. Предлущевочный полив, 2-кратное лущение: первое на 6–7 см и второе после появления сорняков на глубину 8–10 см, подъем зяби на глубину 27 см в октябре.

Всего пять вариантов, площадь делянок 400 м<sup>2</sup>, учетная площадь 250 м<sup>2</sup>, повторность 4-х кратная.

Согласно разработанной методике влажность почвы на глубину 0–15 и 15–30 см определялась 1 раз в месяц методом высушивания в термостате; удельный вес почвы—с помощью пикнометра, максимальная жirosкопичность методом Митчерлиха, водопроницаемость—с помощью металлических квадратов, плотность почвы—пикнометром Ревкина.

Количество и видовой состав сорняков перед пахотой почвы в период вегетации сахарной свеклы учитывался по пробным площадям.

Результаты наблюдений над динамикой влажности почвы в период с октября до начала сева, показывают, что в наших опытах по двум пунктам на вариантах, где перед пахотой проводилось 2-кратное лущение стерни и предпахотный полив, влажность по сравнению с вариантами без лущения и предохранительного полива была высокая;

начале октября составляла: 12,3—12,8%, а перед посевом в марте—16—17,6%.

При сравнении отдельных вариантов опыта отмечено, что наибольшая продуктивная влажность оказалась в тех делянках, где проводилось 2-кратное лущение стерни, предпахотный полив и боронование зяби. В зависимости от физико-химических свойств почвы, наибольшая влажность в пахотном горизонте перед посевом наблюдалась на светло-каштановых почвах Ковларского учхоза—от 15,6—17,6%, а на тяжелых сероземных почвах Мингечаурского учхоза сравнительно меньше—14,6—16%.

Учет сорняков по отдельным вариантам опытов показывает, что во всех вариантах, где лущение стерни не производилось, на каждом квадратном метре, по сравнению с теми вариантами опытов, где проводился предлущевочный полив после уборки озимой пшеницы, число сорняков превышало в полтора—два раза. В зависимости от сроков и глубины зяблевой вспашки как по Мингечаурскому, так и Ковларскому учхозам, по октябрьским срокам зяблевой вспашки на глубину 27 см, поля по сравнению с сентябрьским сроком оказались более чистыми.

По сравнению с Мингечаурским учхозом в условиях Ковларского учхоза однократное лущение стерни обеспечивает лучшие условия для проведения зяблевой вспашки и требует меньше затрат труда и материальных средств на обработку почвы под посев сахарной свеклы.

Система предпосевной обработки почвы слагалась из ряне-весенне-го боронования зяби в марте при состоянии полной спелости в два следа с интервалами 10—30 мин боронами "Зиг-заг", после этого была проведена предпосевная культивация на разные глубины 4—6—8 см с последующим боронованием.

Оптимальная глубина предпосевной обработки почвы оказалась 4 см, что соответствовало глубине заделки семян сахарной свеклы. В условиях тяжелых почв Мингечаурского учхоза вслед за культивацией и боронованием проводилось укатывание почвы кольчатыми катками. Укатывание разравнивало поверхность почвы и размельчало крупные комки. В условиях Ковларского учхоза и среднесуглинистых почвенных разностей после культивации малозаделание почвы оказалось эффективным.

В течение 1963—1964 гг. в колхозе им. Калинина Касум-Исмаиловского района на светло-каштановых почвах нами были заложены производственные посевы по выявлению лучших сроков и способов обработки зяби под посев сахарной свеклы.

Параллельно с этим производственные опыты, заложенные в сероземных почвах Восточного Ширвана колхоза им. 26 бакинских комиссаров Кюрдамирского района показывают, что на засоренных почвах Восточного Ширвана предварительное лущение с последующей зяблевой пахотой оказывается эффективным приемом обработки зяби под сахарную свеклу.

В соответствии с темпами развития по отдельным вариантам опытов урожай корней, листьев и сбор кормовых единиц заметно меняется. При сравнении различных вариантов обработки почв видно, что предлущевочный полив, 2-кратное лущение стерни и глубокая зяблевая обработка почвы в октябре на глубину 27 см обеспечивает высокий урожай сахарной свеклы. По 3-летним данным по этому варианту обеспечивается наибольший урожай корней и ботвы сахарной свеклы и сбор кормовых единиц доходит до 177 ц/га.

## ЛИТЕРАТУРА

1. Агаджанян Т. Х. Культура сахарной свеклы в Армении. Ереван, 1946.
2. Карпенко П. В. "Свекловодство". Изд. 3 переработанное. "Колос", М., 1964.
3. Матевосян А. А. Обработка почвы под посев сахарной свеклы. Ереван, 1958.
4. Пишиамазов А. М. Возделывание сахарной свеклы на корм (на азерб. яз.). Баку, 1964.

АзСХИ

Поступило 25. VII 1969

Э. М. Пишиамазов

## Суварма шәрәитиндә шәкәр чуғундуру үчүн торпағын бечәрилмә системи

### ХУЛАСӘ

Шәкәр чуғундуру биткисиндән јүксәк мәңсул алмаг үчүн әсас шәртләрдән бири торпағын дүзкүн системлә сәпине һазырланмасылыр. Дондурма шуму илә Яанаши, әvvәлчә торпағын вәзијәтина вә онун кејфијәтина мұвағиғ технологи әмәлијаттар тәтбиг едилмәлиди. 1962—1964-чу илләрдә Аз. КТИ тәдрис-тәчрүбә тәсәррүфатларыда торпағын бечәрилмәсінә даир апарылан тарла тәчрүбәләри көстәрир ки, сәләфләрдән вә торпағын вәзијәтиндән асылы олараг, чох гуру вә алаглы којшәнлик саһесини сәләф биткисинин мәңсулу ѡығылдырын сонра сувармаг лазымдыр. Алаг тохумларыны чүчәртмәк үчүн 6—7 см дәринликтә сәпмәли вә тохумлар там чүчәрдиклән сонра 8—10 см дәринликтә култивасија етмәк мәсләһәттir.

Пајызда октjabр айында 27—30 см дәринликтә дондурма шуму апарылмалыдыр. Јаз бечәрилмәси үчүн саһени малалама вә сәпингабағы 3—4 см дәринликтә култивасија етмәк лазымдыр. Бу системлә торпағын бечәрилмәсі (177 сент/га) башга вариантлara нисбәтән эн јүксәк мәңсул алынмасына сәбәб олур. Минкәчевир тәдрис-тәчрүбә тәсәррүфаты илә йанаши олараг, Күрдәмир раionунун 26 Бакы комиссарлары адына колхозу вә Гасым Исмаїлов раionунун Калинин адына кәнд тәсәррүфаты артенинде апарылан истеһсалат тәчрүбәләри, бу системлә бечәрмә апарылдыгда эн јүксәк мәңсул көстәрир ки, бу системлә бечәрмә апарылдыгда эн јүксәк мәңсул (495—515 сент/га) элдә едилir.

КЕНЕТИКА

Р. И. ГУРБАНОВ

КИТРЭЛИ КӘВӘН (ТРАГАНТ) КОЛЛАРЫНЫҢ ТОХУМ ӘМӘЛӘ  
КӘТИРМӘСИНӘ МҮХТАЛИФ ТОЗЛАНМА УСУЛУНУН ТӘСИРІ

(Азәрбајҹан ССР ЕА академики В. Тұмајнұ тәзгидиү өткүшилди)

Азәрбајчанда китрәли кәвәнләр јени техники битки олуб, ондан алынан китрә халг тәсәрруфаты учун даһа әһәмиyyәттәнди.

Республикамызын дағ вә дағаттэji рајонларында еләчә дә Абшерон шәрәнтиндә бечәрилмиш пресспективли китрә верән кәвәnlәрдән Андреj, чыллаг вә иjnәвары кәвән нөвләри мұхтәлиф үсулларла тозлананда мей-вә верә билир [5, 6].

Мүэйжэн едилмишdir ки, чарпаз тозланан биткиләри өз тозу иләмәчбури тозладыгда (инсухт едилдикдә) мејвәдә тохумларын әмәлә-кәлмә габилиjjәти ашағы дүшүр [2, 6]. Белә ки, изолә едилмиш кәвән колу чичәкләринин мәчбури тозланмасы заманы ағызычылар кифајәтгәдәр тозчугларла тә'мин едилмәдикдә мајаланма зәнифләјир вә меј-вәләрин эксәриjjәти тохумсуз инкишаф едир.

Эксер наалларда мәчбури тозлама вахты мајаланмаја назыр олан ағызыңға тозчуг дүшә билмәдиңдән гурууб чичәк жатағына дүшүр [7, 8].

Тәдгигатымызда 3 нөв кәвән колу чичәкләринин мұхтәлиф үсул-  
ларла тохуммәләкәтирмә масалалары еңбасылышты.

Мәчбури тозланан генчәләрдә чарпаз тозламма иши апарылдыгда алынан тохумлардан мұхтәлиф ирсі хасијәтә малик олан коллар әмәлә көлир [5, 8].

**Ишин материалы вә үсулу.** Абшерон шәраитинде ијнәвары, чылпаг вә Андреј кәвән колу чичәкләрни инсухт үсулу илә (мәчбури өз тозу илә) тозланырараг мәјвәдә тохумун әмәлә кәлмәснин мүәյҗән етмәк учын һәр нөвдән 100 гәнчә пергамент кисәчикләрнән изолә едилмишdir. Еләчә дә һәмин колларда контрол олан гәнчәләр геіда алынышдыр.

Нәшератларын чарпас тозламада иштиракыны өјрәнмәк үчүн ени вә узуулуғы 1 м олан тәизифдән 2 евчик назырламышдыр. Ичәрисин-дә 3 кол олан евчиүүн бириңе 100-э гәдәр бал арысы, вәһши ары, милчек вә с., дикәринә исә нәшерат салыммамыш, контролдөларалар гадыштыр.

Гарышыг тозчугларла тозландырма ишиндә һәр 3nevүн 10 колундан йығылмыш тозчуглар сәһәр saat 8 тамамдан башлајараг ейни

иевүн 91—442 гөнчэси тозландырылараг ишиан өдилмишдир. Гојулмуш бүтүн тэчрүбэлэрдэ 70—75 күндэн сонра мејвэлэр ыгылмыш. вэ лабораторија шэрэгтиндэ һэр вариант үзрэ мејвэдэ тохумун эмэлэ кэлмэси өрненилмишдир.

Тәрүби һиссә вә мұзакирада. Тәдгигатлардан мүәлжін едилмишdir ки, көвән колу чичәниндәкі тозчугларын биоложи хұусијәтиндән асылы олараг, онларын там жетишиб мајаланма габилиціләти 3—5 күн давам едир [5].

Чәдвәлдән көрүнүр ки, мұхтәлиф жашлы (3—6 иллик) Андреј кәвәни колдарының инсухт едилминш 10% гөнчәсинде, чәми 7—9% жарапты тохум олдуғу налда, еїни нөвүн гөнчәләрини гарышыг тозчугларла тозландырығда (52—66%) 7 дәфә, тәбии чарпаз тозланмада исә (32—58%) 4—7 дәфә соғып тохум әмәлә қалмайтынан шығады. Айдан олмушшудур ки, гарышыг тозланмада нормал жетишмиш тозчуглар ағызыңға дүш-дүкдә сәрбәст тозлајараг киғаіттегі гәдәр тохум әмәлә қатырир [4].

Ачыг һава шәрдитинидә кәвән колу чычәкләриниң чарпас тозланмасы һәшәрлатларын көмәји илә баша кәлир ки, бу да ијул айының биринчи ѡарсындан августүн 15-нә кими давам едир.

Чылпаг кәвән колларында иисухт едилмиш чичәкләр 8—11% тохум әмәлә кәтирир ки, бу да гарышыглы тозландырмадан (54—62%) 5—7, тәбии чарпаз тозланимадан (48—51%) исә 4—6 дәфә аз олмуш дур.

Ижәвары кәвән колларында инсухтда 5—9% тохум алынараг, гарышыг тозланмадан (40—57%) 6—8, тәбии чарпас тозландырмадан исә (31—48%) 5 дәфә аз тохум әмәлә кәтирир. Беләликлә, гарышыг тозланмада чичәкләр кифајэт гәдәр тозчугла тә'мин олунараг мејвәдә тохумун әмәлә кәлмәси йүксәлир.

1962-чи илдэг һәшәрәтларын тозланмада иштиракыны билмәк үчүн гојулмуш тәғүрүбәләрдән мүәлжән едилмишdir ки, ары салынан евчикдәки Андреј қәвәни колу чичәкләринин тозланмасындан алышан тохумлар (24,6%) ары салынмајан (контроль) евчикләрдәki коллардан (5,2%) 4 дәфә, 1963-чү илдә ары салынанда (24,0%) контролдан (15,3%) 8,7%, 1964-чү илдә ары салынанда (66,2%) контролдан (25,5%) 2 дәфә чох олмушшудур.

Чылпаг көвән нөвү колларынын тохум әмәлә кәтирмәси Андреј вә иjnәвары көвән колларына иисбәтән фәргләнир. Белә ки, 1962-чи илдә ары салынаи евчикләрдәки коллар (16,7%) контролдан (2,1%) 7 дәфә, 1963-чу илдә ары салынаи (19,8%) контролдан (1,4%) 13 дәфә, 1964-чу илдә исә ары салынаи коллар (20,2%) контролдан (16,3%) 3,9% луксак кеfийатли тохум вермишдир.

3,9% жүксек кеңілдігін тохум бермішдір. 1962-чи илдә інівары көвән інөвү колларында апарылан тәчрубыларда ары салынан евчикләрдә (45,0%) контролдан (12,7%) 3 дәфә, 1963-чу илдә ары салынышларда (32,0%) контролдан (12,4%) 2 дәфә, 1964-чу илдә исә ары бурахыланда (33,3%) контролдан (8,3%) 3 дәфә жүксек кеңілдігін тохум әмәлә көлмишдір.

Беләликлә, 1962—1963-чү илләре ишсәтән 1964-чү илдә З нөв кәвән коллары чичәкләмә дөврүндә тозлајычи һәшәратларын фәал иштиракы натиҷасында юксак тохум мәһсулу әмәлә кәтирир.

Тәдгигат илләрниң дә мүәјжән едилмишdir ки, мәчбури тозланма (исухт) үсулу илә алышан тохумлар зәниф инкишаф едәрәк чәкичә йүнкүлдүр. Бу тохумлар экසәр һалда сары, сарымтыл, бә'зән дә ағрәнкә олур. Нәмин тохумлар гарышыг вә тәбии чарпаз тозланма үсулларындан әмәлә кәлән тохумлардан фәргләнәрәк Ѝасты, овал, еллипс-формаларда олмагла нисбәтән зәниф инкишаф едән, аз мәһсүл верән көлдәр әмәлә кәтирир.

Апарылан тәңрүбәләрдән ашағыдақы нәтиҗәләри чыгармаг олар:

Метод опыления	Год опыта	Кол-во опыляемых растений (шт.)	Многоплодие (%)	100-капельное опыление	Многоплодие (%)	Ари саламинеев		Ари саламинеев		Среднее количество семян в плоде	Среднее количество семян в плоде
						Опыление пыльцой	Опыление пыльцой	Опыление пыльцой	Опыление пыльцой		
Андрей	1962	3	92	7,0	101	53	52,4	140	46	32,8	401
	1963	4	98	8,0	127	72	56,6	160	85	53,1	422
	1964	5	95	9,0	216	123	56,9	333	194	58,2	422
	1965	6	92	8,0	317	210	66,2	400	210	52,5	104
Чемпи орта несабла	—	—	94	8,0	190	114	58,0	255	433	49,1	253
Чыллаг	1962	3	92	8,0	106	58	54,7	372	180	48,3	192
	1963	4	99	10,0	106	59	55,6	224	112	50,0	242
	1964	5	97	8,0	125	72	57,1	442	215	48,6	48
	1965	6	95	11,0	350	220	62,8	410	210	51,2	143
Чемпи орта несабла	—	—	95	10,2	172	102	57,5	362	179	49,5	192
Ильинская	1962	3	98	7,0	81	33	40,7	91	29	31,8	45,0
	1963	4	98	8,0	89	47	52,6	125	42	33,5	50
	1964	5	94	5,0	92	51	55,4	124	60	48,3	36
	1965	6	95	9,0	100	57	57,0	210	93	44,2	—
Чемпи орта несабла	—	—	90	7,2	92	47	56,4	137	56	39,4	42
											136,7
											15
											38
											4
											11,1

1. Мүэллән елилмишdir ки, Абшерон шәраитинде кәвән колларында мејвә вә мејвәдә тохумун әмәлә қәлмәси коллары мұхтәлиф үсулларла тозланmasы илә әлагәдардыр.

2. Гарышыг вә тәбини чарпаз тозландырма заманы мејвәдә әмәлә кәлән тохумларын мигдары вә чәкиси мәчбурән өз тозу илә тозландан (орта несабла 3 илдә) 5—7 дәфә жүксек олур.

3. Айдынлашмышдыр ки, 3 ил мүддәтиндә ары бурахылан евчикләрдәki Андрей кәвән колларының тохум әмәлә қәтирмәси орта несабла (38,2%) контролдан (15,3%) 22,9%, чыллаг кәвән неүүндә ары бурахыланда (18,9%) контролдан (6,2%) 12,7 вә иjnәвары неуда мұвағиғ олараг (36,7 вә 11,1%) контролдан 25,6% жүксек олмуштур.

4. Кәвән колларының јашы артдығча мејвәдә тохумун әмәлә қәлмәси үкәслир. 5—6 иллик коллар 3—4 илликләрдән 1,5—2,0 дәфә чох тохум верир.

### ӘДӘБИЙЛАТ

1. Борисова А. Г. К систематике копетлагских трагантов. Тр. Вин. АН СССР, серия 1, вып. 3, 1936. 2. Баласиний М. И. Влияние пыльцы на материнское растение. Жур. по биол. развит. растения, № 4—5, 1938. 3. Гроссгейм А. А. Новые астрагалы. ДАН Азерб. ССР, т. 3, № 12, 1947. 4. Дектярева М. И. Эффективности Мичуринского метода смешанной пыльцы. Сб. Киевск. Ин-та, № 13, 1938. 5. Курбанов Р. И. Полезные растения. Науч.-производств. журн. Мин. с/х Азерб. ССР. Кеңлхаят. № 12, 1966. 6. Микаилов М. А. Образование семян при различных способах опыления лоха. ДАН Азерб. ССР, т. 17, № 6, 1961. 7. Микаилов А. Камеденоносные растения Азербайджана. Изд. АН Азерб. ССР, Баку, 1964. 8. Тер-Ованесян и Д. В. Опыление и наследственная изменчивость. Советская наука, М., 1957.

Институт ботаники

Поступило 21. V 1969

Р. И. Курбанов

### Влияние различных способов опыления на образование семян камеденоносных астрагалов

#### РЕЗЮМЕ

Камеденоносные астрагалы (*Astragalus L.*) являются новыми техническими растениями Азербайджана, дающими ценное сырье камеди. Исследованиями установлено, что у астрагалов: Андрея, обнаженного и иглообразного при методах смешанной пыльцы и естественного перекрестного опыления образование семян в плодах в 5—7 раз больше, нежели в инцукте. Кусты астрагалов с впуском насекомых в кабину дают значительно больше семян, чем без насекомых. С возрастом кустов образование семян значительно повышается.

СЕЛЕКЦИЯ

Академик И. К. АБДУЛЛАЕВ

К ВОПРОСУ КАРИОСИСТЕМАТИКИ РОДА *MORUS* L.

Многолетние исследования, проведенные нами по естественной и экспериментальной полиплоидии у рода *Morus* показали, что как и следовало ожидать, с изменением числа и морфологии хромосомного набора в соматической клетке изменяются ботанико-морфологические анатомические, цитологические, биохимико-физиологические особенности растений.

У вновь полученных триплоидных, тетраплоидных, пентаплоидных, гексаплоидных, гектаплоидных, октоплоидных, анэуплоидных, декаплоидных и других более высокополиплоидных форм растений рода *Morus* происходят большие изменения генеративных и вегетативных органов живых организмов. Подавляющее большинство этих изменений является наследственным и передается потомству.

У вновь полученных полуплоидных форм настолько сильно изменяются ботанико-морфологические особенности, что становится особенно затруднительным отнесение их к существующим систематическим таксонам. Это положение ставит перед нами задачи глубже вникать в вопросы формо- и видообразования растительных организмов и связывает их систематику с результатами кариологических данных, являющихся наиболее константными показателями.

Прежде, чем изложить основные положения наших исследований, считаем целесообразным остановиться на вопросах видо- и формообразования.

Как известно, зоологи считают, что общее число известных видов животных приближается к 1,5 млн., а число современных видов растений, по данным ботаников, составляет более 500 тыс., тем не менее каталогизация современных видов растений и животных далека

Ежегодно ученые описывают десятки и сотни новых растительных и животных видов; в настоящее время их количество становится еще больше, т. к. наряду с естественным формообразованием в результате вмешательства человека с применением современных генетических методов проводится переделка природы растительных организмов, что способствует созданию новых таксономических единиц.

В настоящее время, в целях определения специфики, многие ученые стали использовать также данные экологии, цитогенетики и биохимии, в результате чего можно говорить о четырех критериях: 1)

морфологический, предусматривающий морфолого-анатомический анализ исследуемой органической формы с целью установления характерных для нее признаков. Таким образом этот критерий свидетельствует о морфологической изоляции вида; 2) физиолого-биохимический, предусматривающий всесторонний физиолого-биохимический анализ исследуемой органической формы с целью выявления ее специфических свойств. Следовательно, он свидетельствует о физиолого-биохимической изоляции вида; 3) генетический, который в основном базируется на различии кариотипа, т. е. совокупности признаков хромосомного комплекса и нескрещиваемости особей разных видов в естественных условиях; 4) эколого-географический, предусматривающий эколого-географический анализ исследуемой биологической формы с целью установления закономерностей географического распространения и особенностей ее взаимоотношения с факторами внешней среды. Этот критерий свидетельствует об эколого-географической изоляции вида (Ф. Н. Правдин, 1968),

Все эти критерии имеют важное значение в формо- и видообразовании и вполне закономерно, что они учитываются при определении основного критерия вида.

На наш взгляд, все три критерия имеют подчиненный характер. Наиболее решающим является генетический, который в основном базируется на различии кариотипа, т. е. совокупности признаков хромосомного комплекса, т. к. основным источником наследственной информации у организмов, имеющих клеточное строение, служит хромосомный аппарат ядра. Хромосома — это не просто нить ДНК, а морфологическое сложное образование, соответствующее определенному уровню эволюции генетических систем.

Важным этапом в эволюции генетической системы следует считать возникновение в цикле развития длительной диплоидной фазы и переход к гаметической редукции. Как известно, этот этап эволюции свойствен всем без исключения многоклеточным организмам, в том числе высшим.

Возникновение диплоидной генетической системы имеет по сравнению с гаплоидной большие биологические преимущества. Создается возможность накопления большого резерва наследственной изменчивости, в результате рецессивных мутаций не проявляющихся или слабо проявляющихся фенотипически.

В эволюции растительного мира очень большую роль играет полиплоидия — кратное увеличение хромосомных комплексов. Переход с диплоидного на полиплоидный уровень сопровождается глубокой реорганизацией генетической системы.

Установлено, что более 50 процентов цветковых растений имеют полиплоидные виды. Исключительно большое значение сыграла полиплоидия в происхождении культурных растений (П. М. Жуковский, 1964).

Переход генетической системы на полиплоидный уровень не только вызывает изменения ботанико-морфологических, анатомических, цитологических, биохимико-физиологических свойств организмов, но и приводит к глубоким изменениям механизма наследования признаков. Обычная менделеевская закономерность расщепления нарушается (Н. П. Дубинин, В. К. Щербаков, 1965). Вместе с тем, удвоение числа хромосом служит одним из наиболее эффективных методов преодоления бесплодия при отдаленной гибридизации у растений.

Полиплоидия имеет и большое народнохозяйственное значение, т. к. человечество питается в основном растительной полиплоидией (П. М. Жуковский, 1964).

Многие культурные растения имеют полиплоидные формы, а некоторые из них даже располагают полиплоидными рядами. Известны полиплоидные ряды у основной продовольственной культуры пшеницы, ведущей прядильной культуры — хлопчатника, картофеля, земляники, кофейного дерева, ананаса и многих других ценных культурных растений.

Наличие полиплоидного ряда у культурных растений связано с определенными биологическими закономерностями, которые имеют исключительно важное значение в объяснении вопросов формо- и видообразования, а также эволюции культурных растений (И. К. Абдуллаев, 1965).

Еще тогда, изучая кариотип шелковицы, мы указали: „Это наталкивает нас на мысль, что систематика рода Морус, предложенная в 1923 г. японским ботаником Кайдзуми на основе ботанико-морфологических особенностей шелковицы, требует уточнения, а может быть при систематике одним из основных факторов надо считать количество и морфологические особенности хромосом.“

Мы заранее знаем, что она может вызвать возражения некоторых ботаников, проводящих до сих пор классификацию растений в основном по ботанико-морфологическим признакам, без учета набора хромосом, но мы считаем, что поскольку изменение количества хромосом вызывает изменение ботанико-морфологических и анатомических особенностей растений, то целесообразно при систематике растений за основу брать более константные показатели (в данном случае число и структуру хромосом).

Мы думаем, что такой подход к систематике как шелковицы, так и других многолетних культур более правильно отражал бы видовое разнообразие этих культур“ (И. К. Абдуллаев, 1965).

К этому заключению мы пришли, исходя из следующих соображений.

Во-первых, „систематика шелковицы в процессе ее разработки прошла ряд этапов. Отдельными авторами число видов шелковицы то расширялось, доходя до 120, то резко сокращалось и сводилось к 2—3 видам.“

Причиной таких резких расхождений в предлагаемых системах рода Морус является с одной стороны, характер исходного материала, на котором строились эти системы, а с другой — различный подход к понятиям вида и разновидности“ (А. И. Федоров, 1954).

Тем самым на основе существующих токсономических критерии не удается точно и более четко определить систематику рода Морус.

Во-вторых, проведенные нами и нашими сотрудниками многолетние исследования по естественной и экспериментальной полиплоидии показали, что при изменении полидности растений, изменяются и ботанико-морфологические особенности генеративных и вегетативных органов шелковицы, что не дает возможности отнести их к существующей систематике рода Морус, предложенной Кайдзуми.

Все это дало нам основание составить новую кариосистематику шелковицы на основе изменения числа и морфологических особенностей хромосомного набора в полном соответствии с полиплоидным рядом рода Морус, которая впервые была доложена на биологическом семинаре Института генетики и селекции АН Азерб. ССР 22 ян-

## Кариосистематика рода *Morus* L.

$x = 14$

### Анортоплоидный ряд

#### Подвиды

$3x = 42$

#### *Morus triplordica*

$5x = 70$

#### *Morus pentaploidica*

$7x = 98$

#### *Morus heptaploidica*

$9x = 126$

#### *Morus nonaploidica*

$11x = 154$

#### *Morus undeciploidica*

$13x = 182$

#### *Morus tredeciploidica*

$15x = 210$

#### *Morus quindeciploidica*

$17x = 238$

#### *Morus septemdeciploidica*

$19x = 266$

#### *Morus undevigintiploidica*

$21x = 294$

#### *Morus vigintiunaploidica*

### Ортоплоидный ряд

#### Виды

$2x = 28$

#### *Morus diploidica*

$4x = 56$

#### *Morus tetraploidica*

$6x = 84$

#### *Morus hexaploidica*

$8x = 112$

#### *Morus octaploidica*

$10x = 140$

#### *Morus deciploidica*

$12x = 168$

#### *Morus duodeciploidica*

$14x = 196$

#### *Morus quatturdeciploidica*

$16x = 224$

#### *Morus sedeciploidica*

$18x = 252$

#### *Morus duodevigintiploidica*

$20x = 280$

#### *Morus vigintiploidici*

$22x = 308$

#### *Morui vigintiduaploidica*

Проведенные нами исследования по изучению хромосомного набора полиплоидного ряда рода Морус дают нам основание сделать следующие выводы:

1. Полиплоидия является важным фактором видо- и формаобразования и эволюции рода Морус. При этом, как показали наши исследования, кратное увеличение хромосомного набора в полиплоидном ряду у рода Морус вызывает изменчивость свойств и признаков организмов, приводящих к образованию новых видов.

2. Увеличение числа хромосом в пределах одного рода до высокополиплоидного уровня (на примере рода Морус) не оказывает существенного влияния на изменение родовых признаков растительных организмов.

3. Полученные растения полиплоидного ряда не укладываются в существующей систематике рода Морус, предложенной японским ботаником Кайдзуми в 1923 г. Исходя из этого, на наш взгляд, целесообразно в основном построить систематику рода Морус, исходя из кариологических особенностей: рассматривая каждое звено краткого

увеличения хромосомного набора, как самостоятельный вид, а формы растений с несбалансированным количеством хромосом — как подвид рода *Morus*. Разновидности, относящиеся к виду и подвиду надо считать формой, а наилучшие формы растений, представляющие интерес для сельскохозяйственной практики — сортом.

## ЛИТЕРАТУРА

1. Абдуллаев И. К. Полиплоидный ряд в роде *Morus* и некоторые вопросы формо- и видообразования. ДАН Азерб. ССР, № 11, 1955.
2. Берман З. И., Завадский К. М., Зеликман А. Л., Парамонов А. А., Полянский Ю. И. Современные проблемы эволюционной теории. Изд-во "Наука", Л., 1967.
3. Жуковский П. М. Культурные растения и их сородичи. Изд-во "Колос", Л., 1964.
4. Комаров В. Л. Учение о виде у растений. Изд-во АН СССР, М.—Л., 1964.
5. Мюллер Ф., Геккель Э. Основной биогенетический закон. Изд-во АН СССР, М.—Л., 1964.
6. Правдин Ф. Н. "Дарвинизм". Изд-во "Просвещение". М., 1968.
7. Федоров А. И. "Тутоводство". Госсельхозлитература, 1954.

Институт генетики и селекции

Поступило 15.VII 1969

И. К. Абдуллаев

*Morus* аиләсінин кариосистематикасына даир

ХУЛАСӘ

Бир чох илләр әрзинде тәбии вә тәчруби полиплодија үзрә апарылған тәдгигатлар көстәрди ки, юни алымыш мұхтәлиф полидли тут формаларыны 1923-чу илдә Којдзуми тәрәфиндер тәртиб едилмиш *Morus* аиләсінин тәснифатында нәзәрә тутулан нөвләрә дахил етмәк бөյүк чәтииликләр тәрәддир. Буна көрә полиплоид сырасында хромосомларын гат-гат артмасыны нәзәрә алараг, *Morus* аиләсінин 11 нөвә вә 10 јарымнөвә аյырмағы мәсләһәт көрүрүк.

АЗЭРБАЙЧАН ССР ЕЛМЛӘР АКАДЕМИЈАСЫНЫН МӘРҮЗӘЛӘРИ  
ДОКЛАДЫ АКАДЕМИИ НАУК АЗЕРБАЙДЖАНСКОЙ ССР

ТОМ XXVII

№ 11—12

1971

УДК 572.77

СЕЛЕКЦИЯ

Академик А. М. КУЛИЕВ, Я. П. САРКИСЯН

## СИЛОСНО-ЗЕРНОВЫЕ СОРТА, ФОРМЫ И ГИБРИДЫ КУКУРУЗЫ

Известно, что кукуруза обладает большими потенциальными возможностями для получения высоких урожаев как зерна, так и силосной массы.

В числе силосных культур она занимает основное место в нашей стране.

В условиях Азербайджанской ССР, кроме некоторых районов (Шеки-Закатальской зоны и предгорья Нагорно-Карабахской автономной области — НКАО) кукуруза высеивается как силосная культура. Интерес к этой важной культуре со стороны колхозно-совхозного производства увеличился не только в Азербайджане, но и в других республиках Советского Союза.

В течение трех лет (1963—1965 гг.) путем закладки специальных опытов нам хотелось из большого числа сортов, форм и гибридов кукурузы отобрать силосно-зерновые сортообразцы.

Изучалось 67 номеров кукурузы, из коих 53 были получены в Институте генетики и селекции АН Азербайджанской ССР, а 14 номеров из различных научно-исследовательских институтов Советского Союза.

В качестве стандарта брался районированный в Азербайджане гибрид Краснодар-5. В числе взятых к испытанию сортообразцов были кремнистое, зубовидные и полузубовидные.

Изучение такого характера, на наш взгляд, представляло бы большой интерес и для других кукурузосеющих районов нашей страны.

Подобные исследования особенно важны для Азербайджана, который характеризуется разнообразием почвенно-климатических условий. Поэтому для каждой экологической зоны необходимо было подобрать свои сортообразцы силосно-зернового направления.

Для этого, в течение трех лет, в трех резко отличающихся зонах Азербайджана (Ширванская низменная зона — Агдаш 40 м над ур. моря, Предгорная зона НКАО — 405 м над ур. моря — с. Маргушеван и горная зона НКАО — 1260 м над ур. моря — с. Атерк) нами высеивались все 67 намеченных для испытания номеров. Опыты во всех зонах изучения закладывались квадратно-гнездовым способом, с оставлением в гнезде по два растения, в четырех повторностях, с учетной площадью  $50/\text{м}^2$ .

Все подопытные сортообразцы, начиная от всходов до полной

спелости, подвергались детальному биоморфологическому и хозяйственному изучению. При изучении хозяйственных особенностей сортообразцов в фазе полной спелости определялся урожай зеленой массы и зерна в початках. В указанной фазе особое внимание уделялось тем сортообразцам, масса которых при полной спелости зерна оставалась зеленой. Данные указанных исследований приводятся в таблице, из которой следует, что из 67 испытуемых сортообразцов

## **Урожай зеленой массы при полной спелости**

Название сортов, форм и гибридов	Ширванская зона (Агдаш)			Карзбахская низмен. (Маргушевэн)			Горная зона (Атерк)				
	Урожай зеленой массы, к/га	М±м	% влажности	Урожай зерна, к/га	М±м	% влажности	Урожай зерна, к/га	М±м	% влажности	Урожай зерна, к/га	М±м
1. Краснодарский-5	—	—	—	52,0±3,6	—	—	50,0±4,1	—	—	58	47,0±4,8
2. Закат. мест. ул.	373±0,7	56	58,3±4,4	420±2,8	60	56,9±2,6	—	—	—	—	—
3. Аджамет. бел. зуб.	—	—	—	60,0±3,4	—	—	52,0±6,3	—	—	—	—
4. Казбек	—	—	—	37,0±6,7	—	—	37,6±6,0	—	—	—	33,6±6,9
5. Линия НУ	—	—	—	37,7±5,7	—	—	31,9±4,0	—	—	—	28,3±6,5
6. Гиб.-5	367±0,6	58	50,4±5,4	425±2,1	62	48,0±6,0	—	—	—	—	—
7. Гиб.-26	365±1,2	57	62,5±9,1	380±1,6	60	56,4±4,2	450±1,1	64	50,5±5,1	—	—
8. Гиб.-76	—	—	—	56,6±9,1	—	—	53,0±3,3	—	—	41	41,4±4,6
9. 13/28	357±1,8	58	41,4±5,5	400±2,9	62	38,1±6,1	420±0,8	64	35,6±7,0	—	—
10. 17/37	350±2,3	56	64,6±3,6	378±3,1	60	58,3±3,1	407±3,0	64	50,3±4,7	—	—
11. 18/40	—	—	—	58,3±4,8	—	—	54,5±3,4	—	—	46,5	45,5±3,3
12. ВИР-267	—	—	—	66,5±2,2	345±1,5	56	62,0±3,6	382±1,3	62	53,4±4,2	—
13. ВИР-42	—	—	—	60,2±4,6	325±2,3	58	56,3±3,1	382±2,2	62	50,5±4,5	—
14. Азерб.-1	300±5,1	54	45,4±4,5	390±1,4	59	41,6±5,0	410±1,3	69	32,4±5,1	—	—
15. Азерб.-2	309±1,3	56	61,5±4,2	375±1,8	60	69,6±3,8	400±1,9	64	53,5±4,9	—	—
16. Азерб.-3	400±4,2	60	90,0±2,6	445±1,7	64	84,5±3,5	453±2,0	68	79,8±2,7	—	—
17. АСХИ-1	—	—	—	58,3±3,6	376±2,6	60	52,5±4,7	400±1,9	69	46,3±5,2	—
18. Буковский 3	—	—	—	45,3±4,2	285±2,3	60	41,6±6,1	302±2,6	62	40,4±6,1	—
19. Мардакергская мест. улуч.	250±2,8	54	58,6±4,9	400±2,0	62	54,0±3,8	435±2,4	64	50,2±5,4	—	—

кукурузы во всех трех зонах испытаний лишь 13 номеров отвечали поставленной задаче, т. е. у них в фазе полной спелости зерна вегетативная часть осталась зеленой. Поэтому у этих сортообразцов мы имели возможность наравне со сбором зерна 41–90 ц/га одновременно собрать и зеленую массу в пределах 300–453 ц/га, в зависимости от сорта и зоны.

Из 13 отобранных соргообразцов с двояким значением 7 номеров (Гибрид-26, 13/28, 17/37, Азербайджан-1, 2, 3 и Мэрдакертская белая) во всех трех зонах наст.

Наиболее урожайными зарекомендовали себя двойной межлинейный гибрид Азербайджан-3 (в настоящее время находится на испытании в Госкомиссии по соргоиспытанию сельскохозяйственных культур), в фазе полной спелости которого в зональном разрезе было получено 70—90 ц/га зерна в початках и 400—453 ц/га зеленой массы на силос, Закатальский местный улучшенный соответственно 56—58 ц/га и 373—420, Гибрид-26, 50—63 и 365—450 ц/га и т. д.

Таким образом, указанные номера смело можно рекомендовать в производство как силосно-зерновые формы.

## Выводы

Из всего вышеизложенного можно сделать следующие выводы  
1. Из 67 испытываемых номеров кукурузы 9—13 оказались силосно-  
зерновыми, из них 9 на Ширванской зоне и 13 номеров в предгорьях  
КАО, а 11 — в горной зоне НКАО.

2. Из 13 номеров силюсно-зернового направления 7 явились характерными для всех трех зон испытания. К ним относятся:

Гибрид-26, 13/28, 17/37, Азерб.-1, Азерб.-2, Азерб.-3 и Мардакертский местный белый, урожайность которых колеблется у Азерб.-3—400—453 ц/га зеленой массы 68—90 ц/га зерна початках, у Гибрида-26 соответственно 365—450 ц/га и 60—63 ц/га. Нет сомнения, что эти номера окажутся силюсно-зерновыми и в других районах Союза.

Институт генетики и селекции

Поступило 23. IX 1996

А. М. Гулијев, Ј. П. Сәркисјан

## Силос-дәнли гарбыдалы сортлары, формалары вә һибридләри

ХУЛАСЭ

Силос-дән үчүн өјрәнилән 67 нәмрәдән 7-си бу вә ја дикәр дәрә-  
ңәдә силос вә дән үчүн сечилмишdir. Бунларын ичәрисинде јашыл  
күтләсінә, дән мәһсулуна, һәмчинин кимжәви тәркибинә көрә Азәр-  
бајчан-3 вә һибрид-26 ән юксәк көстәричијә маликdir. Азәрбајчан-3  
һәр гектардан 400—453 сант јашыл күтлә, 68—90 сант гыча илә бир-  
ликтә дән мәһсулу, һибрид-26 исе уjғун олараг 365—450 вә [60—63 сант  
мәһсул верир.

МИКРОБИОЛОКИЯ

В. Ч. ТАФЫЛЕВ, Т. А. МАРТИРОСОВА

**ГАРАЙОНЧА ВӘ ЖЕМ НОХУДУ ІУМРУЧУГ  
БАКТЕРИЈАЛАРЫНЫН КАТАЛАЗ ФӘАЛЛЫҒЫ**

(Азәрбајҹан ССР ЕА академики М. Г. Гәнијев тәгдим етмишdir)

Муасир дөврдә тәдгигатчылар јумручуг бактеријаларынын фәаллышыны гыса мүддәтдә тә'јин етмәк үчүн бир чох сүр'этләндирнически үсуллардан истифадә едиirlәр. Бу мәгсәдлә алимләр мұхтәлиф биокимјәви көстәричиләрдән: тәнәффүс интенсивлијиндән [3, 4, 5], деидрокеноз фәаллышыдан [6, 8], амин туршулары вә витаминаларынын миграцияндан [2, 3], изоелектрик нәгтәдән [7, 9] вә с. истифадә етмишләр.

Әдәбијатда бактеријаларын биокимјәви көстәричиләри лә онларын фиксәтмә фәаллышы арасында мүәјжән гарышылыгы әлагәнин<sup>2</sup> олмасы көстәрилir. Лакин јухарыда дејилән биокимјәви үсуллардан истифада етмиш тәдгигатчылар јумручуг бактеријаларын фәаллышыны дәгиг сурәтдә лабораторија шәраитинде көстәрмәјә наил ола билмәмишләр.

Јухарыда гејд етдијимиз биокимјәви үсуллардан бири дә каталаз фәаллышыдыр. Јумручуг бактеријаларын каталаз фәаллышыны өјрәнүү мәкдән мәгсәд мұхтәлиф фәаллышыны штамларын мө'јер еффектлији, ейни заманда јумручуг бактеријаларын еффектлији илә каталаз фәаллышы арасында гарышылыгы әлагәни тә'јин етмәкдир. Бунунда әлагән гәдар лабораторија тәчрүбәси апарылыш, гарајонча вә жем нохуду јумручуг бактеријалары штамларында газометрик үсулла каталаз фәаллышы өјрәнилмишdir.

Тәчрүбә республикамызын мұхтәлиф еколожи шәраитинде ажылыш 76, 9a, 13a, 14a, 17a, 19, 23, 39, 39a, 60, 62 штамларында вә Москвада К. А. Тимирјазев адына Кәнд Тәсәррүфаты Академијасынын микробиологија кафедрасындан алыныш 222 штамында апарылышыдыр. Бунун үчүн гарајонча вә жем нохуду јумручуг бактеријала-и чарисинде агар пахлавы гидалы мүһит олан Петри габларында ажылмиш вә 23°C термостатда 3—5—10 күн сахланылышдыр.

Бактеријал селик өртүк Петри габлары сәттіндән фарфор һәвәнкә кечириләрек үзәринде бир аз „шүшә“ гуму, 10 мл дистиллә олунмуш лышыны тә'јин етмәк үчүн колбаја кечирилмишdir. Гатылығы 3% олан һидрокен пероксид көтүрүлмүш вә 1 г мигдарында CaCO<sub>3</sub> нејтраллашана гәдер әлавә едилмишdir (каталаз түрш мүһитдә инактивләшир).

Ичәрисинде 2 мл 3%-ли һидрокен пероксид олан кичик габдакы мәһлүл еһмалча колбанын дибинә төкүлмүш, колба еһтијатла чалхаланмыш вә һәр 5 дәгигәдән бир оксикенин мигдары мүәјжән едилмишdir. Җәдвәлдә беш күнлүк гарајонча вә жем нохуду јумручуг бактеријалары штамларында (културасында) апарылыш аналиләрин нәтиҗәсү верилмишdir.

Чәдвәл

**Гарајонча вә жем нохуду јумручуг бактеријаларында  
каталазын тә'јини (ини тәкірардан)****Оксикенин ажырлма мүддәти, мл-лә**

Штам- ларын №-си	Гарајонча јумручуг бактеријаларында		Жем нохуду јумручуг бактеријаларында		
	5 дәгигә	10 дәгигә	Штам- ларын №-си	5 дәгигә	10 дәгигә
19	24,5	25,0	76	17,8	19,1
23	26,1	30,0	9a	17,2	17,0
39	15,6	30,2	13a	23,0	25,0
39a	12,2	19,1	14a	19,6	25,8
60	15,9	22,1	17a	15,6	16,4
62	9,6	18,3	222	21,6	29,5

Чәдвәлдәки рәгемләрдән көрүнүр ки, гарајонча вә жем нохуду јумручуг бактеријаларында каталаз фәаллышы мұхтәлифdir. Бу тәчрүбә штамларын фәаллышыны иисбәтән дәгиг тә'јин етмәјә имкан верир. Ади гајда үзрә, фәал штамларда каталаз յүксәк, ашағы фәал штамларда исә зәиф олур.

Беләликлә, чәдвәлдәки рәгемләр истифадә етдијимиз гарајонча јумручуг бактерија штамларыны үч вә жем нохуду јумручуг бактерија штамларыны 2 һиссәjә бөлмәjә имкан верир. Гарајонча штамларында биринчи һиссәjә каталаз фәаллышы 30 вә յүксәк мл оксикен ажыран штамлар аидdir. Бураја 23 вә 39 фәал штамлары дахилdir.

Икинчи һиссәjә каталаз фәаллышы 20 вә յүксәк мл оксикен ажылан штамлар аидdir. Бу һиссәjә 19 вә 60 орта фәал штамлар дахилdir.

Үчүнчү һиссәjә исә зәиф каталазлы штамлар аидdir. Бураја 39a вә 62 штамлары дахилdir.

Жем нохуду јумручуг бактерија штамларынын биринчи һиссәсindә каталаз фәаллышы յүксәк олан 13a, 14a вә 222 фәал штамлар аидdir.

Икинчи һиссәjә орта каталазлы 76, 9a вә 17a штамлары дахилdir.

Гејд етмәк лазымдыр ки, алымыш нәтичәләрә көрә, јумручуг бактеријаларын каталаз фәаллышы онун башга физиоложи-биокимјәви хүсусијәтинә иисбәтән дүзкүн көстәричи олмагла штамларын фәаллышыны лабораторија шәраитинде тез јохламага имкан верир.

Мәлум олмушдур ки, каталаз фәаллышы еффектлији յүксәк олан јумручуг бактерија штамларында еффекти олмајанлара иисбәтән артыгдыр. Бу әламәт (каталаз фәаллышы) лабораторија шәраитинде јумручуг бактерија штамларынын фәаллышыны тә'јин етмәјә имкан верир.

**ӘДӘБИЈАТ**

1. Аристовская Т. В., Владими尔斯кая М. Е., Голлербах М. М., Ка-танская Г. А., Кашкин П. Н., Клутт С. Е., Лозина-Лозинский Л. К., Норкина С. П., Румянцева В. М., Селибер Г. Л., Скалон И. С., Ско-родумова А. М., Хетаругова Ф. В., Частухин В. Я. Большой практикум по микробиологии. 1962. 2. Гаркавенко А. И. Изучение активных и малоактивных

клубеньковых бактерий. Автореферат канд. дис. М., ВНИИ, с. х. микроб., 1962.  
3. Мишустин Е. Н., Шильникова В. К. Азотфикссирующая активность клубеньковых бактерий и ее показатели. В сб. IX Международный микробиологический конгресс. 1956. 4. Тагиев В. Д. Дыхательная активность клубеньковых бактерий гороха и люцерны, обработанных различными концентрациями гетероауксина. ДАН Азерб. ССР (серия биол. наук), № 11, 1967. 5. Федоров М. В., Ласло Д. Азотфикссирующая активность клубеньковых бактерий гороха и вики в клубеньках в различные фазы развития бобового растения. Изв. ТСХА\*, № 2, 1956. 6. Шильникова В. К., Агаджанян К. Г. Исследования дегидрогеназной активности различных по эффективности штаммов клубеньковых бактерий. Изв. ТСХА\*, вып. 3, 1965. 7. Шильникова В. К. Критерий эффективности клубеньковых бактерий. Изв. ТСХА\*, № 4, 1965. 8. Шмидт Э. Ф. Дифференциация штаммов клубеньковых бактерий на основании данных по определению активности «бессубстратных» дегидраз. «Микробиология», 33, № 2, 1964. 9. Яковлева З. М. Изозелектрическая точка клубеньковых бактерий. Изв. АН СССР (серия биол. наук)\*, № 4, 1959.

## Зоологија институту

Алынмышдыр , IX 1968

**В. Д. Тагиев, Т. А. Мартиросова**

# О катализной активности клубеньковых бактерий люцерны и гороха

РЕЗЮМЕ

С целью выявления наиболее активного штамма клубеньковых бактерий люцерны и гороха нами использован показатель каталазной активности клубеньков.

Исследования проводились с клубеньками люцерны и гороха, выделенными в различных экологических условиях Азербайджана, а штамм 222 был получен на кафедре микробиологии ТСХА.

При использовании этого показателя нами установлено, что ката-  
лазная активность у эффективных штаммов выше, чем у неэффектив-  
ных. Этот признак позволил в наших опытах дифференцировать ак-  
тивные и неактивные штаммы.

V. D. Tagiyev, T. A. Martirosova

## On the catalase activity of nodule bacteria of alfalfa and pea

## SUMMARY

The investigations showed that the catalase activity of effective strains is higher than that of ineffective ones. This fact permitted to differentiate active and inactive strains.

ӘБҮЛФӘЗ РӘНІМОВ

# ШАЬ ТЭҮМАСИБИН ТУРКИЈАЈЭ ҺЭДИЛЭ ҚӨНДЭРДИЈИ КИТАБЛАР

(Азәрбајҹан ССР Елмләр Академијасының академики Ә. Ә. Элизадә тэддим етмишидир)

XV əsrдə Һерат шәһәри Шәргин мүһум мәдәнијәт мәркәзләриндән бириңә чеврилмишди. Бајсунгур Мирзә (1397—1443), Султан Шаһ-рух (1405—1447), Султан Һүсейн Бајгара (1469—1506) вә Элишир Нәвайинин (1441—1501) сарајларында бөյүк китабханалар тәшкил едил-миш, чохлу мәдрәсә тикилмишди. Бу китабханаларда әсрин ән көр-кәмли хәттат, рәссам, тәэнибкар вә чилдчиләри чалышыр, мәдрәсә-ләрдә исә мәшһүр алимләр дәрс дејирдиләр. Дөврүн бу көркәмли сәнәткарлары мәзкур дөвләт хадимләри тәрәфидән һимајә едилир вә онларын јарадычылығы үчүн шәраит јарадылырды. Мәһз буна көрә дә XV əсрдә бир сыра Азәрбајҹан алым вә сәнәткарлары Һерата кеч-муш вә бу шәһәрдә ишләмишләр<sup>1</sup>. Лакин XVI әсрин әvvәllәrinдән вә-зијјәт дәјишир. 1506-чи илдә Султан Һүсейн Бајгара вәфат етдикдән соңра һакимијјәт уғрунда апарылан мүбаризәләр күчләнир, сәнәткар-лар нәинки һимајә олунмур, һәтта онларын ишләмәси үчүн шәраит јарадылмыр, әмәкләри гијиэтләндирilmir. Бу заман артыг бөйүк бир әразидә Шаһ Исмајыл Хәтанин (1502—1524) рәhbәрлији алтында ја-радылмыш сәltәнәт күндән-күнә инкишаф едирди. Шаһ Исмајыл өз сарајына шаирләр чәлб едир вә сарај китабханасыны даһа да зәнкүн-ләшдирмәјә чалышырды. Белә бир һимајәдарлыгдан хәбәр тутан сә-

<sup>1</sup> Нерат нағында көниш мә'лumat үчүн бах: В. В. Бартольд. Сочинение, т. II, ч. 2, М., 1964, сән. 206—211; Е. Э. Бертельс. Избранные труды<sup>®</sup> (Новак и Джамми), М., 1965, сән. 17—22; А. А. Семенов. Гератское искусство в эпоху Алишера Навои, Родоначальник узбекской литературы (сборник статей об Алишере Навон) Ташкент, 1940, сән. 126—152; В. М. Массон, В. А. Ромодин. История Афганистана.

سرور گویا اعتنادی، «آبیدات نفیسه هرات»، ۱۳۴۳ ش، فکری سلحوتی هروی «امیر علی شیر و آثار عمرانی او» در کتاب «امیر علی شیر نوایی فانی»، بگوشش محمد یعقوب واحدی جوز جازی «بابل»، ۱۳۴۶ ش، ص ۵۱-۴۳، معین الدین محمد زمچی اسفزاری، «روضان»، الجنات فی اوصاف مدینة هرات» بخش دوم، تهران، ۱۳۳۹ ش

нәткарлар һератдан Тәбризә мұрағнәт етмәjә башлајырлар. Аз бир заманда Тәбриздәки сарай китабханасының фонду даға да зәнкүнләшир. Шаһ Исмаїл Хәтаинин 1522-чи илдә вердижи хұсуси фәрмана, әсасен бу китабхананың рәhбәрлигінә Шәргин ән мәшhур рәссамы Кәмаләddин Беңзәд тә'жин олунур. 1524-чү илдә Шаһ Исмаїл Хәтаи вәфат етдикдән соңра онун җеринә сәлтәнәт таҳтына отурмуш Шаһ Тәһмасиб (1524—1576) өз атасының мүгәддәс ишини давам етдирир. Дөврүн ән мәшhур җәхеттат вә рәссамларындан хұсуси дәрс алмыш һәкмдер һәмчинин онун бачылары, гардашлары, гардаши ушаглары (хұсусилә Бәһрам мирзә вә онун оғлу Ибраһим мирзә) өз китабханаларының нәфис әлжазмалары илә зәнкүнләшмәсінә хұсуси Фикир ве-рирләр. Шәргин ән мәшhур җәхеттатлары тәрәфиндән үзү көчүрүлмүш јүзләрлә, минләрлә әсәр Тәбриздәки сарай китабханасының рәфләрини бәзәjир. 951 (1544—1545)-чи илдә пајтахтын Тәбриздән Гәзвинә көчүрүлмәси илә әлагәдар оларға китабхана да жени пајтахта көчүрүлүр<sup>2</sup>. Истәр Тәбриз, истәрсә дә Гәзвиндәки сарай китабханасы илә жа-хындан таныш олан Әбди бәj Ширази (1515—1580) Шаһ Тәһмасибин сарай китабханасында Мирәли, Султанәли, Әзһәр, Әниси Әбришими, Мәһәммәд Нур вә Маһмуд кими мәшhур җәхеттатларын әли илә көчүрүлмүш мәнзүм әсәрләrin сајының һәddән чох олдуғуну геjд ет-мишdir<sup>3</sup>. XVI—XVII әсрләрдә жазылмыш бир сырға тарихи, әдәби әсәрләрдә, һәмчинин мұасир елми мәгаләләрдә дә Шаһ Тәһмасибин сарай китабханасы вә орада чалышан сәнätкарлар нағында бәjс олун-мушшудур. Лакин бу китабханадан бир сырға әсәрләrin нә заман вә нә мұнасибәтлә Түркиjә апарылmasы нағында демәk олар ки, һеч бир шеj жазылмамышдыр.

Назырда Түркиjәнин мұхтәлиф музей вә китабханаларында вахти-лә Шаһ Тәһмасибин сараj китабханасында мөвчуд олмуш бир сырғанәфис, надир әлjазма нұсхәләри сахланылып. Шубhә јохдур ки, бұн-ларын бир һиссәси османлы ордуларының ишғаллары заманы башга-гиjмәтли шеjләрлә гарәт олунуб апарылмышдыр. Лакин онларын мұ-ежjәя бир һиссәси Шаһ Тәһмасибин билаваситә шәхси көстәриши илә Түркиjәjә hәдиjә көндәрилмишdir. Бу барәdә XVI әсрин хәттат вә тарихчиләrinдәn Будаг Мүнши Гәзвининин „Чәваһиrүл-әхбар“ адлы тарихи әсәrinдә дәгиг мә'lumat верилмишdir.

Будаг Мұнши Гәзвинни мұәжжән мұнасибәтләрлә II Султан Сәлим (1566 — 1574) вә онун оғлы III Султан Мурада (1574 — 1595) үмумиј-јәтлә 51 нағис, надир әлжазмасы көндәрилмәсі нағгында бәһс едәр-кән көстәрир ки, Азәрбајҹан сәрхәдләриниң һакими Шаһгулу Султан Устачлу ҹан-ҹәлалнан Түркијәје јола салынды. Онун апардығы һә-дијјәләр ичәрисинде мәрһүм шаһ Тәһмасиб сәлтәнәтиниң илк иллә-риндә, охумаға вә јазмаға мејл етдији дәврдә, хәттатлар вә рәссам-лар падшашын хидмәтиндә олдуғу заман, 20 ил мұддәтиңе һазырлан-мыш „Шаһнамә“ дә варды”.

<sup>2</sup> Сәфәви дөврү китабханалары нағында нисбетән кеңиши мәлumat үчүн бах-  
Э. М и на и вә Э. Рәһимов. Орта эср китабханаларымыз, „Әдәбијат вә инчәсәнәт“  
газети, 31 июл 1965-чи ил; Іңә ойларын. Жаҳын Шәргин орта эср китабханалары  
нағында. „Азәрбайҹан ССР Елмләр Академијасының Ҳәберләри“ (Әдәбијат дил вә  
инчәсәнәт сериясы), №2, 1967, сал. 43—46.

<sup>3</sup> «Хамитин», Ширази, Абдул Бек Вәрәг 157 б. Азәрбайҹан ССР ЕА Республика Әлјазмалары фонду, иш № 3840.

4 بوداق منشى قزوينى «جواهر الاخبار» вәрәг 133. Салтыков-Шедрин  
адына Дөвләт Күтләви китабханасындаки әлјазмасы. Лори № 200

Будаг Мұншинин бу геіндіндән мәлүм олур ки, Шаһ Тәһмасиб үшаг икән | дөврүнүң мәшһүр хәттат вә рәссамларындан дәрс аларкән, тәхминән XVI әсрин биринчи йарысының орталарында 20 ил мүддәттіндә һазырланмыш Фирдовсинин өлмәз „Шаһнамә“сінин көзәл хәтли, нәфис миннатүрлү бир әлжазмасыны сонралар османлы султанына һәдийјә көндәрмишdir.

Будаг Мұнши Шаһ Тәһімасибин III Султан Мурада چұлусу мұнасабеті илә һәдійі көндәрди жаңы китаптардан мә'лумат берәркән көстәрир ки, османлы султана Сәлимин өлүм хәбәри кәлиб чатды. Онун оғлу Мурад атасының әрінә тахта қыхды. Түркијә бир-бириниң ардынча елчи, мәктуб, тәһфә вә һәдійлер көндәрилди. Шаһгулу Султана оғлу Чухурсә'д һакими Мәһәммәди Султан Түркијә кедәркән, она Султана тәгдим етмәк үчүн ләјагәтли тәһфәләр верилди. Бу тәһфәләр ичәрисинде 250 түмәнә баша қәлмиш чадыр, өз дөврүнүн надир усталары вә өз сәнәтләринин мисилсиз сәнәткарлары олан Мөвлана Султанәли, Мөвлана Мирәли, Молла Мирәлиниң инди дә сағ олан вә өз устадыны өтмуш шакирди Хачә Маһмуд Сәјавушани, Мөвлана Султан Мәһәммәд Хәндан, Султан Мәһәммәднур, Гасым Шадишаһ вә Зинәтиң хәтти илә յазылмыш 50 чылд минаятүрлү китаб да варды. Һәмин китаптардан неч бирн Түркијә султанаңын—Хандикарын хәзинәсіндә юх иди. Султан Ибраһим миңзә әкитаптарын көндәрил-мәмәси үчүн чәсарәт едиб дәфәләрлә деди ки, бу китаптарын башга нұсхаларини әлдә өтмәк мүмкүн олмајағдыры. Әвәзинде башқа шеңкөндәрин. Онлар бу китаптарын гәрдини билмәзләр вә баша дүшмәзләр. Султан Ибраһим миңзә из гәдәр дедисә, фајдасты олмады. Она ҹаваб вердиләр ки, бизә асуәдәлик вә асајиши лазымдыры, нәнниң неч вахт көрмәјәчәлім вә бир дәфә охумајағым китаб. Бу барәдә сөһбәти гүрттардылар вә о тәһфәләр неч олду<sup>5</sup>.

Элбәттә, өз дөврүндә мәшһүр китабхана саһиби олан Бәһрам мирзәниң оғлу инчәсәнәтин мұхтәлиф саһаләринә јијәләниш Ибраһим миңәннің<sup>6</sup> е'тиразы, әмиси вә гајнатасы Шаһ Тәһмасибин исрары тәсадүфи дејилдир. Шаһ Тәһмасиб дә өз дөврүнүн алым, шаир, хәттаты олмуш<sup>7</sup>, истәр Тәбриздәки сарајында, истәрсә дә Гәзвиндә Сәадәтабад бағында тикдириди жаңында зәнкүн китабхана тәشكіл етмиш вә бу китабханада дөврүн ән мәшһүр хәттатлары, рәссамлары, тәз-хибкарлары, чилдчиләри чалышмышдыр. О, һәр бир сәнәт әсәрнин гијмәтини билмиш вә мәһз буна көрә Түркијәгә мисли-бәрабәри олмајын һәдијә—китаб көндәрмишdir. Лакин Шаһ Тәһмасиб атасы Шаһ Исмајылын әксинә олараг демәк олар ки, һәмишә ачыг мұһарібә мейданына кирмәкдән чәкинмишdir. Мә'лум олдуғу кими, XVI әсрин әvvәлләрindән башлајараг, османлы султанларының ордулары дәфәләрлә Сәфәви дәвләти әразисинә һүчум етмиш вә хүсусилә Җәнуби Азәрбајчаны гарәт етмишләр. Іалның 1555-чи илдә Шаһ Тәһмасиб I Султан Сүлејманила сүлһ мұғавиләси бағламаға мұвәффәг олмушdu. „Бунуила да Сәфәвиләр узун мүддәт мұһарібәләрдән соңра бир мүддәт динчлик әлдә етдиләр<sup>“8</sup>. Шаһ Тәһмасиб мәһз бу динчлик хати-

<sup>5</sup> Будаг Мүнши Гэзвини. Көстәрилэн элжасмасы, вәрәг 134а

آثار خوش نویسان» بخش اول، تهران، ۱۳۴۵

ش، ص ۱۳-۹ مهدی بیانی، «شرح حال و اوضاع از تاریخ اسلام»، نویسنده، ۱۴۰۰

7 XVI әсрдә Іасылмыш мұхтәлиф бәдии вә тарихи әсәрләрдә, пәнчани мұсағыр алимләри тәдигатларында Шаһ Тәймасибин тәңисли, шаирлини, алимили, хәттат-шыны да с. нағызында мә'лумат вардыр.

Азәрбайҹан тарихи, I чилд, Бакы, 1961, сəб. 256.

рине дә айдыны позараг 967 (1559)-чи илдә она пәнаһ кәтирмиш Гүлтан Сүлејманын оғлу Бајәзиди османлы елчиләриңе тәгдим етмишди<sup>9</sup>. Демәли, Шаһ Тәһмасиб 1555-чи ил мүгавиләси әсасында әлдә етдиңи әмин-аманлығы I Сүлтан Сүлејман вә II Сүлтан Сәлимин һакимијәт дөврүндә олдуғу кими, III Сүлтан Мурадын заманында да горумаг әзминдә олмуш, буна көрә дә чох севдиң гардашы оғлу вә күрәкәнинин хәнишини рәдд етмиш, она ачыг сурәтдә „мәнә асуәлик вә асаиши лазымдыр, нәнни һеч вахт көрмәјәгәим вә бир дәфә охумајағым китаб“ демишdir.

Жаһын әз Орта Шәрг халглары институту

Алынмышыр 29. I 1969

А. Г. Рагимов

## О книгах, подаренных Турции шахом Тахмасибом

### РЕЗЮМЕ |

В настоящее время в ряде музеев и библиотек Турции хранятся рукописи, написанные прекрасным почерком, содержащие великолепные миниатюры нескольких известных каллиграфов и художников, живших на территории Сефевидского государства.

Несомненно, часть этих рукописей была увезена в Турцию во время нападения османцев в XVI—XVII вв., а некоторые из них были подарены Турции по указанию шаха Тахмасиба.

В статье говорится о 51 рукописи, подаренной шахом Тахмасибом султану Селиму II и султану Мураду III.

A. H. Rahimov

## On the MSS presented to Turkey by Shah Tahmasib

### SUMMARY

The paper gives a short account about the manuscripts which were presented to Sultan Murad (1574—1595) on the occasion of his coronation in 1574.

Г. С. ИСМАИЛОВ

## НОВЫЕ ДАННЫЕ О ГАРАБУЛАГСКОМ ДРЕВНЕМ МОГИЛЬНИКЕ

(Представлено академиком АН Азербайджанской ССР А. А. Али-заде)

В археологической литературе хорошо известно Гарабулагское могильное поле, находящееся вблизи города Физули (быв. Карагино) Азербайджанской ССР.

В конце прошлого столетия, в 1896 г., пять курганов указанного погребального памятника были раскопаны А. А. Ивановским. Результаты раскопок им были опубликованы в „Материалах Археологической Комиссии“<sup>1</sup>.

В Карабулагском могильном поле А. А. Ивановским было отмечено свыше 20 курганов разной величины, расположенных непосредственно на правом берегу Кенделенчая. Большинство этих курганов остается и поныне своеобразным украшением местного ландшафта.<sup>2</sup> В свое время под двумя исследованными А. А. Ивановским курганами были обнаружены погребения в каменных ящиках с различными металлическими, глиняными и каменными изделиями. В других же двух курганах выявлены следы трупосожжения. Наиболее интересными были раскопки пятого кургана, под которым обнаружена большая погребальная камера с богатым вещественным материалом.

Все пять курганов на основе добытого из них различного и довольно многочисленного инвентаря, хорошо поддающегося сопоставлению, исследователями были отнесены к эпохе поздней бронзы и начала железа.<sup>3</sup> Вследствие этого же Гарабулагское могильное поле до последнего времени считалось погребальным памятником указанных эпох.

И лишь новые археологические исследования, начатые совсем недавно в обширном бассейне Кенделенчая, расширили наши представления об этом весьма значительном погребальном памятнике Азербайджана.

<sup>1</sup> А. А. Ивановский. По Закавказью. МАК, вып. VI, М., 1911.

<sup>2</sup> На данном могильнике хорошо прослеживаются курганы, исследованные А. А. Ивановским. К сожалению, несколько целых курганов в последнее время безжалостно разрушены различными строительными работами.

<sup>3</sup> Н. В. Минкевич-Мустафаева. О датировке и хронологических этапах некоторых памятников эпохи поздней бронзы и раннего железа. МКА, т. IV, Баку, 1962, стр. 109—139.

<sup>9</sup> Бајәзидин Гәзвинә кәлмәси барәдә иисбәтән кениш мәлumat үчүн баҳ: Э. Рәјасынын мәрүзәләри, № 2, 1965, сән. 76—80.

байджана. В 1965 г. здесь было обнаружено разрушенное грунтовое погребение с глиняными сосудами, резко отличающимися от подобных изделий эпохи поздней бронзы и раннего железа. Вследствие разрушенности могилы невозможно было установить форму и направление ее. В разрушенном и разбросанном виде находился и костяк. Здесь же были найдены упомянутые уже выше керамические изделия, которые состояли из двух относительно целых сосудов и нескольких черепков, принадлежавших различным по форме и размерам сосудам. Один из целых сосудов грубой ручной выделки. Он представляет собой небольшой горшок с прямым венчиком и вздутым туловом, которое суживается к узкому днищу (рисунок а). Изготовлен он из плохо отмученной комковатой глины. Поверхность неровная. Обжиг относительно хороший. И поэтому он равномерного красного цвета.

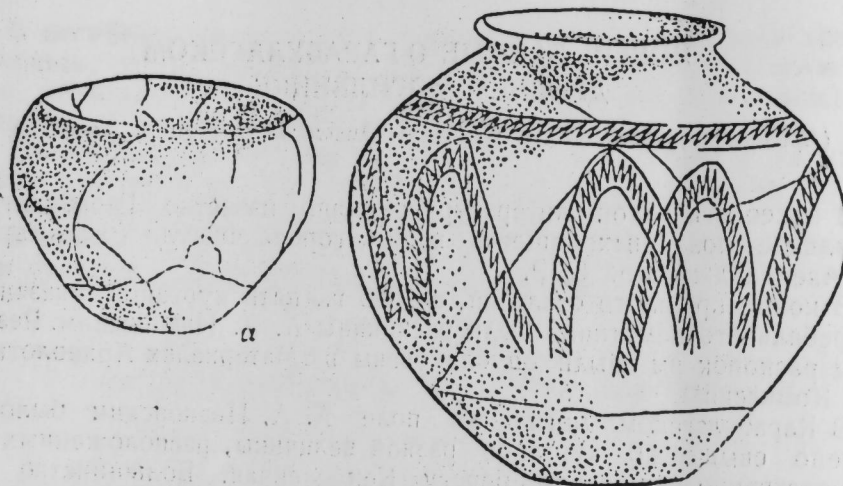
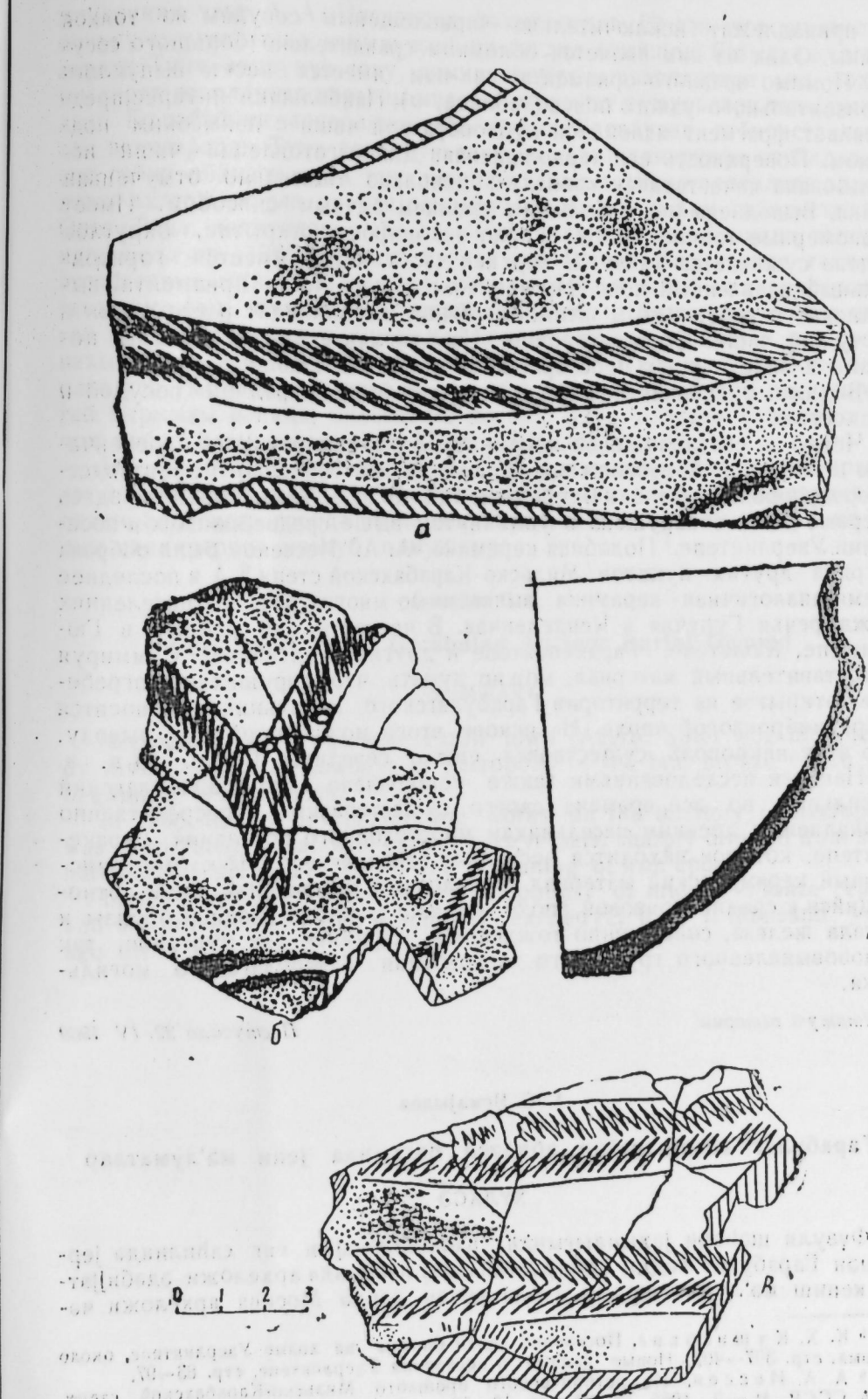


Рис.

Следует отметить, что такие сосуды, бытавшие в течение длительного времени, обычно считаются кухонной посудой. Много ее найдено в древнем поселении Узерликтепе, около Агдама. И по мнению К. Х. Кушнаревой, такая посуда скорее всего могла служить лишь для варки, подогревания и хранения пищи. Ибо в большинстве своем она имеет следы употребления на огне.<sup>4</sup>

Своей высокой технической обработкой резко отличается от описанного сосуда второй целый сосуд. Это— большой чернолощеный горшок округлой и несколько вытянутой формы. Днище узкое. Невысокая горловина его имеет сильно отогнутый венчик. В отличие от первого данный сосуд изготовлен из тонкой, высоко качественной глины. Имеет правильную симметричную форму и тонкие стены. Подвергнут равномерному обжигу. Блестящая черная поверхность его ориентирована, орнамент состоит из аркообразных врезных фиур, выполненных, по всей вероятности, шагающей гребенкой (рисунок, б). Схожий орнамент, выполненный таким же способом, имеется и на отдельных черепках. Один из этих черепков принадлежит толстостенному сосуду коричневого цвета (таблица, а, б, в). Другие же череп-

<sup>4</sup> К. Х. Кушнарева. Поселение эпохи бронзы на холма Узерликтепе, около Агдама. МИА СССР. М.—Л., 1959, №67, стр. 397; Ее же. Новые данные о поселении Узерликтепе, около Агдама. МИА СССР. М.—Л., 1965, № 125, стр. 81—82.



ки принадлежат исключительно чернолощеным сосудам из тонкой глины. Один из них является обломком сравнительно большого сосуда. Помимо врезного орнамента на нем имеется часть выпуклого горизонтального узкого пояса (таблица, а). Наибольший интерес представляет фрагмент маленькой кубообразной чаши с невысоким поддоном. Поверхность его чернолощеная. Для изготовления чаши использована качественная тонкая и довольно тщательно отмученная глина. Выполнена она с большим умением ручным способом. Имеет равномерные тонкие стены. Горло ее широко открытое, округлое туло в суживается книзу. В верхней части чаши имеется горизонтальный вдавленный пояс. На нем сохранилась часть орнамента, выполненного гребенчатым штампом. Такой же орнамент рас положен и на тулове чаши. Обжиг хороший. На фрагменте имеются следы починки в виде парных просверленных отверстий (таблица, б).

Видимо, описанная чаша в свое время была парадной посудой и редкостью.

Черно- и светлолощеная керамика, орнаментированная гребенчатым штампом в Азербайджане характерна для гончарного производства среднебронзовой эпохи II середины тыс. до н. э. Такая керамика здесь впервые была обнаружена в упомянутом выше среднебронзовом поселении Узерликтепе.<sup>5</sup> Подобная керамика А. А. Иессеном была собрана из ряда других пунктов Мильско-Карабахской степи.<sup>6</sup> А в последнее время аналогичная керамика выявлена во многих древних поселениях междуречья Гуручая и Кенделенчая. В частности, она найдена в Юнештепе, Кюльтепе, Гаракепектепе и других памятниках.<sup>7</sup> Суммируя сопоставительный материал, можно думать, что разрушенное погребение, открытое на территории Гарабулагского могильника, относится к среднебронзовой эпохе. На основе этого можно прийти к выводу, что этот некрополь существовал еще с середины II тыс. до н. э.

Нашиими исследованиями также установлено, что Гарабулагский могильник во все времена своего существования непосредственно принадлежал древним насељникам многослойного поселения Гаракепектепе, которое находится несколько западнее его. Ибо, многочисленный керамический материал, выявленный в Гаракепектепе и относящийся к среднебронзовой эпохе, и также к эпохе поздней бронзы и начала железа, совершенно тождествен керамике как курганов, так и исковыявленного грунтового погребения Гарабулагского могильника.

Институт истории

Поступило 22. IV 1969

Г. С. Исмаилов

### Гарабулаг гэдим гэбир абицэни һаггында јени мэ'луматлар

#### ХУЛАСЭ

Фүзули шэһәри Ѝаҳынлығында, Көндәләнчайын сағ саһилинде јерләшэн Гарабулаг гэдим гэбиристанлығы һаггында археологи эдэбијјатда кениш мэ'лумат вардыр. Һәлә кечән эсрә Мәскәү археологи чә-

<sup>5</sup> К. Х. Күшиарева. Поселение эпохи бронзы на холме Узерликтепе, стр. 397—402; Новые данные о поселении Узерликтепе, стр. 83—97.

<sup>6</sup> А. А. Иессен. Из исторического прошлого Мильско-Карабахской степи. МИА СССР, М.—Л., 1965, № 125, стр. 18—19.

<sup>7</sup> Указанная зона республики исследуется автором данной статьи. Материалы хранятся в археологическом фонде Института истории АН Азерб. ССР.

мијјэтинии үзвү А. А. Ивановски һәмин јердә 20-дән чох мұхтәлиф өлчүлү курган гејдә алмыш вә б-ни тәглид етмишиди. Газылан кургандардан Түнч дөврүнү сону, дәмир дөврүнү әvvәлләринә аид чохлу мигдарда вә олдугча мараглы мадди-мәдәнијәт нүмүнәләри тапылышыдыр. Бусәбәбән археологи эдэбијјатда Гарабулаг гэбиристанлығы сон вахталарадәк Түнч дөврүнү сону вә Дәмир дөврүнү әvvәлләринә аид гэбир абицэни кими танынышыды. Јалныз Ѝаҳын илләрдәки археологи ахтарышларла мүәjjән олунмуштур ки, бу гәдим гэбиристанлығ Орта Түнч дөврүндән — ер. эв. II минииллијин орталарындан мәвчуд иди. Белә ки, 1965-чи илдә бурада дағылмыш бир торпаг гэбирин әтрафындан гејд едилән дөвр үчүн сәчијјәви олан кил мә'мұлаты тапылышыдыр. Бунларын ичәрисинде ики әдәд бүтөв габ вә бир нечә габ гырыглары вардыр. Бүтөв габлардан бири гара чилалы вә к эсмә нахышларла бәзәдилмишdir (1-чи шәкил, б). Охшар нахышлар әлдә олан габ гырыглары үзәринде дә вардыр (1 табло). Бүтөв олан дикәр габ гырымызы рәнкә, билавасытә мәтбәх үчүн нәзәрәт тутулмуш вә чох кобуд һазырламышыдыр (1-чи шәкил, а).

Јени археологи тәдгигатларла мүәjjәнләшдирилмишdir ки, Гарабулаг гэбиристанлығы ер. эв. II миниилликдән I минииллијин әvvә лләринәдәк ондан бир гәдәр гәрбдә јерләшэн Гаракөпәктәпә Ѝашајыш јеринин гәдим сакинләринә мәнсүб олмуштур.

Ismailov G. S.

### New Facts about Garabulag Ancient Burial Ground

#### SUMMARY

Necropolis which was near Fizull town (Azerb. SSR) was interpreted by investigators till nowdays as necropolis of the late bronze epoch and beginning of iron epoch.

In 1965, during new prospecting works on the territory of necropolis was discovered burial with earthenware vessels, sharply differed from such hardware of late bronze epoch and beginning of iron epoch.

In Azerb. such ceramics typical for pottery of middle-bronze epoch and so proves that burial ground has existed yet from II thousand years ago till B.C.

## УКАЗАТЕЛЬ

статьей, опубликованных в «Докладах Академии наук Азербайджанской ССР» в 1971 г.

### Математика

Азимова Г. Г. О сингулярном операторе Коши-Стилтьеса, № 6, стр. 3.

Бабаев А. А., Мусаев Б. И. О сходимости одного численного процесса для нелинейных сингулярных интегральных уравнений, № 2, стр. 3.

Байрамов Р. А. О классах многоместных функций на конечных множествах, № 7, стр. 6.

Гасымов М. Г. О кратной полноте системы функций, № 7, стр. 3.

Джафарли Г. А. О росте гармонических функций в конусе, № 6, стр. 9.

Исмаилов Ш. М. О числе дуг орграфа данного радиуса с заданными количествами вершин и биокомпонент, № 2, стр. 8.

Кадыров Я. Б., Кулев З. Я., Мячин С. И. Метод оценки влияния конечных вариаций параметров системы автоматического регулирования, № 1, стр. 3.

Касимов Э. И. О свойствах линейных комбинаций некоторых двух близких систем функций, № 2, стр. 13.

Мамедова Б. С. Исследование обобщенного и классического решений одномерной смешанной задачи в конечной области для одного класса нелинейных параболических уравнений высокого порядка, № 9, стр. 8.

Мустафаев Л. Г. Наиболее дробные полуструктурные разбиения полугруд, № 3, стр. 3.

Мустафаев Л. Г., Бабаев Э. А. О  $\alpha$ -классах вполне регулярных полугрупп, № 4, стр. 3.

Мухтаров У. М. Некоторые свойства линейных сингулярных интегральных операторов со специальными ядрами типа Коши, № 1, стр. 8.

Мухтаров А. Ш. О росте целых функций двух комплексных переменных, № 3, стр. 6.

Расулов М. Л. Разложение вектор-функций по решению системы уравнений теории упругости с комплексным параметром, № 3, стр. 15.

Расулов М. Л. Разложение функций по решению уравнения плас-

тины с параметром, № 8, стр. 8.

Фейзиев С. А. Теорема о продолжении функций из весового класса

$B_{\Phi(E+)}^{(s,q)}$ , № 3, стр. 10.

Худавердиев К. И. Исследование смешанной задачи для одного класса гиперболических уравнений второго порядка с нелинейной операторной правой частью, № 9, стр. 3.

Худавердиев К. И. Исследование методом Фурье классического решения многомерной смешанной задачи для одного класса гиперболических уравнений второго порядка с нелинейной операторной правой частью, № 10, стр. 8.

Шафиев Р. А., Керимова Д. Н. О непрерывном аналоге одного класса итерационных методов, № 5, стр. 3.

Эфендиев Р. С. Асимптотика решения краевой задачи для бигармонического уравнения, вырождающегося в параболическое уравнение второго порядка, № 11—12, стр. 3.

### Кибернетика

Бабаев Д. А. Алгоритм решения задачи размещения, № 8, стр. 3.

### Вычислительная математика

Ибрагимов В. Р. Применение численного метода к решению дифференциальных уравнений высших порядков, № 5, стр. 9.

Салаев В. В., Ягуб-заде Р. И. Квадратурная формула для сингулярного интеграла по замкнутой спрямляемой кривой, № 11—12, стр. 10.

### Математический анализ

Абдуллаев А. К. Некоторые оценки сингулярного интеграла и их приложение к исследованию нелинейных сингулярных интегральных уравнений в случае разомкнутого контура, № 8, стр. 11.

Алатырцев Г. А., Берченко М. А., Малевский Ю. Н., Мамедов М. Р. Исследование термоэлектрических свойств сплавов на основе  $Bi_2Te_3-Sb_2Te_3$ , полученных под давлением инертного газа, № 8, стр. 15.

### Энергетика

Бабаев Р. Р. К вопросу исследования мощности, затрачиваемой на вращение колонны бурильных труб при бурении наклонных и искривленных нефтяных скважин, № 3, стр. 19.

Листенгартен Б. А. Оптимальное управление электроприводом с распределенными параметрами, № 2, стр. 18.

### Физика полупроводников и диэлектриков

Хомурова М. Д. О возможности появления переменного тока в цепи с полупроводниковым образцом, обладающим рекомбинационной неустойчивостью, № 9, стр. 14.

### Физика

Абдуллаев Г. Б., Ибрагимов Н. И., Зуев В. М. Блок дисперсии к радиоспектрометру РЭ 1301, № 11—12, стр. 15.

Агаев М. И., Алекперова Ш. М., Заргарова М. И. Физико-химическое исследование системы  $Ag_2Te-Cu_2Te$ , № 6, стр. 15.

Алиев Ф. Ю., Керимов И. Г., Годжаев Ф. Р., Калинина Е. И., Крупников Е. С. Сверхпроводимость пленки полупроводника  $CuS$ , № 9, стр. 18.

Алиев М. И., Джагаров З. А. О рассеянии фононов в легированных кристаллах  $GaSb$ , № 9, стр. 20.

Алиев Б. С., Тагиров В. И. О механизме растворимости и электроактивности меди в сплавах германия с кремнием, № 10, стр. 15.

Блюм И. С., Талиб М. А., Лунев П. А., Крутенюк В. А. Селеновые  $p-n$ -переходы в качестве нелинейных элементов в цепях переменного и постоянного электрического тока, № 2, стр. 21.

Джуварлы Ч. М., Леонов П. В. Измерение вращательной температуры по неразрешенной вращательной структуре II положительной системы  $N_2$  в разряде между диэлектрическими поверхностями, № 6, стр. 19.

Иманов Л. М., Абдурахманов А. А., Елчиев М. Н. К вопросу о вращательных постоянных молекулы изопропиленового спирта в трансформе, № 1, стр. 12.

Керимов И. Г., Мусаев А. М., Алиев Ф. Ю., Рустамов А. Г., Манафлы Э. М. Получение кристаллов в  $\text{Cu}_2\text{Te}$ -типа и исследование механизма рассеяния носителей тока, № 4, стр. 6.

Крутенюк Е. Г., Талиби М. А. Роль кислорода и его аналогов ( $S$ ,  $\text{Te}$ ) в селеновых выпрямителях, № 7, стр. 10.

Нурисев И. Р., Алиев Ф. И., Шафиев Р. В. Электронографическое исследование кинетики  $\alpha \rightarrow \beta$  превращения в  $\text{Ag}_2\text{Se}$ , № 1, стр. 16.

### Физика атмосферы

Исмайлов И. К вопросу классификации осадкообразующих процессов над Азербайджаном, № 10, стр. 61.

### Техническая физика

Воротников Д. Н., Гребеникова Г. И. Тепловое сопротивление мощных полупроводниковых приборов в импульсном режиме, № 3, стр. 23.

Мехтиев С. Д., Мусаев М. Р., Шарифова С. М., Бадирова Г. Т., Мусаева А. Р. Изомеризация циклогексена и метилициклоцентенов над активной окисью алюминия, № 3, стр. 20.

### Механика

Минасян Р. С., Мехтиев М. М. Изгиб парой сил растянутого призматического бруса сравнительно малой жесткости, № 1, стр. 19.

Шахтахтинский Т. К. И. Исследование влияния параметров колебания на прочность бетонов, уплотняемых способом вибрирования, № 8, стр. 20.

Шахтахтинский Т. К. И. Исследование влияния процессов вибропаковки на прочностные и деформативные свойства бетонов, № 9, стр. 24.

### Техника

Дьяконов В. Н., Ализаде Д. Г. Локализация тока при лавинном умножении носителей в  $p-n$ -переходах полупроводниковых приборов, № 5, стр. 13.

### Электротехника

Джуварлы Ч. М., Миронов Г. А. Возникновение четных гармоник в режиме включения нелинейной индуктивности с симметричной характеристикой намагничивания, № 9, стр. 20.

Нагиев А. Т. Электродное заряджение волокон различных длии, № 6, стр. 24.

### Механика твердого тела

Ибрағимов М. Р. О круглых упругих пластинках минимального веса, № 10, стр. 3.

### Органическая химия

Гусейнов Д. А., Рамизанов Ш. А., Абасова Н. А., Мамедов З. И. Изучение инфракрасных спектров ацилалкинафтенипротических углеводородов, № 4, стр. 21.

Кулиев А. М., Билалов С. Б., Алиев З. Э., Агаева С. М. Взаимодействие *n*-метоксифенилового эфира глицидола с меркаптанами, № 5, стр. 24.

Кулиев А. М., Кязимзаде А. К., Гусейнов К. З. Синтез автосодержащих соединений на основе 2,6-диметилтиофенола, № 7, стр. 20.

Мамедов Ф. В., Тагиева Ф. М., Колесников Г. С., Гургенида Г. Т. Синтез и исследование привитого сополимера на основе бутилкаучука и акрилонитрила, № 9, стр. 33.

Мехтиев С. Д., Мехтиев Д. С., Абдуллаев Ф. З. Исследование реакции взаимодействия галоидтолуолов с натрием, № 2, стр. 33.

Мехтиев С. Д., Курбаниева Т. М., Сулейманова Э. Т., Мусаев М. Р. Получение  $\beta$ -оксициропиофенона конденсацией ацетофенона с формальдегидом, № 5, стр. 38.

Мехтиев С. Д., Сулейманов Э. Т., Мусаев М. Р., Касумов Л. И., Миргасanova М. И. О конденсации гидроароматических альдегидов с метилэтокетоном, № 9, стр. 37.

Мовсумзаде М. М., Петрова И. В., Шабанов А. Л., Муратов Н. З. Стереохимия реакций окисей циклогексана и  $\alpha$ - этилциклогексана с хлористым ацетилом, № 1, стр. 23.

Садыхзаде С. И., Марданов М. А., Султанов Р. А., Султанова З. Б. Взаимодействие бициклических спиртов с этихлоридрином в присутствии эфирата фтористого бора, № 7, стр. 15.

Сулейманова Э. Т., Мусаев М. Р., Мехтиев С. Д., Касумов Л. И., Миргасanova М. И. О конденсации гидроароматических альдегидов с окисью мезитила, № 7, стр. 26.

Шабанов А. Л., Мовсумзаде М. М., Сафарова З. А. Действие металлического натрия на окись 1- этилциклогексена, № 4, стр. 10.

Шабанов А. Л., Мовсумзаде М. М., Кязимов А. С. Стереохимия эпоксидирования 1-2-ангидрид- $\Delta^4$ -циклогексен-1,2,3-трикарбоновой кислоты, № 11-12, стр. 38.

### Коллоидная химия

Мискирли А. К., Землянская В. Я., Абдурагимова Н. М. Влияние гидротермальной обработки на дегидратацию водных систем глин, стабилизированных некоторыми ПАВ, № 10, стр. 19.

### Органический синтез

Садыхзаде З. А., Гамбарова С. А. Некоторый синтез на основе 1,2-ди-(тиометилфенил)-пропана, № 10, стр. 23.

### Физическая химия

Агаев М. И., Алекперова Ш. М., Заргарова М. И. Физико-химическое исследование систем  $\text{Ag}_2\text{X}-\text{Cu}_2\text{X}[\text{X}=\text{S}, \text{Se}]$ , № 5, стр. 20.

Гурьянова Е. Н., Кулиев А. М., Гусейнов К. З., Мамедов Ф. И. Дипольные моменты и строение производных 2,5-дизамещенных тиофенолов, № 3, стр. 36.

Исмайлов Р. Г., Алимарданов Р. С., Мустафаев Э. Х. К вопросу о порядке замещения водорода ядра изомерных метилфенетолов в реакции серноциклотного алкилирования пропиленом, № 1, стр. 27.

Кулиев А. М., Кругляков К. Е., Мамедов Ф. И., Сардарова С. А., Байрамова А. Г., Захарова Н. А., Султанова Н. Р., Мамедов Ф. А., Богданов Г. И. Изучение антиокисительной эффективности некоторых производных фенолов и тиофенолов методом хемилуминесценции, № 2, стр. 25.

Раджабли С. Б., Хитесва В. М., Алхазов Т. Г. К вопросу окисления *n*-бутена на закисномедном катализаторе, № 6, стр. 32.  
Саттарзаде И. С., Гасанова А. Л., Исмайлова Ф. М. Изучение оптической активности растворов *l*-борнеола в циклических углеводородах, № 6, стр. 37.

### Нефтехимия

Алиев В. С., Тменов Д. Н., Штейншайдер М. М., Гусейнова А. Д., Мамедов Х. Т., Шкодина Н. Г. Термоконтактный крекинг парафинов дизельного топлива в реакторе с восходящим потоком теплоносителя, № 1, стр. 31.

Исмайлова Г. Н., Сулейманов Г. Н., Абдуллаев Я. Г., Мехтиев С. Д., Магеррамова Р. Ю., Магеррамова З. Ю. Исследование реакции окислительного аммонолиза фракции 130–150°C бензина Сураханская отборной нефти, № 6, стр. 28.

### Химия полимеров

Грановский М. Б., Лукомская А. И., Майзель Р. Л., Рассолов А. М. О влиянии статической нагрузки на характер динамической прочности связи между резиновой и единичной нитью корда, № 2, стр. 29.

### Нефтехимический синтез

Исмайлова Р. Г., Колесников И. М., Гусейнов Н. И., Мамедалиев Г. М., Алиев С. М., Гусейнов Р. И., Салащенко В. А. О кибернетике алкилирования этилбензола пропиленом, № 3, стр. 29.

Мехтиев С. Д., Мусаев М. Р., Гайдарова Э. Э. Синтез арилзамещенных норборнанкарбоновых кислот и их калиевых солей, № 11–12, стр. 24.

### Химия

Ахмедли М. К., Глушенко Э. Л., Кязимов А. К. Смешанные комплексные соединения галлия и алюминия с галлионом и 8-оксихинолином, № 3, стр. 41.

Ахмедов Ф. Ш., Гусейнов М. М., Мугалинский Ф. Ф., Мамедов Д. В. Утилизация отходов производства хлористого аллила (монохлориды), № 3, стр. 46.

Гусейнов М. М., Мишиев Д. Е., Мехралиев А. А., Джрафоров В. Г., Агаев М. Т. Конденсация алкенилароматических углеводородов гексахлорцикlopентадиеном, № 11–12, стр. 34.

Мугалинский Ф. Ф., Мамедов Д. В., Гусейнов М. М., Ахмедов Ф. Ш. Исчерпывающее и деструктивное хлорирование смеси отходов производства хлористого аллила и эпихлоргидрина (смеси фракций монохлорпропана, дихлорпропана и трихлорпропана), № 4, стр. 13.

Салахов М. С., Гусейнов М. М., Рагимов Г. А., Шукуррова М. В. Исследование реакции деструкции монохлоруксусной кислоты, № 4, стр. 17.

Шабанов А. Л., Мовсумзаде М. М., Мурадова Ш. С., Рац И. Изомеризация 4-метил-3, 4-оксидо-пентанона-2, № 6, стр. 42.

### Аналитическая химия

Гусейнов И. К., Багбайлы И. Л., Багбайлы С. И., Рустамов Н. Х. Янус зеленый как реагент для экстракционно-фотометрического определения теллура, № 5, стр. 29.

### Технология неорганических веществ

Исмайлова Р. Г., Рустамов Я. И., Султанов Р. А., Райгородецкий К. П., Цыпкина В. И. Кондиционирование гранулированного суперфосфата путем отдувки фтора воздухом, № 5, стр. 34.

### Неорганическая химия

Абдулрагимова Р. А., Рзаэзде Р. Ф., Абдулрагимов А. А. Изотермы растворимости систем  $(\text{NaAlO}_2 + \text{NaOH}) - \text{NaNO}_3 - \text{Na}_3\text{PO}_4 - \text{H}_2\text{O}$  и  $(\text{NaAlO}_2 + \text{NaOH}) - \text{Na}_2\text{SO}_4 - \text{Na}_3\text{PO}_4 - \text{H}_2\text{O}$  при 25°C, № 9, стр. 41.

### Разработка нефтяных и газовых месторождений

Абасов М. Т., Атаев Я. Т., Нагиев А. М., Оруджалиев Ф. Г. О фильтрации газоконденсатной смеси в трещиновато-пористой среде, № 8, стр. 25.

Абасов М. Т., Джалилов К. Н. К методике гидродинамических расчетов проектирования разработки нефтяных месторождений, № 6, стр. 47.

Абасов М. Т., Бабанлы В. Ю., Касымова С. А., Оруджалиев Ф. Г. Разработка газоконденсатных залежей в условиях иерархического расположения скважин, № 4, стр. 37.

### Химические реакторы

Нагиев М. Ф., Карапов Р. А., Петров В. Г. Исследование устойчивости изотермического реактора идеального смешения при протекании консективных реакций, № 8, стр. 29.

### Минеральные термальные воды и рассолы

Кашкай М. А., Зверев В. П., Ханларов Ф. Д. Карбонатно-кальциевое равновесие в минеральных водах бассейна р. Тутхун Кельбаджарского района, № 6, стр. 52.

### Геохимия

Абдуллаев Р. Н., Абдуллаев И. А., Аскеров Ф. Г., Исмет А. Р. О возрасте субшелочных вулканических пород Казахского прогиба (Малый Кавказ) по данным калий-аргонового метода, № 2, стр. 37.

Дадашев Ф. Г., Кабулова А. Я. Влияние стратиграфического возраста и глубины залегания вмещающих пород на содержание гелия в углеводородных газах Азербайджана, № 10, стр. 46.

Кашкай М. А., Гриценко В. А., Заирин Н. М. Изотопный состав серы сульфидов и вмещающих пород Катехского колчедано-полиметаллического месторождения в Азербайджане (Южный склон Большого Кавказа), № 9, стр. 51.

### Гидрохимия

Агаларов М. С., Каиплан Л. Г. О некоторых особенностях зонального распределения пластовых вод нефтегазоносного месторождения Карабаглы, № 10, стр. 50.

## Коррозия

Оруджева И. М., Мамедов И. А., Вагабова А. А., Платонова Т. А., Агаев Н. М., Мирзоева Р. Р. Получение и исследование ингибитирующих свойств некоторых аминов нафтеновых кислот, № 11—12, стр. 28.

## Геология нефти

Абдуллаев Р. Особенности структурного соотношения мезозойских отложений смежной области Куриńskiej впадины и Малого Кавказа в пределах западного Азербайджана, № 7, стр. 59.

Гаджи-Касумов А. С., Джавадов А. А., Адамов Р. В. К вопросу о формировании залежей нефти продуктивной толщи месторождений Апшеронской области, № 2, стр. 47.

Гулиев Г. А. К вопросу происхождения нефти и формирование ее залежи, № 11—12, стр. 53.

Дадашев Р. М., Мехтиев У. Ш. Пластовые воды нефтяных и газоконденсатных залежей продуктивной толщи месторождения Сангачалы-море—Дуванный-море — о. Булла, № 7, стр. 52.

Кочарли Ш. С., Салаев А. Л., Джабарлы Ф. Г., Эфендиев А. А. К изменению литофации и мощности верхнего отдела продуктивной толщи Нижнекуриńskiej впадины, № 2, стр. 42.

Мехтиев Ш. Ф., Симхаев В. З. Об аномальных давлениях Нижнекуринской впадины (на примере месторождения Кюровдаг), № 9, стр. 47.

Мехтиев Ш. Ф., Симхаев З. И., Симхаев В. З. Роль гидродинамической связи объектов в ПК и КС в разработке низов Кирмакинской свиты, № 10, стр. 29.

Мехтиев Ш. Ф., Рачинский М. З., Фридман Д. Н. Пластовые воды VII горизонтов и НКП свиты юго-западного Апшерона и их связь с количественным распределением углеводородов в залежах, № 11—12, стр. 47.

Овнатанов С. Т., Тамразян Г. П. О новом Романинском поднятии и его нефтегазоносности, № 6, стр. 62.

Салаев С. Г., Мамедов А. М. О роли грязевого вулканизма в формировании и разрушении нефтегазовых залежей, № 10, стр. 56.

Симхаев В. З., Гейдаров Г. М. Гидродинамические особенности коллекторов месторождений Дагестана и методы интерпретации результатов исследований скважин, № 3, стр. 54.

Якубов А. А., Матанов Ф. А., Гаджиев Я. А. Гидрохимическая характеристика грязевых вулканов Алятской гряды, № 7, стр. 31.

## Геология нефти и газа

Гусейнов Р. А., Искендеров Н. А. О некоторых факторах, влияющих на состав газа прикуринской нефтегазоносной области, № 10, стр. 34.

## Бурение

Кадымов Я. Б., Кулиев З. Я., Мамедов А. И. Численный метод расчета переходных процессов в нелинейной системе бурового электропривода, включающего звено с распределенными параметрами, № 11—12, стр. 19.

## Геофизика

Алиев А. М. Продольная волна, падающая под различными углами к нормам, № 4, стр. 30.

Алиев А. М. Исследование свойств продольных волн у подошвы земной коры, № 10, стр. 43.

Ахмедов А. К. О характере поглощения сейсмических волн в продуктивной толще Апшеронского полуострова, № 1, стр. 41.

Исмайлзаде Т. А., Мирзаханов Р. Г. Датировка исторических памятников археомагнитным методом, № 3, стр. 50.

Кшкай М. А., Исмайлзаде Т. А., Гасанова К. Д., Грабовская Г. П. Результаты палеомагнитных исследований горных пород Дашкесана, № 8, стр. 32.

## Геология

Ализаде К. А., Мовлададзе Э. З. Новые данные о нижнесарматских отложениях междуречья Куры и Иори Западного Азербайджана (район г. Мамедтапа), № 7, стр. 42.

Гаврилюк П. С., Керимов А. Д., Магриби А. А. Особенности химизма барита Башкишлагского месторождения (Малый Кавказ), № 5, стр. 41.

Гусейнов Р. А. О газоносности антиклинальной зоны Кюровдаг-Нефтечала, № 4, стр. 33.

Мехтиев Ш. Ф., Ахундов А. Р., Ворошилов Е. А., Ахундов В. Р. Эмпирическое определение поверхностного напряжения смесей на границе с нефтями различной активности, № 2, стр. 52.

## Нефтяная геология

Махмудов Р. А. Условия залегания нефти и газа в горизонте VII (св. «перерыва») продуктивной толщи антиклинальной линии Кянизала — о. Булла (Бакинский архипелаг), № 5, стр. 48.

## Гидрогеология

Сулейманов Д. М., Листенгарден В. А. О гидрогеологических условиях присамурской зоны Самур-Кусарчайского междуречья, № 3, стр. 58.

## Инженерная геология

Багиров Т. У. Сравнительная характеристика инженерно-геологических свойств субаквальных глинистых пород территории г. Баку, в зависимости от их возраста и условий залегания, № 3, стр. 64.

Багиров Т. У. О влиянии минерализации поровых растворов на состав и свойства субаквальных глин территории гор. Баку, № 7, стр. 48.

## Литология

Курбанзаде А. М., Абдуллаев М. Р., Джабарлы Ф. Г., Мехтиева Т. И., Байрамова Г. А. Роль осадконакопления пород в образовании пластовых вод, № 4, стр. 26.

Султанов А. Д., Мазанов Д. Д., Сараджалинская Т. М. Некоторые особенности распространения ртути в донных осадках южной части Каспийского моря, № 11—12, стр. 42.

## Микология

Гусейнов З. С. К микофлоре кизила в лесах Азербайджана, № 4, стр. 41.

## Гидрография

Халилов Ш. Б. О ветро-волновом режиме Мингечаурского водохранилища, № 11—12, стр. 59.

## Тектоника

Гаджиев Б. А. Сопоставление поверхностных и глубинных структур Казахского прогиба (Малый Кавказ), № 8, стр. 39.

Мошавили А. Б. Характер тектонических сил, образующих складчатость антиклинальной зоны Кюорвдаг-Нефтечала, № 9, стр. 70.

Салихов Р. Г., Рзаев А. А. Некоторые результаты исследования тектонической активности СВ Малого Кавказа в верхнемеловой период методом вариационного анализа мощностей, № 6, стр. 57.

## Геотектоника

Гаджиев А. Н., Самедов С. С. Кубинская тафросинклиналь и ее роль в формировании передового прогиба в ЮВ окончании Б. Кавказа (Прикаспийско-Кубинская область Азербайджанской ССР), № 7, стр. 65.

## Петрография

Кулиева Х. М., Алиев Ад. К вопросу расчленения верхнеплиоценовых отложений ленгебизской гряды, № 1, стр. 35.

## Петрография осадочных пород

Гадиева Т. М., Боровская Ю. Б. Стилолитовые швы в карбонатных породах меловых отложений юго-восточного Кавказа, № 8, стр. 44.

## Метеорология

Мамедов А. А. О значении скорости распространения и учета критических температур вторгающихся холодных воздушных масс, обуславливающих весенние заморозки на территории Азербайджана, № 8, стр. 48.

## Стратиграфия

Гасанов Т. А. Зональное расчленение нижнеюрских отложений Азербайджана (Малый Кавказ), № 1, стр. 38.

Гасанов Т. А., Бабаев Р. Г. Об открытии верхнетитонских отложений в Кедабекском районе Азербайджанской ССР (Малый Кавказ), № 10, стр. 38.

Зейналов М. М., Гамбашидзе Р. А., Гурбанов А. М. О литофациальных особенностях и стратиграфии кампан-датских отложений восточной части Вандамской складчатой зоны (р-н с. Диаллы), № 5, стр. 53.

Мамедова Л. Д. К стратиграфии миоценовых отложений северо-восточного Азербайджана в свете изучения микрофауны, № 7, стр. 37.

## Минерология

Алиев Р. М., Мирзоев Ф. Р. О наличии и кристаллографических особенностях флюорита в Гушчинском месторождении, № 1, стр. 47.

Алиев А. А. О колумбитах из пегматитовых жил одного из редкometальных проявлений Юго-Восточной пустыни Египта, № 9, стр. 63.

Кашкай М. А., Базаде Б. И., Мамедов М. С. О теллуровис-

муте и вазесите-новых минералах для Кельбаджарского района Азербайджанской ССР, № 2, стр. 61.

Мусейинов К. И., Бабаев И. А., Мустафазаде Б. В. О карбонатных особенностях руд Филизчайского полиметаллического месторождения, № 3, стр. 70.

## Физическая география

Мадатзаде А. А., Джаббаров М. А. Условия формирования ливней, приводящих к катастрофическим селям в бассейне реки Талачай (Азерб. ССР) 18—19. VIII 1964 г., № 1, стр. 50.

## Гидрология

Абузаров Р. М., Ганиев Р. М. Исследование методов водохозяйственных расчетов с применением ЭВМ и с учетом коррелятивных связей стока смежных месяцев, а также с учетом боковой приточности и их сравнение, № 1, стр. 55.

Иманов Н. А. Исследование распределения мутности в бассейнах рек Шеки-Закатальского участка, № 6, стр. 67.

## Палеонтология

Клейн Л. Н. Новые виды остракод из отложений Апшеронского яруса Азербайджана, № 2, стр. 56.

Мамедова Л. Д. Новые представители сарматской фауны *Entosolenia* северо-восточного Азербайджана, № 9, стр. 59.

## Агроклиматология

Мамедов Б. Г. Режим температуры листьев табака, № 2, стр. 67.

## Ихиология

Абдурахманов Ю. А. О плодовитости рыб Варваринского водохранилища, № 10, стр. 69.

Ширалиев Ш. А. Рыбоводство и освоение Малого Кызылагачского залива, № 1, стр. 62.

## Микробиология

Мехтиева Н. А. Предварительные сведения о составе хищных грибов Азербайджана, № 2, стр. 72.

Мехтиева Н. А., Раджабова А. А. К подбору синтетической среды для выращивания хищных грибов, № 3, стр. 88.

Мехтиева Н. А. Новый вид рода *Golovinia*, № 10, стр. 78.

Раджабова А. А. Нематоцидная активность трихотецина и модификация метода испытания этой активности с использованием его в качестве стандарта, № 5, стр. 58.

Тагиев В. Д., Мартirosova T. A. О каталазной активности клубеньковых бактерий люцерны и гороха, № 11—12, стр. 81.

## Фитохимия

Халилов В. С. Витамин Е у дикорастущих кормовых растений, № 2, стр. 75.

## Экономика

Мусаев Г. М. Экономическая эффективность легких заполнителей бетона на базе отходов нефтеперерабатывающей промышленности, № 9, стр. 75.

## Гельминтология

Асадов С. М. Эколо-гельминтологическое районирование территории Азербайджана по материалам гельминтофауны жвачных животных, № 10, стр. 73.

Касимова Г. А. Алиев Р. А. Нематоды земляного ореха-арахиса (*Arachis hypogaea*) Шеки-Закатальской зоны Азербайджана, № 5, стр. 61.

## Ботаника

Бабаев Н. Б. Биологические основы увеличения урожайности кары в промышленных плантациях, № 4, стр. 45.

Джафаров Н. М. Альгофлора озера Аджикабул, № 3, стр. 75.

Мусаев С. Г., Исаев Я. М. *Arena bruhnsiana* Гипп. (овес брунса) — эндемичный вид флоры Азербайджана, № 5, стр. 64.

Мусаев С. Г. Новый вид овса для флоры СССР, № 6, стр. 71.

Рагимов М. А. *Latura tatula* L.— новый вид флоры Азербайджана, № 3, стр. 80.

## Палеоботаника

Фаталиев Р. А. *Rhus cataria* в сарматских флорах СССР, № 7, стр. 77.

## Почвоведение

Алиев С. А., Касимов Р. М. Свободные радикалы новообразованных гумусовых соединений почв, № 9, стр. 83.

Алиев Г. А., Гашими А. А. Биологическая масса виноградной культуры и возврат зольных элементов в почву, № 3, стр. 84.

Гасанов В. Г. Сезонная динамика глеевого процесса луговых почв Алазанской долины, № 8, стр. 65.

Гусейнов Д. М., Гасанов А. М. Влияние НРВ на фоне минеральных удобрений на урожай хлопчатника, № 2, стр. 78.

Мамедов Р. Г., Мамедов Г. М. Теплофизические свойства горного чернозема юго-восточной части Большого Кавказа, № 6, стр. 73.

Пашаев А. М. Динамика влажности в почвах конуса выноса реки Каркарчай, № 8, стр. 52.

Сафаров М. Г. Действие органических, минеральных и органоминеральных удобрений на рост и урожайность хлопчатника, № 6, стр. 78.

## Мелиоративное почвоведение

Курбанов С. А. Изменения высоты уровня грунтовых вод Южной Мугани Азербайджанской ССР, № 9, стр. 87.

## Виноградарство

Абдуллаев И. К., Тагиев С. Б. Влияние гиббереллина на урожайность и содержание сахара в ягодах у сорта винограда Тавквери в производственных условиях, № 2, стр. 82.

## Физиология растений

Ализаде М. А., Ахундов Э. М. О резком снижении содержания ДНК в клетках листьев шелковицы в связи с возрастом, № 2, стр. 86.

Ализаде М. А., Султанов Я. Г. Особенности изменений форм воды в листьях сортов зерновых, выращенных в условиях богары, № 9, стр. 97.

Ализаде М. А., Ахундова Э. М. Изменения в содержании

щуклевиновых кислот в листьях сортов Ханлар-тут и Киприу в связи с процессами роста, № 10, стр. 85.

Ахмедов Ю. К., Марданов А. А., Абуталыбов М. Г. Влияние цитокининов на растительный организм, № 8, стр. 56.

Касумов Н. А. О нарушении стационарного состояния внутриклеточного метаболизма растений при неблагоприятных засоленных условиях, № 4, стр. 48.

Мамедов А. Н. Влияние минерального питания на содержание азотистых соединений у хлопчатника при различных условиях водообеспеченности, № 9, стр. 79.

## Физиология

Мусаева А. К., Кожевникова С. А. Интерцептивные влияния с желудка на секрецию гастромукопротеина, № 7, стр. 82.

## Физиология животных

Мугалинская Д. И. Влияние витаминов группы В на привесы, состав крови и на сохранность откармливаемых свиней, № 8, стр. 60.

## Зооветеринария

Тагизаде Т. А., Марданлы А. С., Алекперов Ф. П. Исследования на лептоспироз греческих и болотных черепах в Азербайджанской ССР, № 8, стр. 69.

## Биохимия растений

Абуталыбов М. Г., Мамедова Т. Х., Расулов Ф. А. Фосфорный обмен в зонах роста корня тыквы при кальциевом голодаании, № 7, стр. 72.

## Биохимия

Раджабова А. А., Беккер З. Э., Мехтиева Н. А. Сравнительное изучение методом тонкослойной хроматографии иенасыщенных соединений из мицеля некоторых гифомицетов, № 9, стр. 91.

## Лесоводство

Ахундов Н. Г., Мехралиев И. И. О возможностях расширения площадей каштановых насаждений в Азербайджанской ССР, № 4, стр. 52.

## Генетика

Абилов А. И. Взаимодействие двух доз  $\gamma$ -лучей при облучении замоченных семян *Cerpis capillaris*, № 4, стр. 55.

Алекперов У. К., Смирнов Л. Д. Цитогенетическая активность 3-оксипиридинов, № 10, стр. 65.

Курбапов Р. И. Влияние различных способов опыления на образование семян камеденоносных астрагалов, № 11—12, стр. 70.

Мустафаев С. А., Калантаров М. И. Влияние комбинированной обработки семян хлопчатника на его скороспелость, № 10, стр. 80.

## Селекция

Абдуллаев И. К. К вопросу кариосистематики рода *Morus* L., № 11—12, стр. 71.

Агабейли А. А., Гусейнов И. Г. Опыты по скрещиванию и улучшению ширванских овец с баранами породы прекос, № 7, стр. 86.

## МУНДЭРИЧАТ

### Ријазијјат

Р. С. Эфандиев. Чырлашмыш тәнили дөрд тәртіблі параболик типпі тәнлік олар биңармойык тәнлік үчүн сәрінд мәсөләсінин асимптотикасы . . . . .	3
А. Ф. Кечэрлі. Областида верилмеш дифференциалланған функциялар чох-лугуны компактлығы нағында . . . . .	10
В. В. Салаев, Р. И. Ягубзадә. Дұзләндірілә білән гапалы әрі үзәрә сингулар интеграл үчүн квадратур дұстур . . . . .	14
<b>Физика</b>	
Н. Б. Абдуллаев, И. И. Ибраимов, В. М. Зуев. РЕ-1301 радиоспектрометри үчүн дисперсия блоку . . . . .	19
ССРИ ЕА мұхабир үзүү Н. Б. Абдуллаев, С. Т. Садыхов, М. А. Мехтиев. Селенин мезосомлар тәсіри . . . . .	23
Ж. Гедимов, З. Ж. Гулиев, А. И. Маммадов. Пајланымыш параметри газма електрик интегралының гејри-хәтилилүү нәзәрә алмаг шәрті илекчид просессинесінесінде имкан верін әдәді метод . . . . .	27
С. Ч. Медиев, М. Р. Мусаев, Е. Е. Нейдеррова. Ариләвәзли порборианкарбон туршулары вә онларын калиум дузларының синтези . . . . .	32
<b>Коррозия</b>	
И. М. Оручова, И. А. Маммадов, Н. Э. Ваҳабова, Т. А. Платонова, Н. М. Агаев, Р. Р. Мирзоева. Нафтен туршуларының бәзин амидләринин алымасы вә ингибитор хассаларинин тәдгиги . . . . .	37
<b>Кимі</b>	
М. М. Нусејиев, Д. Ж. Мишиев, А. А. Мехрәлиев, В. Г. Чәфәров, М. Т. Агаев. Алкенилароматик карбоидрокеңеләрни гексахлортисклопентадиенлә конденсләшмасы . . . . .	43
А. Л. Шабанов, М. М. Мөсумзадә, А. С. Қазимов. 1-2 анидридин 1-тәниклохексен-сис, сис-1, 2, 3- трикарбон туршусунуң епоксидләшмә стереокимјасы . . . . .	47
<b>Литология</b>	
Ә. Ч. Султанов, Ч. Ч. Мазанов, Т. М. Сараджалиева. Җәнуби Ҳәзәрин мұасир чөкүнгүләріндә қивәнин жајылмасына даир . . . . .	51
<b>Нефт қеолохијасы</b>	
Ш. Ф. Медиев, М. З. Рачински, Д. Н. Фридман. Җәнуб-гәрби Абшеронда Гүр лај дәстәсінин вә VII норизонттың лај сularы, онларын жатагда карбоидрокеңеләрниң мигдарча најлаимасы илә алагасы . . . . .	56
Г. Э. Гулиев. Нефтиң әмәлә қәлмасы вә онун жатағының формалашмасы мәсөләсінә даир (Сијәзән моноклиналы тимсағында) . . . . .	62
<b>Нидрохеолохија</b>	
Ш. Б. Хәлилов. Минкәчевир су аибарының күләк-далға режими нағында . . . . .	68
<b>Биткишұнаслығ</b>	
Ә. М. Пишиамазов. Суварма шәріттіндә шәкәр чуғундуру үчүн торпағын бечәрілмә системи . . . . .	72
<b>Кенетика</b>	
Р. И. Гурбапов. Қитрәлі кәвән (трагант) колларының тохум әмәлә көтирмәсінә мұхтәлиф тозлама үсулуның тәсіри . . . . .	76
<b>Селексија</b>	
И. К. Абдуллаев. <i>Morus</i> айләсінин карисистематикасына даир . . . . .	80
А. М. Гулиев, Ж. П. Сәркисян. Силос—дәнили гарғыдалы сортлары формалары вә һибридләрі . . . . .	85
<b>Микробиологија</b>	
В. Ч. Тағыев, Т. М. Мартirosова. Гарајонча вә јем нохуду јумручуг бактеријаларының каталаз фәллілігі . . . . .	88
<b>Шәргшұнаслығ</b>	
Әбулғаз Рәһимов. Шаһ Тәһмасибин Түркіjә һәдијә көндәрдији китаблар . . . . .	91
<b>Археологија</b>	
Г. С. Исмаилов. Гарабулаг гәдим гәбір абидеси нағында жени мәлumatтар . . . . .	95
Көстәрчи . . . . .	100

## СОДЕРЖАНИЕ

### Математика

Р. С. Эфандиев. Асимптотика решения краевой задачи для бигармонического уравнения, вырождающегося в параболическое уравнение второго порядка . . . . .	3
А. Ф. Коcharli. О компактности множеств дифференцируемых функций, заданных в области . . . . .	10

### Вычислительная математика

В. В. Салаев, Р. И. Ягубзаде. Квадратурная формула для сингулярного интервала по замкнутой спрямляемой кривой . . . . .	14
---	----

### Физика

Академик Г. Б. Абдуллаев, Н. И. Ибрагимов, В. М. Зуев. Блок дисперсии к радиоспектрометру РЭ 1301.	19
Член-корр. АН СССР Г. Б. Абдуллаев, С. Т. Садыхов, М. А. Мехтиев. О действии селена на лизосомы . . . . .	23

### Бурение

Член-корр. Я. Б. Қадымов, З. Я. Кулиев, А. И. Мамедов. Численный метод расчета переходных процессов в пелинейной системе бурового электропривода, включающего звено с распределенными параметрами . . . . .	27
---	----

### Нефтехимический синтез

Академик С. Д. Мехтиев, М. Р. Мусаев, Э. Э. Гайдарова. Синтез арилзамещенных порборианкарбоновых кислот и их калиевые соли . . . . .	32
--	----

### Коррозия

Член-корр. И. М. Оруджева, И. А. Мамедов, А. А. Вагабова, Т. А. Платонова, Н. М. Агаев, Р. Р. Мирзоева. Получение и исследование ингибирующих свойств некоторых аминов нефтеновых кислот . . . . .	37
--	----

### Химия

М. М. Гусейнов, Д. Е. Мишиев, А. А. Мехрәлиев, В. Г. Джрафаров, М. Т. Агаев. Конденсация алкенилароматических углеводородов гексахлорцикlopентадиеном . . . . .	43
---	----

### Органическая химия

А. Л. Шабанов, член-корр. М. М. Мөсумзадә, А. С. Қазимов. Стереохимия эпоксидирования 1-2 анидрид-1 циклогексен-цис, цис-1, 2, 3-трикарбоновой кислоты . . . . .	47
--	----

### Литология

Академик А. Д. Султанов, Д. Д. Мазанов, Т. М. Сараджалиева. Некоторые особенности распространения ртути в донных осадках южной части Каспийского моря . . . . .	51
---	----

### Геология нефти

Академик Ш. Ф. Мехтиев, М. З. Рачинский, Д. Н. Фридман. Пластовые воды VII горизонтов и НКП свиты юго-западного Апшерона и их связь с количественным распределением углеводородов в залежах . . . . .	56
Г. А. Гулиев. К вопросу происхождения нефти и формирование ее залежей (на примере Сназанской моноклинали). . . . .	62

### Гидрология

Ш. Б. Халилов. О ветро-волновом режиме Мингечаурского водохранилища . . . . .	68
---	----

### Растениеводство

А. М. Пишиамазов. Система обработки почвы под посев сахарной свеклы при орошении . . . . .	72
--	----

## Генетика

Р. И. Курбаниев. Влияние различных способов опыления на образование семян камеденоносных астрагалов . . . . . 76

## Селекция

Академик И. К. Абдуллаев. К вопросу кариосистематики рода *Morus L.* . . . . .  
Академик А. М. Кулиев, Я. П. Саркисян. Силосно-зерновые сорта, формы и гибриды кукурузы . . . . . 85

## Микробиология

В. Д. Тагиев, Т. А. Мартirosова. О катализной активности клубеньковых бактерий люцерны и гороха . . . . . 88

## Востоковедение

А. Г. Рагимов. О книгах, дарованных Турции шахом Тахмасибом . . . . . 91

## Археология

Г. С. Исмаилов. Новые данные о Гарабулагском древнем могильнике . . . . . 95

Указатель . . . . . 100

## ПРАВИЛА ДЛЯ АВТОРОВ

1. В «Докладах Академии наук Азербайджанской ССР» помещаются краткие сообщения, содержащие законченные, еще не опубликованные результаты научных исследований, имеющих теоретическое или практическое значение.

В «Докладах» не публикуются крупные статьи, механически разделенные на ряд отдельных сообщений, статьи полемического характера без новых фактических данных, статьи с описанием промежуточных опытов без определенных выводов и обобщений, работы непринципиальные, описательного или обзорного характера, чисто методические статьи, если предлагаемый метод не является принципиально новым, а также статьи по систематике растений и животных (за исключением описания особо интересных для науки находок).

Статьи, помещаемые в «Докладах», не лишают автора права последующей публикации того же сообщения в развернутом виде в других изданиях.

2. Поступающие в «Доклады» статьи рассматриваются Редакционной коллегией только после представления их академиком по специальности. Каждый академик может представить не более 5-ти статей в год.

Статьи членов-корреспондентов Академии наук Азербайджанской ССР принимаются без представления.

Редакция просит академиков при представлении статьи указывать дату получения ее от автора, а также наименование раздела, в котором статья должна быть помещена.

3. В «Докладах» публикуется не более трех статей одного автора в год.

4. В «Докладах» помещаются статьи, занимающие не более четверти авторского листа — около 6—7 страниц машинописи (10 000 печатных знаков), включая рисунки.

5. Все статьи должны иметь резюме на английском языке; кроме того, к статьям, написанным на азербайджанском языке, должны иметь: резюме на русском языке и наоборот.

6. В конце статьи должны быть указаны название научного учреждения, в котором выполнена работа, и номер телефона автора.

7. Опубликование результатов работ, проведенных в научных учреждениях должно быть разрешено дирекцией научного учреждения.

8. Статьи (включая и резюме), должны быть напечатаны на машинке через два интервала, на одной стороне листа и представляются в двух экземплярах. Формулы должны быть вписаны четко и ясно, при этом прописные буквы должны быть подчеркнуты (черным карандашом) двумя черточками снизу, а строчные — сверху, буквы греческого алфавита надо обводить красным карандашом.

9. Цитируемая в статье литература должна приводиться не в виде подстрочных сносок, а общим списком (вподбор), в алфавитном порядке (по фамилии автора), в конце статьи с обозначением ссылки в тексте порядковой цифрой. Список литературы должен быть оформлен следующим образом:

а) для книг: фамилия и инициалы автора, полное название книги, номер тома, город, издательство и год издания;

б) для статей в сборниках (трудах): фамилия и инициалы автора, название статьи, название сборника (трудов), том, выпуск, место издания, издательство, год, страница;

в) для журнальных статей: фамилия и инициалы автора, название статьи, название журнала, год, том, номер, (выпуск), страница.

Ссылки на неопубликованные работы не допускаются (за исключением отчетов и диссертаций, хранящихся в научных учреждениях).

10. На обороте рисунков должны быть указаны фамилия автора, название статьи и номер рисунка. Отпечатанные на машинке подпись к рисункам представляются на отдельном листе.

11. Авторы статей должны указывать индекс статьи по Унифицированной десятичной классификации (УДК) и прилагать реферат для «Реферативного журнала».

12. Авторы должны избегать повторения одинаковых данных в таблицах, графиках и в тексте статьи.

Ввиду небольшого объема статей выводы помещаются лишь в необходимых случаях.

13. В случае представления двух или более статей одновременно необходимо указывать желательный порядок их помещения.

14. Корректура статей авторам как правило не посыпается. В случае посыпки корректуры допускается лишь исправление ошибок типографии.

15. Редакция выдает автору бесплатно 15 отдельных оттисков статьи.

Сдано в набор 17/XII 1971 г. Подписано к печати 29/IV 1972 г. Формат бумаги 70×108<sup>1/16</sup>. Бум. лист. 3,63. Печ. лист. 9,93. Уч.-изд. лист. 8,32. ФГ 01332. Заказ 824. Тираж 770. Цена 80 коп.

Типография им. Рухуллы Ахундова Государственного комитета Совета Министров Азербайджанской ССР по печати. Баку, Рабочий проспект, 96.